

27 449/4 106



**TUGAS AKHIR
LL 1327**

**ANALISA KEKUATAN ULTIMATE
STRUKTUR JACKET DENGAN PENDEKATAN LRFD
DAN BERBASIS KEANDALAN**



156e
627.98
Wij
a-1
2006

OLEH :

**ARIEF SANTOSO WIJAYA
4301 100 006**

| PERPUSTAKAAN ITS | |
|---------------------|------------|
| Tgl. Terima | 2 - 8 - 06 |
| Terima Dari | A |
| No. Agenda Prp. | 225667 |

**JURUSAN TEKNIK KELAUTAN
FAKULTAS TEKNOLOGI KELAUTAN
INSTITUT TEKNOLOGI SEPULUH NOPEMBER
SURABAYA
2006**



LEMBAR PENGESAHAN

LEMBAR PENGESAHAN

ANALISA KEKUATAN ULTIMATE STRUKTUR JACKET DENGAN PENDEKATAN LRFD DAN BERBASIS KEANDALAN

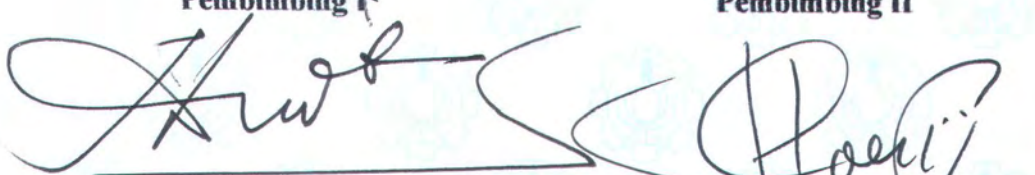


ARIEF SANTOSO WIJAYA
4301 100 006

Surabaya, .27... Juli...2006

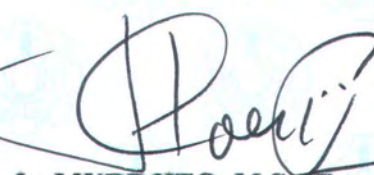
Mengetahui/Menyetujui

Pembimbing I



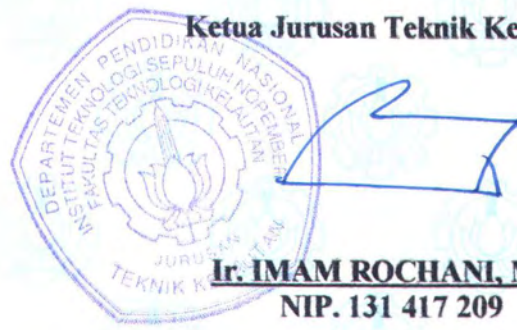
Dr. Ir. EKO BUDI DJATMIKO M.Sc
NIP. 131 407 592

Pembimbing II



Ir. MURDJITO, M.Sc. Eng.
NIP. 132 149 376

Ketua Jurusan Teknik Kelautan





ABSTRAK

Abstrak

Oleh : Arief Santoso Wijaya
Dosen Pembimbing : Dr. Ir. Eko Budi Djatmiko, MSc, Ir. Murdjito, M.Sc. Eng

Analisa struktur merupakan salah satu bagian penting yang harus dilakukan dalam proses perancangan bangunan lepas pantai. Penambahan peralatan-peralatan pada struktur jacket akan dapat mempengaruhi kekuatan dari struktur itu sendiri. Untuk menghindari keruntuhan struktur yang diakibatkan penambahan peralatan, maka struktur harus dianalisa *ultimate strength (push over)* terlebih dahulu. Pada awal analisa design level, struktur APN-D tidak mengalami suatu kegagalan pada seluruh member. Selanjutnya dilakukan analisa push over dengan penambahan beban lingkungan (gelombang, arus) dan beban vertikal (*selfweight, deck load*, dan lain-lain) sebagai beban konstan. Pembebanan yang dilakukan menurut API RP 2A LRFD 1st edition dimana pembebanan ini lebih besar dari API RP 2A WSD 21st edition. Dari analisa *ultimate strength (push over)* yang telah dilakukan maka didapat nilai RSR (*Reserve Strength Ratio*) dari struktur APN-D. RSR minimum 2.4 diperoleh untuk beban gelombang arah 330°, dan SR sebesar 1.2, sedang untuk harga ini masih di atas aman sesuai dengan ketetapan API RP 2A WSD 21st edition, yakni sebesar 1.6. Selanjutnya untuk mengetahui keadaan sistem struktur APN-D ini perlu dianalisa keandalan. Tegangan ultimate member (56 ksi – 80 ksi) disimulasikan dengan tegangan ultimate member pada saat kondisi ultimate dengan metode AFOSM. Sehingga didapat *level reliability* berupa Keandalan sistem sebesar 0.9999. Dari nilai RSR, SR dan level reliability struktur APN-D dalam batas aman sehingga tidak perlu mitigasi.

Kata-kata kunci : *increment, assessment, design level, Push Over, RSR, tegangan.*

Abstract

By : Arief Santoso Wijaya
Supervisors : Dr. Ir. Eko Budi Djatmiko, M.Sc, Ir. Murdjito, M.Sc. Eng

Structural analysis is one of the most important factor that should be performed in the design process of an offshore structure. Modification in the form of additional facilities is often carried out on existing platform that affect the structural strength. To avoid the collapse of structure caused by facilities addition to the structure must be performed ultimate strength analysis. In the design level analysis of APN-D platform failed member was not found. After design level was performed, the next analysis should be performed is push over analysis by setting up environmental load as an incremental load and payload was set as a constant load. Loading by API RP 2A LRFD larger than API RP 2A WSD. Ultimate strength analysis needs to be carried out to determine the structural reserve strength ratio of APN-D platform. Results of this analysis show the minimum RSR (Reserve Strength Ratio) value of the APN-D structure is 2.4 caused by wave load directions of 330°. This value eventually is higher than the minimum requirement of API RP 2A WSD, which is 1.6. The Ultimate Strength Reliability Analysis needs to be performed to assure the system reliability of APN-D structure, by using Advanced First Second Order Moment (AFOSM) method. The Ultimate Stress from material (56 – 80 ksi) simulated with ultimate stress material in Ultimate Limit State condition. The structural system reliability of APN-D is 0.9999. The value of Reserve Strength Ratio, System Redundancy and system reliability of APN-D structure are found to be in the safe range, so it doesn't require any mitigation.

Key words : *increment, assessment, design level, push over, RSR, stress*



KATA PENGANTAR

KATA PENGANTAR

Assalamu'alaikum Wr. Wb.

Puji syukur kehadirat Allah SWT yang telah memberikan rahmat dan karunia-Nya kepada penulis, serta kepada seluruh pihak yang telah membantu sehingga penulis dapat menyelesaikan Tugas Akhir ini dengan segenap kemampuan yang penulis miliki. Tugas Akhir ini berjudul "**Analisa Kekuatan Ultimate Struktur Jacket Dengan Pendekatan LRFD dan Berbasis Keandalan**".

Tugas Akhir ini disusun guna memenuhi persyaratan dalam menyelesaikan Studi Kesarjanaan (S1) di Jurusan teknik Kelautan, Fakultas Teknologi Kelautan (FTK), Institut Teknologi Sepuluh Nopember (ITS).

Dalam penggerjaan penelitian ini penulis tidak terlepas dari bantuan serta dorongan moral maupun material dari banyak pihak baik yang secara langsung maupun tidak langsung. Sehingga pada kesempatan kali ini penulis ingin mengucapkan rasa terima kasih kepada :

1. Allah S.W.T yang telah memberikan rahmat dan hidayah-Nya, sehingga hamba dapat menyelesaikan penelitian ini dan memberikan semua anugerah dan kenikmatan yang tiada terkira. Hanya amal, ibadah dan kebajikan yang dapat hamba haturkan untuk bersyukur kepadaMu.
2. Ibunda Halimah dan Ayahanda Mas 'Udi atas segala do'a, kasih sayang, perhatian dan dorongan dari segala segi yang telah diberikan sehingga dapat menyelesaikan penelitian ini.
3. Ir. Murdjito, M.Sc.Eng sebagai Kepala Laboratorium Operasional dan Riset sekaligus Dosen Pembimbing TA. Terima kasih banyak sudah menjadi bapak bagi saya selama di Lab, saya banyak mendapat ilmu dari Bapak.
4. Dr Ir. Eko Budi Djatmiko,MSc sebagai Dosen Pembimbing TA. Terima kasih atas bimbingannya dan ilmu yang diberikan.
5. Ir. Imam Rochani, M.Sc sebagai Ketua Jurusan Teknik Kelautan.
6. Ir. Handayananu, M.Sc, Ph.D sebagai sekretaris Jurusan Teknik Kelautan.

7. Keluargaku, Mas Eko, Mbak Iin, Mbak Yeni, Mas Darwin, Mbak Yanti, Mas Iis, Cacak, Mbak Tun, Om Udin, Mbak Seh. Terima kasih atas dukungan dan bantuannya.
8. Adek-adekku tercinta, Vina, Fia, Raflie, Aditya, Ulfa, Lutfi, Wawan, Vita, Rendra.
9. Shinta kekasihku tersayang, terima kasih atas kasih sayangnya selama ini. Maaf kalo selama ini Arief selalu bikin kamu kecewa, karya ini kuberikan untuk doa, pengertian, canda tawa dan kesabaranmu.
10. Sahabat-sahabatku "PBI" Andri Kucur, Chalendra (*ndrong*), Arief Cocin, Andri Jon, Adi Gepeng, Adek Slamet, Agus Lemot, Eko Agus (*sang ketua*), Agung, Sigit (*sri*), Ari Nyambe', Nanang, Arka Sinoid, Zendy, Febri n Muri (*new comer*).
11. Sahabatku Sigit, terima kasih telah membagikan pengetahuan tentang 3dsMax.
12. Angkatan 2001 "Albatros" Dede', Eko, Iwan, Yoga, Puput, Soni, Dina, Abe, Silvi, Lenny, Helen, Delly, Ita, Friska, Nining, Hanif, Emon, Oje, Ruby, Mendo, Ambon, Ivan Sarif, Shinta, Nurma, Shanti, Dimas, Zaky, Tommy, Ompong, Miswadi, Fandi, Didit, Bayu, Kacong, Doni, Christofel.
13. Kakak kelasku : Reza, Fahmi, Eko, Joko, Fajar S, Breh, Mas Dain, Mas Budi.
14. Adik kelasku : Ziyad, Purnomo, Doni, Lutfi, Enur, Fajar (*sing mbaurekso opres..*), Wendy, Akbar, Asa, Vlad.
15. Pegawai T. Kelautan ITS : Bu Lis, Pak Teguh, Pak Man, Pak Tomo, Mas Joko, Cak No, Mas Slamet (*suwun sing uakeh mas...*)
16. Serta semua pihak yang tidak bisa saya sebutkan semua. Terima kasih semuanya.

Penulis menyadari bahwa dalam pelaksanaan dan penulisan penelitian ini masih jauh dari kesempurnaan sehingga penulis sangat mengharapkan kritik dan saran dari pihak lain. Akhir kata penulis hanya dapat berharap penelitian ini dapat mempunyai andil walaupun sedikit bagi kemajuan dunia pendidikan khususnya bidang *offshore structure*.

Wassalamualaikum Wr.Wb.

Surabaya, 27 Juli 2006

Arief Santoso Wijaya



DAFTAR ISI

DAFTAR ISI

| | |
|-------------------|-----|
| HALAMAN JUDUL | i |
| LEMBAR PENGESAHAN | ii |
| ABSTRAK | iii |
| KATA PENGANTAR | iv |
| DAFTAR ISI | vi |
| DAFTAR TABEL | ix |
| DAFTAR GAMBAR | x |
| DAFTAR NOTASI | xi |

BAB I PENDAHULUAN

| | |
|------------------------------|---|
| 1.1 Latar Belakang Masalah | 1 |
| 1.2 Perumusan Masalah | 2 |
| 1.3 Tujuan Penelitian | 2 |
| 1.4 Manfaat Penelitian | 3 |
| 1.5 Ruang Lingkup Penelitian | 3 |
| 1.6 Sistematika Penulisan | 4 |

BAB II TINJAUAN PUSTAKA DAN DASAR TEORI

| | |
|---|----|
| 2.1 Tinjauan Pustaka | 6 |
| 2.2 Landasan Teori | 9 |
| 2.2.1 Gambaran Umum Struktur Jacket | 9 |
| 2.2.2 Teori Pembebanan | 10 |
| 2.2.2.1. Beban Mati | 11 |
| 2.2.2.2. Beban Hidup | 11 |
| 2.2.2.3. Beban Lingkungan | 11 |
| 2.2.2.4. Beban Akibat Kecelakaan | 12 |
| 2.2.3 Analisa Statis Inplace Pada Bangunan Lepas Pantai | 12 |
| 2.2.3.1 Tahapan Dalam Analisis Statis | 12 |
| 2.2.4 Prosedur Analisa Desain | 13 |
| 2.2.5 Teori Gelombang | 14 |

| | |
|--|----|
| 2.2.5.1 Teori Gelombang Stokes Orde 5 | 15 |
| 2.2.5.2 Gaya Gelombang pada Silinder Tegak | 16 |
| 2.2.5.3 Gaya Gelombang pada Silinder Miring | 18 |
| 2.2.6 Teori Pemodelan Struktur | 20 |
| 2.2.6.1 Pemodelan Secara Umum | 20 |
| 2.2.6.2 Pemodelan Struktur Jacket | 21 |
| 2.2.7 Konsep Tegangan | 22 |
| 2.2.7.1 Tegangan Normal / Aksial (axial stress) | 22 |
| 2.2.7.2 Tegangan Geser | 23 |
| 2.2.7.3 Tegangan untuk member silinder | 23 |
| 2.2.8 Mekanisme Keruntuhan | 27 |
| 2.2.9 Lendutan Pada Struktur Jacket dengan FEM | 28 |
| 2.2.10 Keandalan Pada Sistem Rekayasa | 29 |
| 2.2.11 Advanced First Orde Second Moment (AFOSM) | 33 |
| 2.2.12 Kekuatan Sisa Struktur | 34 |

BAB III METODOLOGI

| | |
|--|----|
| 3.1 Pemodelan secara Umum | 35 |
| 3.2 Metodologi Analisis | 36 |
| 3.3. Pengumpulan Data Struktur | 39 |
| 3.3.1 Data Struktur | 39 |
| 3.3.2 Data Lingkungan | 39 |
| 3.4. Pemodelan Struktur APND Platform | 40 |
| 3.4.1 Pemodelan Struktur APND Platform | 40 |
| 3.4.2 Pemodelan Beban | 42 |
| 3.5. Analisa Statis Push Over | 45 |
| 3.5.1 Penjelasan langkah analisa push over | 46 |
| 3.6. Keandalan | 49 |

BAB IV ANALISA HASIL DAN PEMBAHASAN

| | |
|--------------------------|----|
| 4.1 Analisa Design Level | 51 |
| 4.2 Analisa Push Over | 54 |
| 4.3 Analisa Keandalan | 56 |

| | |
|-------------------------|----|
| 4.4 Keruntuhan Struktur | 64 |
|-------------------------|----|

BAB V KESIMPULAN DAN SARAN

| | |
|----------------|----|
| 5.1 Kesimpulan | 66 |
| 5.2 Saran | 66 |

DAFTAR PUSTAKA

LAMPIRAN

DAFTAR TABEL

| | |
|---|----|
| Tabel 3.1 Kecepatan arus dibawah permukaan air laut | 40 |
| Tabel 3.2 Kecepatan angin | 40 |
| Tabel 3.3 Beban pada struktur geladak (pay load) | 42 |
| Table 4.1 Matriks Beban Menurut API RP 2A WSD,21 st edition | 51 |
| Tabel 4.2 Validasi Model Struktur APN-D | 52 |
| Tabel 4.3 Matriks Beban Menurut API RP 2A LRFD,1 st edition | 53 |
| Tabel 4.4 Member Kritis Kondisi Ekstrim | 53 |
| Tabel 4.5 Perbedaan Pembebanan Menurut API RP 2A WSD,21 st edition dan API RP 2A LRFD,1 st edition | 54 |
| Tabel 4.6 Syarat Penerimaan RSR Menurut API RP 2A WSD,21 st edition | 55 |
| Tabel 4.7 Nilai RSR minimum dari 12 arah pembebanan | 55 |
| Tabel 4.8 Moda Keruntuhan dan Keandalan Member Hasil Analisa API RP 2A WSD,21 st edition | 57 |
| Tabel 4.9 Moda Keruntuhan dan Keandalan Member Hasil Analisis API RP 2A LRFD,1 st edition | 59 |
| Tabel 4.10 Keandalan Sistem Jacket APN-D | 62 |
| Tabel 4.11 Tegangan Ultimate Beberapa Member | 62 |
| Tabel 4.12 System Redundancy | 63 |

DAFTAR GAMBAR

| | |
|---|----|
| Gambar 1.1 Model Dari Struktur APN-D | 3 |
| Gambar 2.1 Karakteristik beban dan deformasi dari komponen struktur | 8 |
| Gambar 2.2 Gambaran umum Jacket | 10 |
| Gambar 2.3 Grafik Region of Validity | 15 |
| Gambar 2.4 Gaya gelombang pada Silinder Tegak | 18 |
| Gambar 2.5 Orientasi Arah Gaya Gelombang pada Silinder Miring | 18 |
| Gambar 2.6 Grafik Pembebanan aksial pada batang tubular | 22 |
| Gambar 2.7 Pembebanan momen kopel pada batang tubular | 22 |
| Gambar 2.8 Gaya puntiran pada batang silinder | 23 |
| Gambar 2.9 Moda kegagalan elemen | 28 |
| Gambar 2.10 Fungsi kerapatan peluang (fkp) dari kapasitas X dan tuntutanY | 30 |
| Gambar 2.11 Fungsi distribusi komulatif dan fungsi kerapatan peluang pada angka keamanan $Z = X/Y$ | 34 |
| Gambar 2.12 Fkp untuk batas margin S | 31 |
| Gambar 3.1 Flowchart Metodologi Tugas Akhir | 36 |
| Gambar 3.2 Model deck dengan secondary beam menumpu pada main beam | 38 |
| Gambar 3.3 Detailed Model Struktur APND | 41 |
| Gambar 3.4 Orientasi Platform | 44 |
| Gambar 3.5 Input nonlinear member | 47 |
| Gambar 3.6 Input tension dan compress member | 47 |
| Gambar 3.7 Analisa Push Over | 48 |
| Gambar 3.8 Model Keandalan Seri-Paralel | 50 |
| Gambar 4.1 RSR dari 12 Arah Pembebanan Menurut API RP 2A WSD,21 st edition dan API RP 2A LRFD,1 st edition | 56 |
| Gambar 4.2 Grafik Hubungan β dan σ_{Ultimate} member CSG-1 pada arah 330° | 61 |
| Gambar 4.3 Grafik Degradasi PoF member CSG-1 pada arah 330° | 61 |
| Gambar 4.4 Animasi Keruntuhan Struktur APN-D Pada Arah Pembebanan 330° | 64 |



DAFTAR NOTASI

| | |
|------------------|---|
| C | : Kecepatan Gelombang |
| Cd | : Koefisien Drag |
| Cm | : Koefisien Inersia |
| d | : Kedalaman Perairan |
| E | : Modulus Elastis Material |
| Fw | : Gaya Gelombang per Satuan Panjang |
| Fd | : Gaya Drag per Unit Panjang |
| Fi | : Gaya Inersia per Unit Panjang |
| Fy | : Tegangan Ijin Material |
| H | : Tinggi Gelombang |
| P _{ult} | : Respon Gaya Aksial Akibat Beban <i>Ultimate</i> |
| P _{des} | : Respon Gaya Aksial Akibat Beban <i>design level</i> |
| M _{ult} | : Respon Gaya momen Akibat Beban <i>Ultimate</i> |
| RSR | : Reserve Strength Ratio |
| T | : Periode Gelombang |
| u | : Kecepatan Gelombang Arah Horisontal |
| v | : Kecepatan Gelombang Arah vertikal |



BAB I

PENDAHULUAN

BAB I

PENDAHULUAN

1.1. Latar Belakang Masalah

Sebagai struktur lepas pantai, kondisi lingkungan terutama beban gelombang mempunyai pengaruh yang cukup signifikan bagi ketahanan struktur. Selain gelombang yang menjadi salah satu faktor beban bagi struktur jacket, penambahan peralatan-peralatan atau perlengkapan selama kondisi operasi (dalam hal ini disebut *live load*) juga mempengaruhi kekuatan daripada struktur itu sendiri.

Platform yang sebagian besar tipe jacket yang berada di perairan Indonesia pada saat ini telah banyak yang mencapai umur pelayanannya (*service time*), sedangkan dari sisi eksplorasi masih diperlukan fasilitas-fasilitas tambahan sehingga kegiatan eksplorasi dan produksi tetap berjalan. Hal ini akan mempengaruhi kekuatan dari struktur jacket yang telah mencapai umur pelayanannya (*service time*). Sebenarnya struktur jacket yang telah mencapai umur pelayanannya (*service time*) masih memadai untuk dipergunakan lagi, asalkan dilakukan analisa ulang. Salah satu cara analisa yang akan digunakan adalah analisa kekuatan cadangan dari struktur jacket tersebut, dimana setelah dibebani dengan beban gelombang yang dinaikkan beberapa kali sampai mencapai tegangan yield dari member dicapai atau sudah melampaui kekuatan puncaknya (*Ultimate Strength*).

Studi kasus yang digunakan dalam penggerjaan Tugas Akhir ini adalah struktur jacket milik BP West Java LTD. Anjungan Jacket ini berada pada wilayah perairan Laut Jawa dengan nama anjungan APN-D, anjungan APN-D adalah anjungan Monotower Platform dengan tiga kaki pada kedalaman laut 45,971 m dari mean sea level terletak di Lepas Pantai Laut Jawa, Laut Jawa, Indonesia.

Spesifikasi desain dari hasil penelitian telah mengalami revisi dan pembaharuan secara periodik. Di Indonesia, kriteria desain anjungan lepas pantai masih menggunakan *API RP 2A - Working Stress Desain (WSD)*. Pada tahun 1993, *American Petroleum Institute (API)* mengeluarkan *Recommended Practice 2A – Load and Resistance Factor Design (LRFD)* dan telah dipakai sebagai referensi dalam mendesain anjungan lepas pantai di seluruh dunia, tetapi belum digunakan di Indonesia. Dengan menggunakan *API RP 2A-LRFD*

sebagai referensi maka akan diperoleh desain akhir yang lebih rasional dan distribusi beban akan lebih merata bila dibandingkan dengan menggunakan *API RP 2A-WSD*.

Analisa ini mencakup analisa design level dan analisa *push over* yang didasarkan pada pendekatan LRFD. Dari analisa ini kita akan dapat mengetahui RSR dan *system redundancy* (SR) dari struktur berbasis LRFD.

Kekuatan ultimate dari suatu struktur tidak dapat dianalisa sepenuhnya dengan menggunakan *API RP 2A-WSD* atau *API RP 2A-LRFD* karena analisa kedua code tersebut merupakan analisa *deterministic* sedang sifat beban yang bersifat acak dan faktor ketidakpastian yang tinggi maka diperlukan analisa keandalan. Untuk analisa keandalan ini dapat digunakan Advanced First Orde Second Moment (AFOSM) merupakan analisa *semi probabilistic* yang mana pada akhirnya akan menunjukkan hasil yang lebih rasional mengindikasikan peluang kegagalan. Pada analisa keandalan ini dipilih member kritis untuk dianalisa keandalannya dari struktur tersebut. Dari hasil ini kita dapat memikirkan bagaimana cara melakukan tindakan terhadap bagian struktur yang kritis sehingga struktur yang telah mencapai service time dapat digunakan lagi tanpa mengabaikan keselamatan.

1.2. Perumusan Masalah

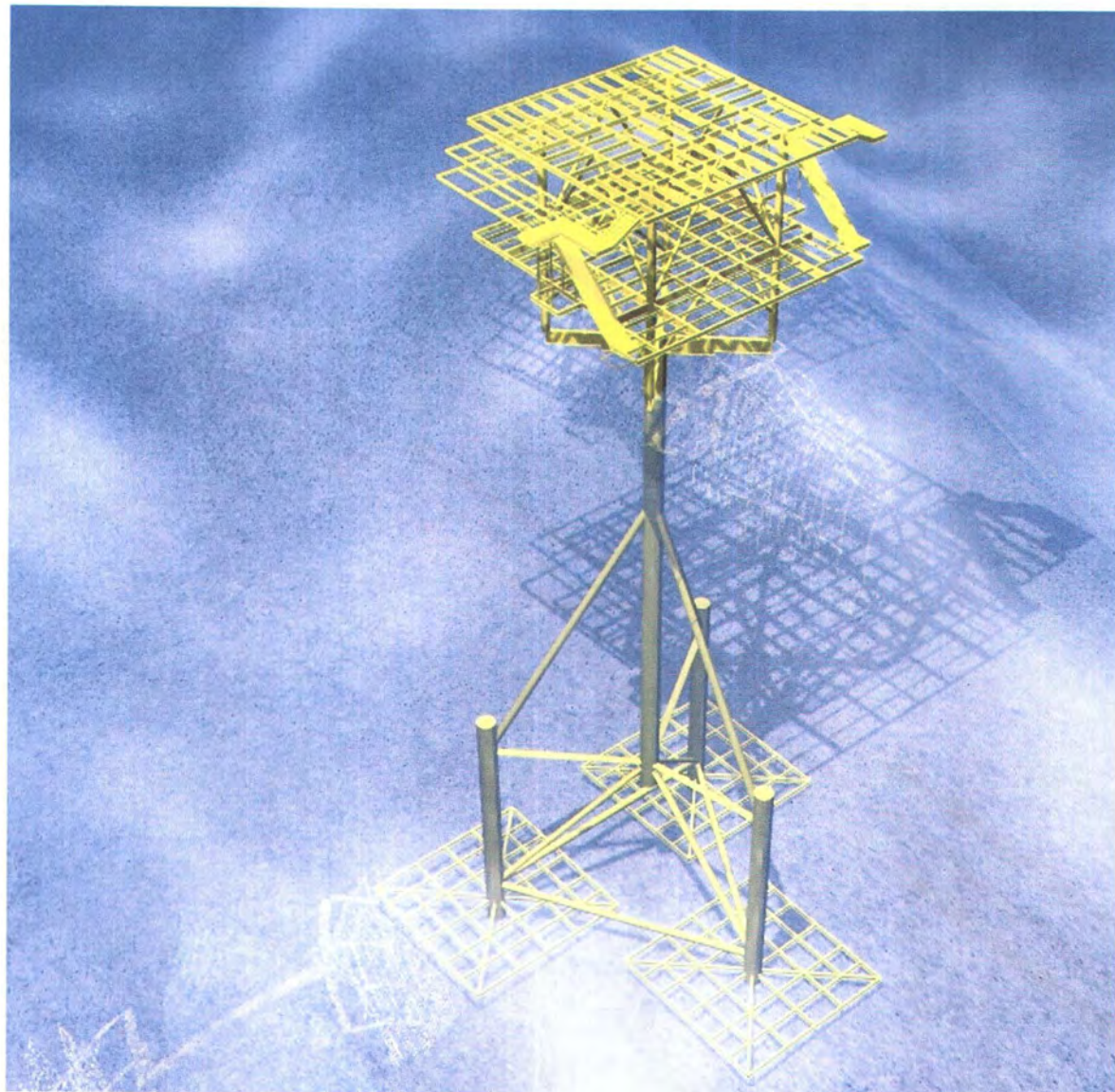
1. Berapa besar nilai RSR (*Reserve Strength Ratio*) hasil analisa LRFD dan analisa WSD ?
2. Bagaimana indeks keandalan dari sistem struktur tersebut terhadap analisa pushover ?
3. Berapa besar nilai tegangan *ultimate* hasil analisa LRFD dan analisa WSD ?

1.3. Tujuan

1. Untuk mendapatkan nilai RSR dari struktur hasil analisa LRFD dan analisa WSD.
2. Untuk mendapatkan nilai keandalan dari sistem struktur Jacket.
3. Untuk mendapatkan nilai Tegangan ultimate analisa LRFD dan analisa WSD.

1.4. Manfaat

Dari hasil analisa yang akan dilakukan dapat diketahui kekuatan sisa dari struktur Jacket dengan pendekatan LRFD dan membandingkan dengan pendekatan WSD sehingga akan didapat target level LRFD lebih efisien, ekonomis dan aman.



Gambar 1.1 Model Dari Struktur APN-D

1.5. Batasan Masalah

Untuk mendapatkan tujuan yang ingin dicapai dalam tugas akhir ini maka perlu dilakukan pembatasan masalah, yang meliputi :

- Pada analisa FEM untuk menentukan tegangan tiap member, material data masih dianggap *deterministic*

- Sebagai studi kasus digunakan struktur Jacket dengan kondisi :
 - Tipe kaki yang digunakan satu kaki dengan tiga kaki pendukung (*skirt pile*) APN-D dan dianggap terpanjang dengan tumpuan *fixed*.
 - Type *brace* yang digunakan adalah K-*bracing*.
- Perhitungan beban gelombang menggunakan persamaan Morison.
- Beban yang bekerja pada struktur adalah beban operasional (*payload*) dan beban lingkungan (beban gelombang pada kondisi ekstrem).
- Bentuk geladak dianggap *rigid body* yang tidak mengalami deformasi akibat berat struktur.
- Moda kegagalan yang digunakan hanya 1 macam yaitu akibat *combined stress*.
- Beban lingkungan yang akan digunakan dalam analisis hanya beban gelombang (kondisi *ultimate loading*)
- Dalam melakukan analisa perhitungan Tugas Akhir ini menggunakan Software Bantuan GT Strudl dan GT Selos.
- Untuk Analisa Keandalan Menggunakan Metode AFOSM (*Advanced First Order Second Moment*).

1.6. Sistematika Penulisan

Sistematika penulisan dalam laporan tugas akhir ini adalah sebagai berikut:

BAB I PENDAHULUAN

Pada bab ini akan diterangkan mengenai latar belakang studi yang akan dilakukan, permasalahan, tujuan yang akan dicapai, manfaat, batasan-batasan masalah dan sistematika penulisan laporan yang dipakai dalam tugas akhir ini.

BAB II TINJAUAN PUSTAKA DAN DASAR TEORI

Dalam penyelesaian masalah dalam tugas akhir ini penulis berpedoman pada reanalisa struktur bangunan lepas pantai yang pernah dilakukan. Selain itu juga berpedoman pada dasar teori khususnya tentang konsep *push over analysis*. Dasar teori yang digunakan antara lain dasar-dasar perancangan Jacket dan pemodelan struktur , teori elemen hingga, *nonlinear push over analysis* dan analisa keandalan.

BAB III METODOLOGI PENULISAN

Bab ini menjelaskan urutan penggerjaan yang dilakukan dalam rangka penggerjaan laporan tugas akhir ini dan menerangkan tentang pemodelan struktur secara keseluruhan yang mengikuti metodologi penelitian yang telah ditentukan. Pemodelan ini meliputi pemodelan untuk struktur dan pembebanannya, termasuk di dalamnya adalah pengumpulan data struktur. Dalam melakukan pemodelan menggunakan bantuan software *GT Strudl Version 2.7*. Pemodelan yang dilakukan mengikuti data yang telah ada dan teori perhitungan yang telah ditentukan.

BAB IV ANALISA HASIL DAN PEMBAHASAN

Bab ini akan membahas tentang hasil *in place analysis design level* yang kemudian akan dipilih member kritis sebanyak 10 member dari tiap arah pembebanan. Setelah itu struktur tersebut akan dianalisa *push over analysis* untuk dicari keandalannya terhadap beban *Ultimate*.

BAB V KESIMPULAN DAN SARAN

Bab ini berisi kesimpulan dan saran dari penulisan tugas akhir serta saran penyelesaian permasalahan untuk penelitian lebih lanjut.



BAB II
TINJAUAN PUSTAKA
DAN DASAR TEORI

BAB II

TINJAUAN PUSTAKA DAN DASAR TEORI

2.1 Tinjauan Pustaka

Teknologi perancangan dan konstruksi anjungan lepas pantai telah berkembang sejak empat dekade yang lalu. Ini dibuktikan dengan adanya berbagai jenis *offshore structure* di lepas pantai yang berfungsi sebagai *production platform*, *wellhead platform*, *service platform* maupun kombinasi antara ketiganya. Munculnya struktur-struktur yang lebih memiliki teknologi yang lebih baik meningkatkan hasil eksplorasi yang lebih berkualitas dan pengoperasiannya lebih ekonomis.

Beberapa konsep struktur bangunan lepas pantai yang lazim dioperasikan hingga saat ini, dapat dikelompokkan menjadi tiga kelompok utama yaitu :

1. Anjungan terpanjang (*Fixed Offshore Platform*)

Suatu anjungan lepas pantai dikategorikan sebagai anjungan terpanjang bila anjungan tersebut dalam operasinya bersifat menahan gaya-gaya lingkungan tanpa mengalami *displacement/deformasi* yang berarti (Chakrabarti, 1987). Tipe ini merupakan tipe paling tua dan paling banyak dibangun. Struktur tipe ini hanya ekonomis untuk pengoperasian pada perairan dengan kedalaman 1000 – 1600 ft. Salah satu kelemahannya adalah biaya produksi dan biaya instalasi struktur baja atau beton terpanjang akan naik secara eksponensial terhadap kedalaman (Albrecht et.al, 1978). Contoh anjungan terpanjang diantaranya adalah *Jacket* dan *Concrete Gravity Platform* (CGP).

2. Anjungan Terapung (*Floating Production Platform*)

Tipe anjungan ini merupakan anjungan yang mempunyai karakter bergerak mengikuti gerakan gelombang. Seringkali anjungan tipe ini dihubungkan dengan dasar laut menggunakan peralatan mekanik seperti kabel atau rantai. Untuk anjungan tipe ini yang utama adalah mobilitas dan kemampuannya mengantisipasi gerakan akibat gelombang dan arus laut (Djatmiko, 1993). Salah satu kelemahannya adalah rendahnya kapasitas *payload* serta kualitas karakteristik *Seakeeping*.

Contoh dari anjungan tipe terapung diantaranya adalah *Semi-submersible*, *Drilling ships*, dan *Jack-Up*.

3. Anjungan struktur lentur (*Compliant Platform*)

Tujuan pengembangan struktur lentur adalah untuk memenuhi persyaratan fungsi-fungsi khusus seperti faktor ekonomi dan faktor teknis. Prinsip perencanaan umum anjungan struktur lentur adalah mendapatkan solusi optimal terhadap persyaratan-persyaratan fungsi-fungsi tersebut.

Beberapa contoh dari tipe ini diantaranya adalah *Tension Leg Platform* (TLP), *Guyed Tower*, dan *Articulated Tower*.

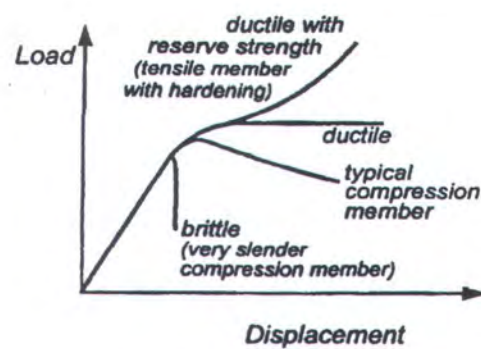
Jacket Platform merupakan salah satu tipe anjungan struktur terpanjang (*Fixed Platform*). Tipe anjungan ini memanfaatkan kekuatan dari kakinya yang didukung oleh konfigurasi member dan *pile* yang tertancap sangat dalam untuk menahan *payload* dan beban lateral dari angin, arus dan gelombang yang bekerja pada struktur tersebut.

Mendesign suatu struktur *Jacket* membutuhkan kriteria *design* sebagai acuan dalam mendesign suatu struktur. *American Petroleum Institute* telah mengeluarkan peraturan dalam merencanakan, mendesign dan membangun suatu platform *Jacket*. Beberapa peraturan yang dikeluarkan oleh *American Petroleum Institute* ialah *API RP 2A - Working Stress Desain* (WSD) dan *API RP 2A – Load and Resistance Factor Design* (LRFD). Dalam analisa dengan menggunakan program *GTStrudl* dan *GTSelos* maka didapat perbandingan *ratio* $\left(R = \frac{IR_{LRFD}}{IR_{WSD}} \right)$ untuk kondisi normal, WSD lebih *conservative* ($R > 1$) daripada LRFD. Dan untuk kondisi ekstrem, LRFD lebih baik daripada WSD ($R < 1$). (Nugraha, 2002).

Kekuatan dari struktur jacket dapat dianalisa dengan menggunakan metode *Push Over Analysis*, dimana setelah dibebani dengan beban gelombang yang dinaikkan beberapa kali sampai mencapai tegangan yield dari member dicapai atau sudah melampaui kekuatan puncaknya (*Ultimate Strength*). (Health and Safety Executive, 2001).

Selain pembebanan gelombang yang dinaikkan, penyebab kegagalan dari struktur adalah bertambahnya beban yang berlebihan (*Overload*). Dengan adanya beban yang semakin bertambah maka menyebabkan struktur jacket *collapse*.





Gambar 2.1 Karakteristik beban dan deformasi dari komponen struktur
 (Health and Safety Executive,1999).

Dalam hal ini karakteristik dari komponen struktur yaitu kekuatan cadangan dengan tanpa kekuatan cadangan (Gambar 2.1). Sistem kekuatan sisa dari struktur anjungan lepas pantai pada umumnya mempunyai karakteristik seperti ditunjukkan pada Gambar 2.1 (Health and Safety Executive,1999).

Pada analisa sistem keandalan, *post-ultimate behaviour* dianggap *deterministic*. Prinsip struktur member ditemukan pada struktur lepas pantai khususnya pada member berpenampang silinder. Jika salah satu pengujian dari percobaan sebelumnya ada struktur member ini, akan ditemukan *post-ultimate behaviour* setelah sebuah member mengalami kegagalan. Oleh karena itu, sudah semestinya memasukkan ketidakpastian *post-ultimate behaviour* pada analisa keandalan sistem dari seluruh sistem struktur. Salah satu untuk mendapatkan nilai keandalan sistem adalah melalui metode keruntuhan. Nilai keandalan member yang gagal dan menyebabkan runtuhnya keseluruhan struktur jika beban dinaikkan sedikit demi sedikit, akan mewakili nilai keandalan global/sistem dari struktur.

Kerusakan dari struktur telah menjadi masalah yang umum di dunia. Untuk memperkirakan suatu struktur apakah dapat beroperasi lebih lama, salah satu cara telah dikembangkan untuk mengevaluasi keandalan yang bergantung waktu dan perubahan kinerja dari kekuatan struktur seiring waktu akibat umur dan lingkungan yang korosif. Meskipun cara yang telah dikembangkan sangat berguna dan akurat, perhitungan komputasi membutuhkan kombinasi proses pembebanan dengan waktu yang bervariasi untuk menentukan strategi perbaikan atau inspeksi yang optimal. Metode AFOSM dapat digunakan untuk menentukan keandalan dari struktur berdasarkan analisa numerik. Metode

ini ditujukan untuk memperkirakan faktor reduksi sebagai fungsi tingkat degradasi. (Mori and Ellingwood, 1993).

2.2 Landasan Teori

2.2.1 Gambaran Umum Struktur Jacket

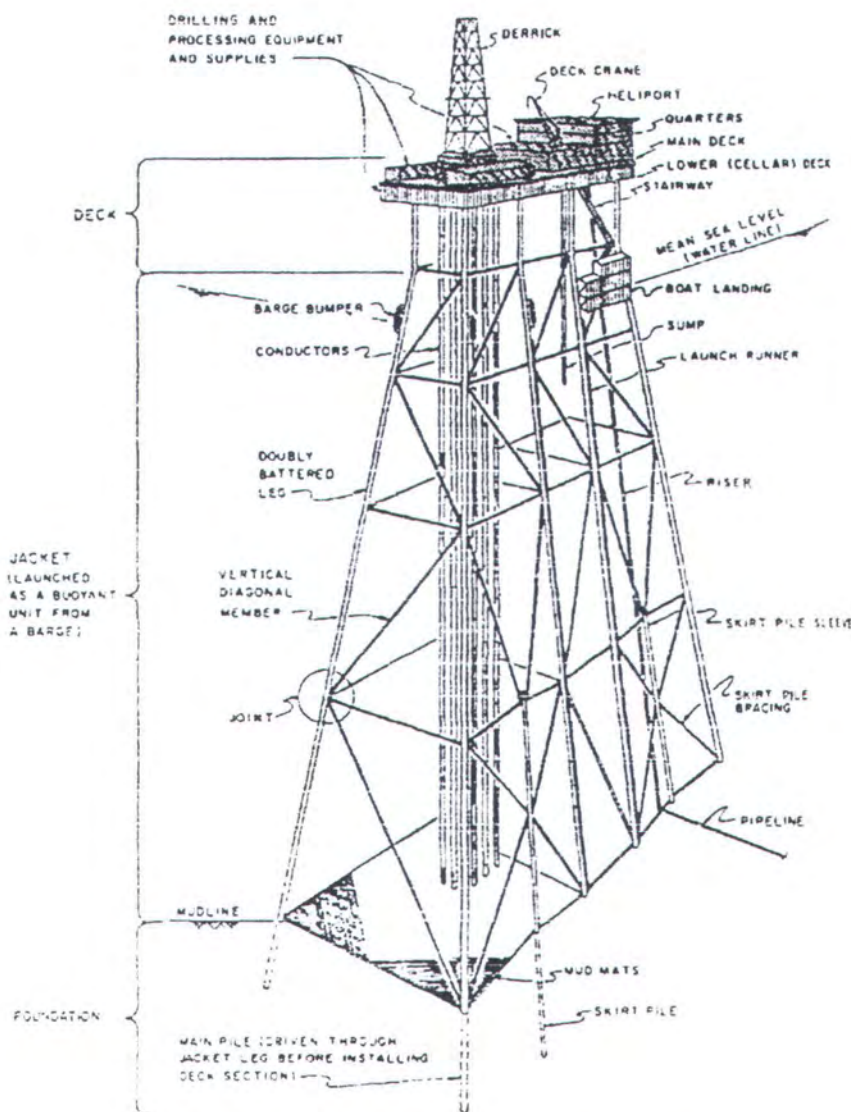
Struktur *Jacket* merupakan bentuk struktur terpanjang (*Fixed Structure*) yang terdiri atas komponen utama yaitu :

1. *Topsides/geladak* yang berfungsi sebagai penunjang seluruh kegiatan, tempat fasilitas dan tempat bekerja para personel.
2. *Template/Jacket* yang berfungsi sebagai penerus beban baik beban vertikal dari geladak maupun beban lateral dari angin, gelombang, arus dan *boat impact* ke pondasi.
3. Pondasi yang berfungsi untuk meneruskan beban dari jacket ke tanah.

Selain itu juga ada subkomponen dari masing-masing komponen utama dari jacket yaitu :

1. Subkomponen dari struktur geladak antara lain : *skid beam, deck plating, deck beam, deck legs, longitudinal trusses* dan *wind girders*.
2. Subkomponen dari jacket antara lain : *legs, horizontal* dan *vertical bracing, launch runner, launch trusses* dan detail element (*boat landing, barge bumpers* dan *walkways*).
3. Subkomponen dari pondasi antara lain : *skirt pile sleeves, skirt pile bracing, piles*.

Beberapa sistem *jacket* yang ada di dunia, mempunyai perbedaan utama mengenai jumlah kaki, konfigurasi *system bracing* serta fungsinya. Jumlah kaki pada setiap jacket bervariasi dari 1 (*monopod*) hingga 8 kaki dengan membentuk konfigurasi tertentu. Demikian juga dengan system konfigurasi bracingnya dari yang sederhana sampai yang komplek (McClelland, 1986).



Gambar 2.2. Gambaran umum Jacket (Sumber : Planning and Design of Fixed Offshore Structure)

2.2.2 Teori Pembebanan

Pada suatu proses perancangan bangunan lepas pantai, untuk menentukan kemampuan kerja suatu struktur akan dipengaruhi oleh beban yang terjadi pada bangunan tersebut. Sehingga perancang harus menentukan akurasi atau ketepatan beban yang akan diterapkan dalam perancangan. Adapun beban-beban yang harus dipertimbangkan dalam perancangan bangunan lepas pantai adalah sebagai berikut (Soedjono, J.J.,1999) :

1. Beban mati (*dead load*)
2. Beban hidup (*live load*)
3. Beban akibat kecelakaan (*accidental load*)
4. Beban lingkungan (*environmental load*)

2.2.2.1 Beban mati (*dead load*)

Beban mati (*dead load*) adalah beban dari komponen-komponen kering serta beban-beban dari peralatan, perlengkapan dan permesinan yang tidak berubah dari mode operasi pada suatu bangunan lepas pantai. Adapun beban mati tersebut dapat dikelompokkan sebagai berikut:

- a. Berat dari struktur bangunan lepas pantai, seperti tiang pancang, bangunan atas, *jacket, deck, railing, grout, anode, stiffners* dan lain-lain.
- b. Berat peralatan dan permesinan yang tidak digunakan untuk pengeboran atau proses pengeboran.
- c. Berat perlengkapan tambahan lain yang dipasang permanen pada struktur, seperti *boat landing, risers, barge bumper*.

2.2.2.2 Beban Hidup (*Live Load*)

Beban hidup (*live load*) adalah beban yang terjadi pada *platform* atau bangunan lepas pantai selama dipakai/ berfungsi dan tidak berubah dari mode operasi satu ke mode operasi yang lain. Adapun yang termasuk beban hidup (*live load*) dapat digolongkan sebagai berikut:

- a. Berat peralatan pengeboran (*drilling*)
- b. Berat peralatan produksi atau *treatment*
- c. Berat pendukung pengeboran
- d. Berat pendukung *treatment*
- e. Beban pengeboran
- f. Beban akibat gaya-gaya yang terjadi pada struktur dari operasi

2.2.2.3 Beban Lingkungan (*Environmental Load*)

Beban lingkungan (*Environmental Load*) adalah beban yang terjadi karena dipengaruhi oleh lingkungan dimana suatu bangunan lepas pantai dioperasikan atau bekerja. Beban lingkungan yang biasanya digunakan dalam perancangan adalah:

1. Beban gelombang
2. Beban angin
3. Beban arus
4. Beban gempa

2.2.2.4 Beban Akibat Kecelakaan (*Accidental Load*)

Beban kecelakaan (*accidental load*) merupakan beban yang tidak dapat diduga sebelumnya yang terjadi pada suatu bangunan lepas pantai. Beban kecelakaan ini terjadi akibat dari:

- a. Tabrakan dengan kapal pemandu operasi
- b. Putusnya tali katrol (*crane*)
- c. Putusnya tali tambat (rantai jangkar, tali baja pengikat katrol)
- d. Kebakaran, letusan, *blow out*
- e. Benda yang jatuh mengenai deck, dan lain-lain

2.2.3 Analisa Statis Inplace pada Struktur Bangunan Lepas Pantai

Analisis statis (*static analysis*) adalah suatu analisis terhadap struktur *jacket* dimana gaya – gaya inersia yang timbul akibat percepatan struktur karena beban-beban dinamis (fluktuatif terhadap waktu) tidak dipertimbangkan (diabaikan). Sedangkan istilah “*inplace*” berarti kondisi setempat dimana anjungan itu berada, jadi dari *inplace analysis* adalah analisis struktur dalam kondisi berada di tempatnya (*offshore site*) dimana faktor – faktor eksternal (*environmental loads*) yang dipertimbangkan adalah khusus untuk kondisi setempat. (Waluyo P, Rudi. 2003).

2.2.3.1 Tahapan Dalam Analisis Statis

Tahapan dalam analisis statis dengan menggunakan program komputer dapat diuraikan sebagai berikut :

1. Pendefinisian struktur melalui dimensi fisiknya, ukuran membernya dan properties material penyusunnya.
2. Nilai awal diameter dan ketebalan member ditentukan berdasarkan pengalaman sebelumnya untuk aplikasi yang serupa.
3. Dimensi keseluruhan ditentukan dari tata letak geladak (*deck layout*) yang memenuhi syarat operasionalnya.

Adapun parameter perancangan yang digunakan dalam pembuatan *detailed model* adalah sebagai berikut :

- *Slenderness ratio / rasio kerampingan*

$$\text{Slenderness ratio} = \frac{kL}{r}$$

Dimana: $k = \text{buckling length factor}$

$L = \text{panjang elemen}$

$r = \text{jari - jari girasi} = 0.35 D$

- *Diameter to wall thickness ratio (D/t)*

Karakteristik kedua yang penting adalah kestabilan penampang sebuah rangka tubular yang dinyatakan dalam ratio diameter dan tebal dinding (D/t) yang juga menunjukkan kestabilan terhadap *local buckling/hydrostatic collapse*. Besarnya harga D/t berkisar antara 19-90, bila harga D/t mendekati 70, maka harus dilakukan pemeriksaan *local buckling*. Dalam melakukan proses perancangan hal yang menjadi pertimbangan utama adalah kekuatan rancangan. Suatu rancangan dikatakan memenuhi criteria perancangan apabila pada setiap titiknya lebih kecil atau dengan tegangan ijin titik tersebut.

2.2.4 Prosedur Analisa Desain (*Design Level Analysis Procedure*)

Prosedur ini sama dengan prosedur yang dilakukan untuk struktur yang baru, termasuk perhitungan beban dan faktor keamanan, analisa desain ini digunakan untuk dapat memudahkan kita nantinya melakukan analisa ultimate strength dalam menentukan letak member kritisnya.

Pembebanan untuk analisa *in-place*

Kondisi Operasi

Masing-masing member, joint dan komponen dari pondasi harus di cek terhadap gaya (Q) yang disebabkan dari beban berikut ini :

$$Q = 1.3 D_1 + 1.3 D_2 + 1.5 L_1 + 1.5 L_2 + 0.9 \gamma_E (W_o + \gamma_D D_n) \quad (2.1)$$

Dimana :

D_1 = beban mati 1 adalah berat struktur sendiri yang terdiri :

1. berat struktur di udara termasuk berat *pile*, *grouting* dan *ballast*.
2. berat peralatan yang berada di platform dan obyek lain yang terletak permanen di platform yang tidak akan pindah selama operasi.
3. gaya – gaya hidrostatik yang bekerja pada struktur di bawah permukaan air laut termasuk *internal* dan *eksternal pressure* dan *bouyancy*
4. air yang berada di dalam struktur baik yang permanen ada di dalam struktur maupun yang sementara.

D₂ = beban mati 2 adalah beban yang berada di platform, disebabkan oleh peralatan dan obyek lain, beban ini bisa berubah dari satu moda operasi ke moda operasi lainnya, tapi masih berada di platform tersebut untuk waktu yang relatif lama, yang termasuk didalamnya adalah :

1. Berat dari peralatan pengeboran (*drilling*) dan peralatan produksi yang mana dapat ditambahkan ataupun dikurangi.
2. Berat dari *living quarter*, *helipad* dan peralatan pendukung keselamatan yang dapat ditambahkan ataupun dikurangi.

L₁ = beban hidup 1 adalah berat dari persedian-persedian yang bersifat habis terpakai seperti : makanan, minuman, dan fluida dalam pipa dan tanki.

L₂ = beban hidup 2 adalah gaya yang bersifat berdurasi cepat yang bekerja pada struktur seperti, pengangkatan *drill string*, pengangkatan oleh *crane*, operasi mesin, penambatan kapal/boat dan pendaratan helikopter.

W_e = gaya – gaya yang bekerja pada struktur berasal dari kombinasi gelombang, angin dan arus pada kondisi operasi (*1-yr return period*).

D_n = beban inersia pada saat respon total dinamis (statis dan inersia) maksimum. Untuk platform dengan periode natural rendah (kurang dari 3 detik), D_n diabaikan.

Kondisi Badai

Masing – masing member, joint dan komponen dari pondasi harus di cek terhadap gaya (Q) yang disebabkan dari beban berikut ini :

$$Q = 1.1 D_1 + 1.1 D_2 + 1.1 L_1 + \gamma_{fE} (W_e + \gamma_{fD} D_n) \quad (2.2)$$

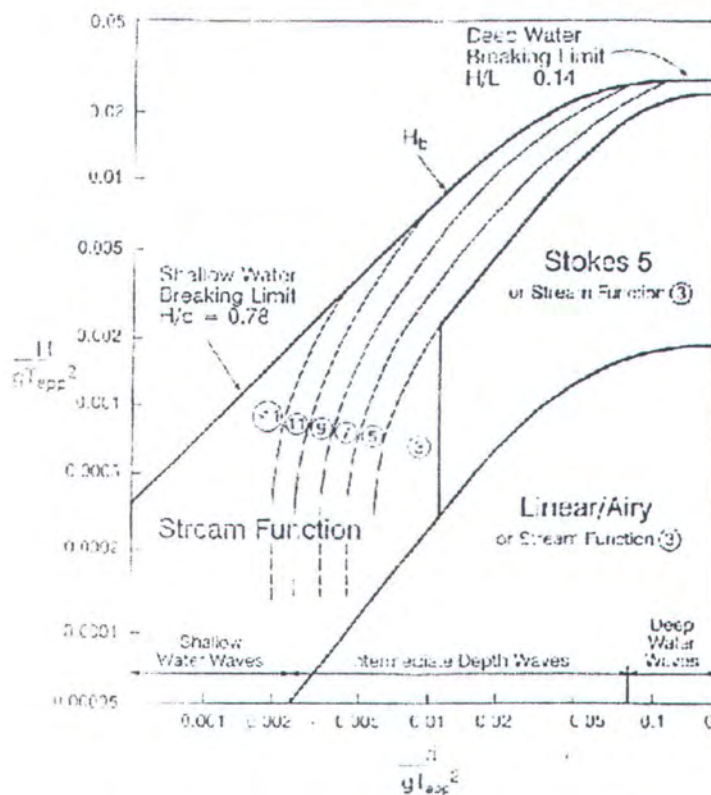
Dimana D₁, D₂, L₁ dan D_n sudah didefinisikan di atas, sedangkan W_e adalah :

W_e = gaya – gaya yang bekerja pada struktur berasal dari kombinasi gelombang, angin dan arus pada kondisi operasi (*100-yr return period*).

2.2.5 Teori Gelombang

Dalam perhitungan beban gelombang, maka teori gelombang yang digunakan disesuaikan dengan grafik *validitas* teori gelombang. *Validitas* teori gelombang ini dikembangkan oleh

R. G. Dean (1968) dan B. Le Mehaute (1970) (Chakrabarti, 1987) seperti terlihat pada Gambar 2.3.



Gambar 2.3. Grafik Region of Validity (sumber : API RP 2A WSD, 1993)

Diagram ini membagi daerah yang berlaku bagi masing-masing teori gelombang berdasarkan perbandingan H/gT^2 sebagai ordinat dan d/gT^2 sebagai absis. Penentuan teori gelombang ini berdasarkan pada data lingkungan struktur tersebut diinstalasi, seperti tinggi gelombang H (ft), kedalaman d (ft) dan periode gelombang T (detik). Teori gelombang yang sering dipakai dalam analisa struktur *jacket* ialah teori gelombang linier airy dan teori gelombang non-linier stokes orde 5.

2.2.5.1 Teori Gelombang Stokes Orde 5

Teori stokes orde 5 ini ditemukan oleh Skjelbreia (1959) dan Wiegel (1964) yang digunakan dalam analisis keakuratan pada kecuraman gelombang H/λ . Teori ini kemudian dikembangkan oleh Skjelbreia dan Hendrickson (1961). Persamaan kecepatan partikel air berawal dari persamaan berikut:

$$u = \frac{\partial \phi}{\partial x} \quad (2.3)$$

$$w = \frac{\partial \phi}{\partial z} = \frac{\partial \phi}{\partial s} \quad (2.4)$$

Dari persamaan di atas, didapat persamaan kecepatan partikel air seperti di bawah ini:

$$u = C \sum_{n=1}^5 nF_n \cos n\theta \cosh nks \quad (2.5)$$

$$w = C \sum_{n=1}^5 nF_n \sin n\theta \sinh nks \quad (2.6)$$

Dari persamaan kecepatan di atas didapat diferensial berupa percepatan partikel air laut sebagai berikut:

$$\frac{\partial u}{\partial t} = kc^2 \sum_{n=1}^5 n^2 F_n \sin n\theta \cosh nks \quad (2.7)$$

$$\frac{\partial w}{\partial t} = kc^2 \sum_{n=1}^5 n^2 F_n \cos n\theta \sinh nks \quad (2.8)$$

Persamaan profil gelombang (η) pada *Still Water Level* (SWL) adalah:

$$\eta = \frac{1}{k} \sum_{n=1}^5 nF_n \cos(kx - \omega t) \quad (2.9)$$

Kecepatan potensial partikel gelombang dirumuskan sebagai berikut:

$$\Phi = \frac{c}{k} \sum_{n=1}^5 \lambda_n \cosh(nks) \sin n\Theta \quad (2.10)$$

Tinggi gelombang untuk stoke's sebagai berikut :

$$H = \frac{2}{k} [\lambda + B_{33}\lambda^3 + (B_{35} + B_{55})\lambda^5] \quad (2.11)$$

2.2.5.2 Gaya Gelombang pada Silinder Tegak

Sarpkaya (1981) telah memberikan garis besar dalam menganalisa gaya gelombang pada suatu struktur. Untuk menghitung gaya gelombang dibutuhkan model dari kondisi gelombang yang didapat dari pencatatan data gelombang, arus dan angin dari lokasi yang direncanakan.

Gaya gelombang yang bekerja pada silinder tegak merupakan penjumlahan langsung dari gaya inersia dan gaya drag. Sedangkan gaya inersia merupakan penjumlahan antara gaya *froude-krylov* dengan gaya yang disebabkan oleh massa tambah. Dalam perhitungan gaya gelombang bangunan lepas pantai maka persamaan Morrison sering dipakai (Chakrabarti,

1987). Untuk dapat memakai rumusan Morrison ini maka perlu lebih dahulu mengetahui batasan-batasan yang digunakan oleh Morrison dalam menghitung gaya yang ditimbulkan oleh gelombang. Secara lengkap syarat – syarat yang dimaksud adalah sebagai berikut:

- $D/\lambda > 1$; pada kondisi ini gelombang mendekati pemantulan murni
- $D/\lambda > 0.2$; pertambahan gaya gelombang oleh difraksi gelombang perlu diperhatikan
- $D/\lambda < 0.2$; penggunaan rumus *Morrison* adalah valid

Persamaan yang diberikan oleh Morrison untuk perhitungan beban gelombang, yaitu:

$$f_w = f_d + f_i$$

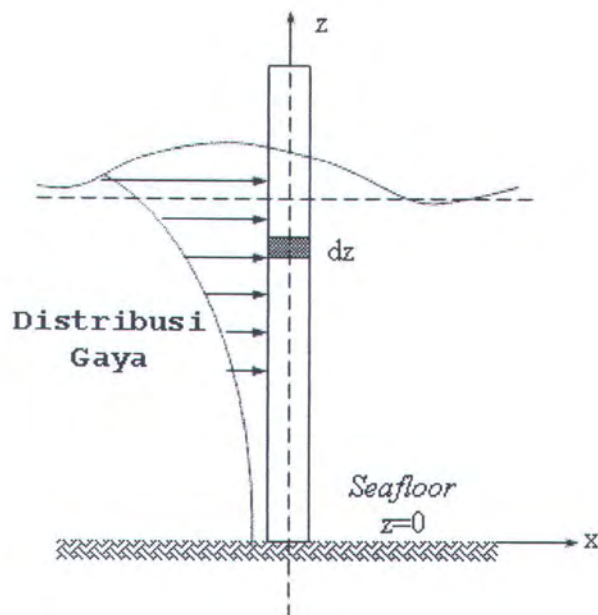
$$F_w = \int_0^z \left(\frac{1}{2} \cdot \rho \cdot C_d \cdot D \cdot u |u| + \frac{1}{4} \cdot \pi \cdot D^2 \cdot \rho \cdot C_m \cdot a_x \right) dz \quad (2.12)$$

dimana :

- f_w = gaya gelombang per unit panjang
- f_d = gaya *drag* per unit panjang
- f_i = gaya inersia per unit panjang
- D = diameter luar *member Chord*
- C_d = koefisien *drag* untuk *Chord*
- C_m = koefisien inersia untuk *Chord*
- ρ = massa jenis air laut
- u = kecepatan horisontal partikel air laut
- a_x = percepatan horizontal partikel air laut

Untuk me-linear-kan suku $u |u|$ pada persamaan Gaya *Drag* memakai formulasi sebagai berikut :

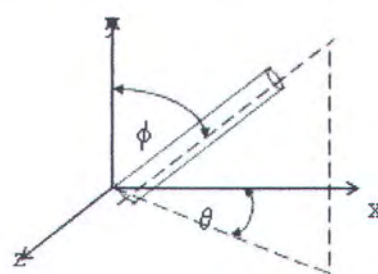
$$u |u| = \frac{8}{3 \cdot \pi} \cdot u^2 \quad (2.13)$$



Gambar 2.4. Gaya gelombang pada Silinder Tegak (Dawson, T.H., 1976)

2.2.5.3 Gaya Gelombang pada Silinder Miring

Untuk perhitungan beban gelombang pada *brace* baik *horizontal* maupun *diagonal brace* digunakan rumus Morrison yang telah dimodifikasi (*Chakrabarty et.al, 1975*) untuk menghitung gaya gelombang pada silinder miring dengan arah sembarang. Dalam rumusan ini kecepatan dan percepatan diuraikan menjadi dua (2) komponen, yaitu normal dan tangensial terhadap sumbu aksis lokal silinder, tetapi dalam aplikasinya hanya komponen normal saja yang digunakan untuk menghitung besarnya gaya gelombang.



Gambar 2.5. Orientasi Arah Gaya Gelombang pada Silinder Miring (Dawson, T.H., 1976)

Silinder akan dilalui oleh partikel air yang mempunyai kecepatan horizontal u dan kecepatan vertikal v , percepatan horizontal a_x , dan percepatan vertikal a_y . Dengan menggunakan transformasi sumbu koordinat dapat ditentukan arah silinder terhadap

masing-masing sumbu koordinat. Harga dari komponen-komponen normal (∇) terhadap silinder aksis adalah :

$$\nabla = \left[u^2 + v^2 - (c_x u + c_y v)^2 \right]^{\frac{1}{2}} \quad (2.14)$$

Komponen kecepatan normal yang searah dengan sumbu x, t, dan z berturut-turut adalah :

$$\begin{aligned} u_n &= u - c_x (c_x u + c_y v) \\ v_n &= v - c_y (c_x u + c_y v) \\ w_n &= -c_z (c_x u + c_y v) \end{aligned} \quad (2.15)$$

dimana :

$$\begin{aligned} c_x &= \sin \phi \cdot \cos \theta \\ c_y &= \cos \theta \\ c_z &= \sin \phi \cdot \sin \theta \end{aligned} \quad (2.16)$$

Komponen percepatan normal dalam arah x, y, dan z diberikan sebagai berikut :

$$\begin{aligned} a_{nx} &= a_x - c_x (c_x a_x + c_y a_y) \\ a_{ny} &= a_y - c_y (c_x a_x + c_y a_y) \\ a_{nz} &= -c_z (c_x a_x + c_y a_y) \end{aligned} \quad (2.17)$$

Dengan demikian rumusan Morrison untuk gaya per satuan panjang untuk masing-masing sumbu menjadi :

$$\begin{aligned} \partial F_x &= \frac{1}{2} \cdot \rho \cdot Cd \cdot D \cdot \nabla \cdot u_n + \frac{1}{4} \cdot \rho \cdot \pi \cdot D^2 \cdot Cm \cdot a_{nx} \\ \partial F_y &= \frac{1}{2} \cdot \rho \cdot Cd \cdot D \cdot \nabla \cdot v_n + \frac{1}{4} \cdot \rho \cdot \pi \cdot D^2 \cdot Cm \cdot a_{ny} \\ \partial F_z &= \frac{1}{2} \cdot \rho \cdot Cd \cdot D \cdot \nabla \cdot w_n + \frac{1}{4} \cdot \rho \cdot \pi \cdot D^2 \cdot Cm \cdot a_z \end{aligned} \quad (2.18)$$

Gaya yang bekerja sepanjang pipa diperoleh dengan jalan mengintegralkan gaya per satuan panjang pada persamaan di atas sepanjang pipa silinder, menjadi :

$$\begin{aligned} F_x &= \int \partial F_x ds \\ F_y &= \int \partial F_y ds \\ F_z &= \int \partial F_z ds \end{aligned} \quad (2.19)$$

Pada akhirnya didapatkan bahwa gaya total yang bekerja pada silinder adalah :

$$F = \left(F_x^2 + F_y^2 + F_z^2 \right)^{\frac{1}{2}} \quad (2.20)$$

2.2.6 Teori Pemodelan Struktur

2.2.6.1 Pemodelan Secara Umum

Model suatu struktur merupakan kunci utama dalam suatu analisis, tanpa adanya model tidak akan terjadi proses suatu analisis. Model bisa berupa fisik, matematis, dan grafik. Model dapat digunakan untuk menerangkan desain atau rancangan. Model harus mampu mendemonstrasikan *suitability, workability dan constructability* dari konsep. Model dapat diklasifikasikan menjadi dua kategori utama yaitu *display model* dan *engineering model*. Dalam tugas akhir ini akan menggunakan model matematis sebagai dasar analisis. Model matematis merupakan suatu model yang dapat mendeskripsikan dimensi dan karakteristik dari prototipe kedalam formulasi matematis.

Model harus bisa memenuhi prinsip kesamaan yang mencakup (Chakrabarti S.K.,1994):

1. Kesamaan Geometrik

Kesamaan geometrik dapat dipenuhi apabila model dan prototipe memiliki kesamaan geometrik baik ukuran maupun bentuk. Ada dua macam prinsip kesamaan geometrik:

- Kesamaan geometrik sempurna (*Undistorted*)
- Kesamaan geometrik terdistorsi (*distorted*)

Pada *undistorted model*, skala panjang dan lebar (horisontal) serta skala tinggi (vertikal) adalah sama. Untuk *distorted model*, skala ke arah horisontal dan ke arah vertikal tidak sama. Apabila dimungkinkan model dibuat dengan tanpa distorsi, sedangkan pada permasalahan khusus model dapat dilakukan dengan distorsi namun harus memenuhi beberapa persyaratan tertentu.

2. Kesamaan Kinematis

Sebangun kinematik terjadi antara prototipe dan model jika prototipe dan model sebangun geometrik dan perbandingan kecepatan dan percepatan di dua titik yang bersangkutan pada prototipe dan model pada arah yang sama adalah sama besar.

3. Kesamaan Dinamis

Jika prototipe dan model sebangun geometrik dan kinematik, serta perbandingan gaya-gaya yang bersangkutan pada model dan prototipe untuk seluruh aliran pada arah yang sama adalah sama besar, maka dapat dikatakan bahwa keduanya sebangun dinamik.

2.2.6.2 Pemodelan Struktur Jacket

Dalam pemodelan struktur anjungan lepas pantai dapat dilakukan dengan dua pendekatan, yakni : pemodelan global atau *stick model* dan pemodelan struktur lokal atau *detailed model*.

Stick model merupakan pemodelan struktur dengan pendekatan *lumped mass method* atau *discret element method* dengan menerapkan prinsip *equivalent model* dengan kondisi struktur sebenarnya. Metode ini merupakan penyederhanaan struktur dalam bentuk struktur global untuk menangkap respons struktur berupa gaya tumpuan dan perpindahan, sehingga pemodelan ini dapat dilakukan dengan cepat dan tanpa menuntut tersedianya fasilitas komputer yang cukup canggih.

Detailed model menggunakan pendekatan metode elemen hingga atau *finite element method* yang merupakan suatu metode pemodelan dan analisa struktur yang lebih kompleks dan detail. Model dari *jacket* digambarkan dalam bentuk 3 dimensi yang terdiri dari *chord* dan *brace*. Metode ini menjadikan bentuk fisik model struktur sebagai suatu sistem linier yang berkesinambungan dengan jalan membagi bentuk fisik struktur menjadi kelompok elemen yang lebih kecil. Elemen – elemen ini dihubungkan dengan simpul – simpul (*nodes*) sehingga menjadi suatu sistem yang kontinyu. Sebagai acuan perhitungan dalam metode elemen hingga biasanya adalah *displacement method*, yaitu perpindahan dari dari simpul – simpul yang dianalisa dinyatakan sebagai parameter yang belum diketahui.

Model juga harus memenuhi kriteria yang meliputi (Murdjito,1997) :

- Model harus mampu memberikan hasil respon yang andal sehubungan dengan parameter-parameter perancangan, seperti perpindahan horizontal geladak, kelenturan kaki dan lain-lain.

- Model harus mampu memberikan gambaran yang jelas tentang peranan parameter-parameter perancangannya, baik untuk sistem yang linier maupun sistem yang tidak linier.
- Model harus fleksibel terhadap berbagai jenis analisis.

2.2.7 Konsep Tegangan

Bila suatu struktur mengalami pembebanan, maka pada elemen-elemen pembentuk struktur tersebut selain akan terjadi lendutan juga akan timbul tegangan. Tegangan menyatakan aksi terbesar yang terjadi secara internal antara elemen-elemen yang berdekatan dengan struktur. Analisis tegangan dengan metode statis ini berdasarkan hukum Hooke yang menganggap bahan bersifat elastis linier, sehingga prinsip superposisi bisa digunakan untuk menggabungkan tegangan akibat berbagai sistem pembebanan. (Popov, 1993)

2.2.7.1 Tegangan Normal / Aksial (axial stress)

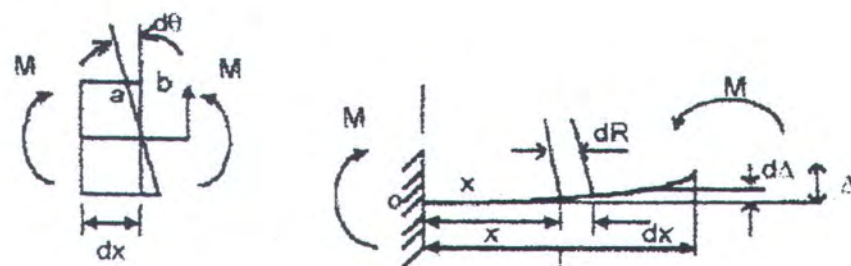
Pada Gambar 2.6 batang mengalami pembebanan aksial akibat gaya tarik P . Akibat gaya ini, batang akan mengalami tegangan aksial sebesar :

$$F = \frac{P}{A} \quad \text{dengan, } A = \text{luas penampang lintang} \quad (2.21)$$



Gambar 2.6 Pembebanan aksial pada batang tubular (Popov, 1993)

Selain akibat gaya aksial, tegangan aksial dapat diakibatkan juga oleh momen lentur murni akibat kopel M yang terjadi disetiap ujungnya (Gambar 2.7). Tegangan yang terjadi akibat momen ini dikenal sebagai *bending stress* atau tegangan lentur.



Gambar 2.7 Pembebanan momen kopel pada batang tubular (Popov, 1993)

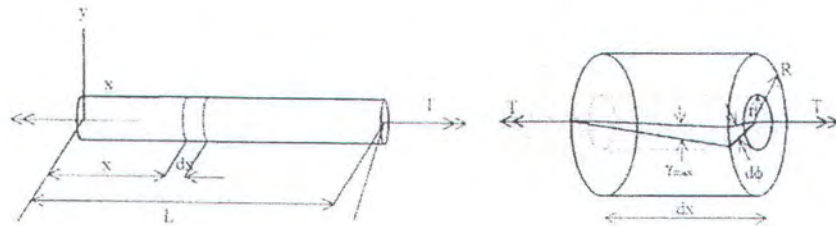
dimana :

y = jarak dari sumbu netral ke sembarang titik A pada penampang

I_z = momen inersia bidang penampang melintang terhadap sumbu z

2.2.7.2 Tegangan Geser

Batang penampang bulat juga akan mengalami tegangan geser walau besarnya tidak begitu berarti. Penyebab paling besar terjadinya tegangan geser pada elemen penampang bulat seperti pada kaki struktur *jacket* adalah momen puntiran aksial. Pada Gambar 2.8 tampak batang mengalami pembebanan puntiran T pada kedua ujungnya.



Gambar 2.8 Gaya puntiran pada batang silinder (Popov, 1993)

Tegangan maksimum yang akan terjadi pada permukaan luar batang dapat dihitung dengan rumus :

$$\sigma = \frac{T \cdot R}{J} \quad (2.22)$$

dimana : J = momen inersia kutub

T = momen torsional terkonsentrasi

R = jari-jari penampang batang

$$\text{Nilai } J : \quad J = \frac{\pi}{2} (R_0^4 - R_1^4) \quad \text{untuk circular ring} \quad (2.23)$$

$$J = \frac{\pi}{2} R^4 \quad \text{untuk round bar} \quad (2.24)$$

Tegangan geser yang bekerja pada penampang melintang lingkaran selalu berarah tegak lurus jari-jari dan mempunyai arah yang sama dengan momen puntir.

2.2.7.3 Tegangan untuk member silinder (API RP2A - LRFD,1993) :

- Tegangan tarik (*axial tension*)

$$f_t \leq \phi_t F_y \quad (2.25)$$

dimana :

- F_y = kekuatan nominal *yield*
 f_t = tegangan tarik aksial
 ϕ_t = faktor tahanan untuk kekuatan tarik, 0.95

➤ Tegangan tekan (*axial compression*)

$$f_c \leq \phi_c F_{cn} \quad (2.26)$$

dimana :

- F_{cn} = kekuatan nominal tekan aksial
 f_c = tegangan tekan aksial
 ϕ_c = faktor tahanan untuk kekuatan tekan aksial, 0.85

(1) *Column buckling*

$$F_{cn} = [1.0 - 0.25 \lambda^2] F_y \quad \text{untuk } \lambda < \sqrt{2} \quad (2.27)$$

$$F_{cn} = \frac{1}{\lambda^2} F_y \quad \text{untuk } \lambda \geq \sqrt{2}$$

$$\lambda = \frac{KL}{\pi r} \left[\frac{F_y}{E} \right]^{0.5}$$

dimana :

- λ = parameter kerampingan kolom
 E = modulus Young
 K = faktor panjang efektif
 L = panjang *unbraced*
 R = jari-jari girasi



(2) *Local buckling*

a. *Elastic local buckling stress*

$$F_{xe} = 2 C_x E (t/D) \quad (2.28)$$

dimana :

- F_{xe} = kekuatan nominal lokal *elastic buckling*
 C_x = koefisien elastis kritis bukling

- D = diameter luar
 t = ketebalan dinding
 x = sumbu longitudinal pada member

b. Inelastic local buckling stress

$$\begin{aligned}
 F_{xc} &= F_y && \text{untuk } \frac{D}{t} \leq 60 \\
 F_{xc} &= \left[1.64 - 0.23 \left(\frac{D}{t} \right)^{1/4} \right] F_y && \text{untuk } \frac{D}{t} > 60
 \end{aligned} \tag{2.29}$$

dimana :

F_{xc} = kekuatan nominal lokal *inelastic buckling*

➤ Tegangan tekuk (*bending*)

$$f_b \leq \phi_b F_{bn} \tag{2.30}$$

dimana:

- f_b = M/S, tegangan *bending* akibat faktor beban. $M \leq M_p$;
 ketika $M > M_y$, f_b ekuivalen dengan tegangan elastis *bending*
 S = modulus elastis
 M = momen *bending*
 M_p = momen plastis
 M_y = momen elastis *yield*
 ϕ_b = faktor tahanan untuk kekuatan *bending*, 0.95
 F_{bn} = kekuatan nominal *bending*

$$\begin{aligned}
 F_{bn} &= (Z/S) F_y && \text{untuk } D/t \leq 10340/F_y \text{ (F}_y \text{ dalam Mpa)} \\
 &&& \text{untuk } D/t \leq 1500/F_y \text{ (F}_y \text{ dalam ksi)}
 \end{aligned} \tag{2.31}$$

$$\begin{aligned}
 F_{bn} &= [1.13 - 2.58 (F_y D/E t)] (Z/S) F_y \\
 &\text{untuk } 10340/F_y < D/t \leq 20680/F_y \text{ (F}_y \text{ dalam Mpa)} \\
 &\text{untuk } 1500/F_y < D/t \leq 3000/F_y \text{ (F}_y \text{ dalam ksi)}
 \end{aligned}$$

$$F_{bn} = [0.94 - 0.76(F_y D / Et)] (Z/S) F_y$$

untuk $20680/F_y < D/t \leq 300$ (F_y dalam Mpa)

untuk $3000/F_y < D/t \leq 300$ (F_y dalam ksi)

dimana :

Z = modulus plastis

➤ Tegangan geser

$$f_v \leq \phi_v F_{vn} \quad (2.32)$$

$$f_v = \frac{2V}{A} \quad (2.33)$$

dimana :

F_{vn} = kekuatan nominal geser, $F_y/\sqrt{3}$

f_v = maksimum tegangan geser

V = gaya geser *beam*

A = luasan bagian melintang

ϕ_v = faktor tahanan untuk kekuatan geser, 0.95

➤ Tegangan geser torsi

$$f_{vt} \leq \phi_v F_{vtn} \quad (2.34)$$

$$f_{vt} = \frac{M_{vt} D}{2I_p} \quad (2.35)$$

dimana :

f_{vt} = tegangan geser torsi

F_{vtn} = kekutan nominal torsi $F_y/\sqrt{3}$

M_{vt} = momen torsi

I_p = momen inersia polar

2.2.8 Mekanisme Keruntuhan

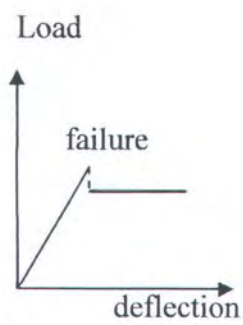
Berbagai moda kegagalan dalam struktur tergantung pada konfigurasi bentuk dan material member, kondisi pembebanan, dan lain-lain. Untuk menilai keandalan struktur, moda kegagalan dan batas keamanan harus diberikan. Perhitungan batas keamanan untuk struktur *frame* yang terkena beban kombinasi dengan pertimbangan (Murotsu dan Christensen, 1986) :

1. Member adalah homogen dan hanya beban terpusat yang bekerja. Pada struktur frame seperti itu, bagian kritis dimana *plastic hinge* terbentuk, terdapat pada *joint* dan tempat dimana beban terpusat bekerja. Karena itu bagian yang potensial terjadi *plastic hinge* dianggap sebagai ujung member sebagai sarana analisa struktur.
2. Luluh sebagian terjadi jika fungsi *yield* sama dengan nol ($F_k = 0$). Fungsi *yield* ditentukan oleh dimensi dan tegangan luluh pada member.
3. Perlakuan secara mekanik dari material adalah *elasto-plastic* atau *elasto brittle*, dimana bagian *plastic hinge* mengikuti teori deformasi plastis.

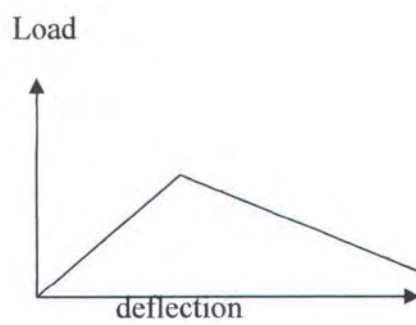
Setiap elemen struktur memiliki beberapa moda kegagalan. Sebuah *beam* dapat mengalami gagal *buckling* atau *bending*. Hal ini dipengaruhi oleh karakteristik material apakah *brittle* atau *ductile*.

Kegagalan elemen juga dapat terjadi pada *tubular joint*. Umumnya moda keruntuhan pada *tubular joint* adalah *buckling* pada percabangan, pada *chord* atau kelelahan pada las-lasan. Dua tipe kegagalan elemen adalah *perfectly brittle failure element* dan *perfectly ductile failure element*. *Perfectly brittle failure element* terjadi bila elemen tidak efektif setelah mengalami kegagalan dan tidak memiliki daya tahan pembebanan yang mengakibatkan keruntuhan. Jika kegagalan elemen dipertahankan oleh daya dukung elemen setelah mengalami kegagalan, disebut *perfectly ductile failure element*.

Namun dua tipe utama kegagalan diatas belum dapat menggambarkan perilaku semua jenis material. Ada beberapa moda kegagalan yang mungkin terjadi, yaitu *semi brittle single step linearized* dan *semi ductile post failure behavior* seperti terlihat pada Gambar 2.9. (Rosyid,D.M, 1992).



(a) semi brittle single step linearized



(b) Semi ductile post failure behavior

Gambar 2.9 Moda kegagalan elemen. (Rosyid,D.M, 1992).

Kapasitas kekuatan penahan diberikan dengan parameter γ , dimana $0 < \gamma < 1$. Untuk $\gamma = 0$ menyatakan perilaku *brittle*, dan untuk $\gamma = 1$ menyatakan perilaku *ductile*.

2.2.9 Lendutan Pada Struktur Jacket dengan FEM

Penyelesaian suatu permasalahan dalam bidang rekayasa umumnya menghasilkan ekspresi/model matematik yang melibatkan kondisi batas (*boundary condition*), sifat material, ketidaklinieran dan sebagainya, sehingga jarang sekali model matematis untuk masalah-masalah teknik yang bisa diselesaikan secara analitis. Keadaan inilah yang memaksa *engineer* menggunakan analisa numerik yang kendatipun hasilnya hanya bersifat pendekatan tetapi dianggap cukup dapat diterima. Perhitungan lendutan dan tegangan di sepanjang elemen *space-frame* adalah salah satu masalah teknik yang cukup populer dalam bidang rekayasa lepas pantai.

Pendekatan-pendekatan numerik ini, berdasarkan sifatnya selalu menggunakan informasi-informasi pada *joint*. Proses penentuan *joint* ini disebut *discretization*. Salah satu caranya adalah dengan membagi suatu sistem menjadi bagian-bagian atau elemen-elemen yang lebih kecil. Pemecahan masalah kemudian dilakukan pada elemen-elemen kecil ini, yang selanjutnya digabungkan kembali sehingga didapatkan pemecahan masalah secara keseluruhan. Metode ini dikenal dengan *finite element method* atau metode elemen hingga. Pada prinsipnya metode elemen hingga memperlakukan suatu sistem sebagai gabungan dari elemen-elemen kecil yang digabungkan satu sama lain oleh titik-titik yang disebut *joint/node*.

Fungsi yang sederhana umumnya dipilih untuk mendekati distribusi atau variasi lendutan yang sesungguhnya pada tiap elemen tersebut. Fungsi yang harus memenuhi syarat-syarat tertentu itu disebut dengan *displacement function* atau *displacement model*. Hasil yang diinginkan seperti besar lendutan, dihitung pada *joint*, sehingga hasil akhir yang diperoleh adalah harga pendekatan dari lendutan pada lokasi-lokasi diskrit dari sistem yang diselidiki, yaitu pada *nodes-point*-nya tersebut.

Struktur *jacket* yang terdiri dari *chord* dan *brace* adalah suatu sistem yang terdiri dari banyak elemen *space-frame*. Elemen *space frame* sebenarnya adalah gabungan dari dua macam elemen, yaitu elemen *truss* dan *beam* dalam koordinat global tiga dimensi. Pengasumsian ini didasarkan pada pembebanan dan lendutan yang akan terjadi pada elemen *space frame* tersebut.

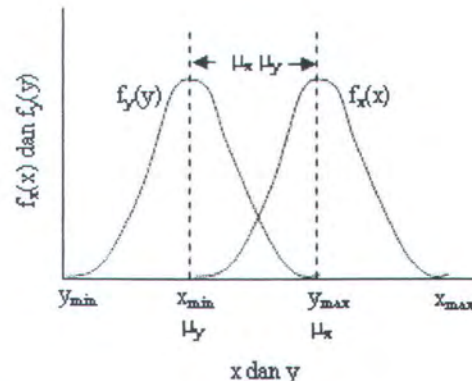
Elemen *truss* adalah elemen yang akan mengalami pembebanan dan lendutan pada arah aksial (pada arah sumbu elemen) sedang elemen *beam* akan mengalami pembebanan, lendutan dan momen ke arah lateral. Elemen *chord* dan *brace* pada struktur *jacket* akan mengalami pembebanan dari segala arah (aksial dan lateral) dalam ruang sehingga elemen *chord* dan *brace* tersebut akan mengalami lendutan dan momen ke segala arah pula. Jadi pendekatan model elemen yang paling baik untuk elemen *chord* dan *brace* ini adalah gabungan antara elemen *truss* dan *beam* dalam koordinat global tiga dimensi atau *space frame*.

2.2.10 Keandalan Pada Sistem Rekayasa.

Sistem dari keandalan pada dasarnya dapat ditunjukkan sebagai problematika antara Demand (tuntutan atau beban) dan Capacity (kapasitas atau kekuatan). Secara tradisional didasarkan atas *safety factor* (angka keamanan) yang diperkenankan. Ukuran konvensional untuk angka keamanan adalah perbandingan antara asumsi nilai nominal kapasitas, X^* , dan beban, Y^* , yang dirumuskan sebagai berikut:

$$Z^* = \frac{X^*}{Y^*} \quad (2.36)$$

Mengingat nilai nominal dari kapasitas, X^* dan beban, Y^* tidak dapat ditentukan dengan pasti, fungsi-fungsi kapasitas dan beban perlu dinyatakan sebagai peluang sebagimana ditunjukkan pada Gambar 2.10. Dengan demikian, angka keamanan dinyatakan dengan perbandingan $Z = X/Y$ dari dua variabel acak X dan Y.



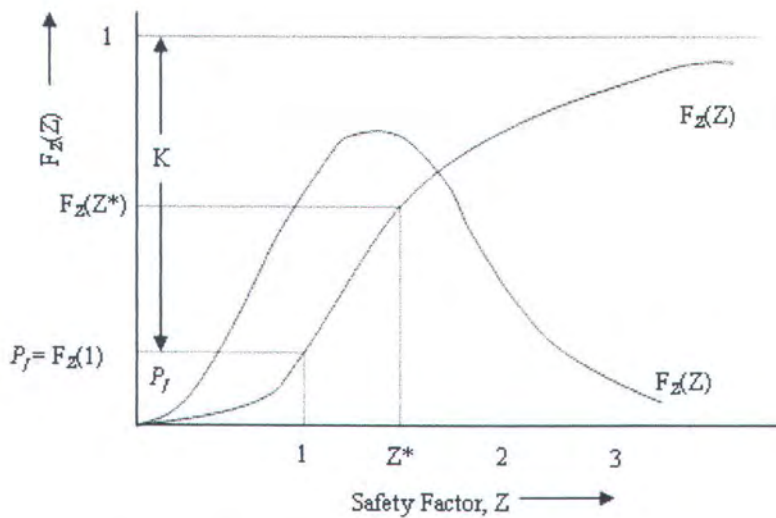
Gambar 2.10 Fungsi kerapatan peluang (fkp) dari kapasitas X dan tuntutan Y

Ketidakmampuan suatu sistem untuk memenuhi tuntutan dan tugasnya, yang diukur dengan peluang kegagalan, dapat dihubungkan dengan bagian dari distribusi angka keamanan yang nilainya kurang dari satu, yaitu porsi dalam dimana $Z = X/Y \leq 1$ (lihat Gambar 2.11). Peluang kegagalan sistem, P_f diberikan dengan persamaan:

$$P_f = P[Z \leq 1] = F_z(1) \quad (2.37)$$

Dimana F_z adalah fungsi distribusi komulatif dari Z. dengan pernyataan lain, peluang sistem untuk tidak gagal (keandalan) adalah:

$$K = 1 - P_f = P[Z > 1] = 1 - F_z(1) \quad (2.38)$$



Gambar 2.11 Fungsi distribusi komulatif dan fungsi kerapatan peluang pada angka keamanan $Z = X/Y$

Ketika distribusi peluang bersama (joint probability distribution) dan X dan Y diketahui, keandalan sebuah sistem dapat dihitung berdasarkan fungsi distribusi komulatif dari X/Y . Peluang kegagalan nol ($P_f = 0$) dan keandalan 100 ($K = 1$) hanya terjadi ketika tuntutan maksimum Y_{\max} tidak melewati kapasitas minimum X_{\min} , sehingga kedua distribusi tidak saling overlap.

▪ **Safety Margin (Margin Keamanan)**

Jika demand maksimum Y_{\max} melampaui kapasitas maksimum X_{\min} , distribusi keduanya akan mengalami overlap dan probabilitas kegagalan tidak lagi bernilai nol. Untuk menilai probabilitas, dapat diambil perbedaan diantara kapasitas dan beban, yang biasanya disebut dengan margin keamanan atau safety margin, S :

$$S = X - Y \quad (2.39)$$

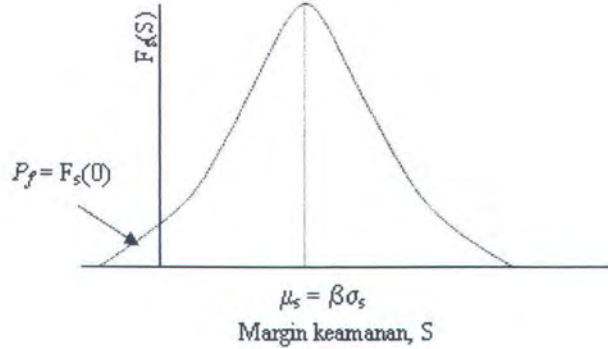
Oleh karena nilai X dan Y adalah acak, margin keamanan juga merupakan perubah acak sebagaimana dipresentasikan pada Gambar 2.12

Ketidakmampuan suatu sistem untuk memenuhi tuntutannya, yang diukur dengan peluang kegagalan P_f , dapat diperkirakan menggunakan fungsi kerapatan peluang dari margin keselamatan, yaitu pada bagian dimana S bernilai negatif, atau $S = X - Y \leq 0$. Sehingga dapat dituliskan:

$$P_f = P[(X - Y) \leq 0] = P[S \leq 0] \quad (2.40)$$

dan sebaliknya, keandalannya adalah

$$K = 1 - P_f = P[(X - Y) > 0] = P[S > 0] \quad (2.41)$$



Gambar 2.12 fkp untuk batas margin S

■ Indeks Keandalan

Cara lain untuk mengukur keandalan adalah dengan cara menggunakan indeks keandalan β , yang didefinisikan sebagai perbandingan antara nilai rata-rata dan nilai simpangan baku dari margin keselamatan, S, yaitu:

$$\beta = \frac{\mu_s}{\sigma_s} \quad (2.42)$$

Jika menggunakan nilai kristis margin keselamatan, $S = 0$, dan jaraknya dengan nilai rata-rata margin keamanan μ_s , maka indeks keandalan ini dapat diinterpretasikan sebagai jumlah kelipatan simpangan baku σ_s pada jarak ini. Artinya, jarak antara $S = 0$ dengan μ_s ini dapat dibagi menjadi beberapa simpangan baku. Semakin panjangnya, relatif terhadap simpangan baku, maka semakin besar indeks keandalannya. Selanjutnya, indeks keandalan juga berbanding terbalik dengan koefisien variasi margin keselamatan, atau dapat dituliskan $\beta = 1/V_s$.

Untuk menghasilkan ekspresi yang lebih umum atas indeks keandalan, dapat digunakan persamaan yang secara sepantasnya dibahas pada bagian sebelumnya. Mengingat $\mu_s = \mu_x - \mu_y$, dan $\sigma^2_s = \sigma^2_x - 2\rho_{xy}\sigma_x\sigma_y + \sigma^2_y$, maka:

$$\beta = \frac{\mu_X - \mu_Y}{\sqrt{\sigma_X^2 - 2\rho_{XY}\sigma_X\sigma_Y + \sigma_Y^2}} \quad (2.43)$$

Dimana ρ_{XY} adalah koefisien korelasi diantara kapasitas dan beban. Oleh karena itu, indeks keandalan adalah maksimum jika $\rho_{XY} = +1$ dan minimum jika $\rho_{XY} = -1$. Untuk X dan Y terdistribusi normal, maka peluang kegagalan adalah:

$$P_f = 1 - \Phi(\beta) \quad (2.44)$$

dan $K = \Phi(\beta)$

2.2.11 Advanced First Orde Second Moment (AFOSM)

Beban dan ketahanan diasumsikan sebagai variabel acak serta beberapa informasi statistik diperlukan untuk menentukan distribusi peluang yang akan digunakan. Model matematis yang diturunkan dari veribel ketahanan dan beban untuk kondisi batas diberikan :

$$g(X_1, X_2, \dots, X_n) = 0 \quad (2.45)$$

dengan X_i = variabel ketahanan atau beban (mewakili R dan Q). Kegagalan dapat terjadi ketika $g < 0$ untuk kondisi batas ultimate ataupun pada kondisi operasi.

Dalam penggunaan metode AFOSM, variabel X_i ditranformasikan dengan mengurangkan variabel yang ada dengan *zero mean* dan varians melalui persamaan :

$$X_i = (X_i - \mu_{xi})/\sigma_{xi} \quad (2.46)$$

Indeks keandalan pada struktur (β) didefinisikan sebagai jarak terpendek antara permukaan, $g=0$ dan titik asal. Titik-titik $(X_1^*, X_2^*, \dots, X_n^*)$ pada $g=0$ merupakan jarak terpendek dengan titik asal yang sering disebut sebagai titik desain yang ditentukan dengan menyelesaikan persamaan berikut ini :

$$\alpha = \frac{\partial g_1 / \partial X_i}{[\sum (\partial g_i / \partial X_i)^2]^{1/2}} \quad (2.47)$$

$$X_i^* = -\alpha_i \beta \quad (2.48)$$

Titik-titik ($X_1^*, X_2^*, \dots, X_n^*$) berada diatas rentang distribusi peluang untuk parameter beban dan berada di bawah rentang distribusi peluang untuk variabel ketahanan. Jika perlu, faktor beban dan ketahanan γ_i untuk desai ditentukan dengan :

$$\gamma_i = X_i^*/X_{n,i} \quad (2.49)$$

dimana $X_{n,i}$ adalah parameter desain beban dan ketahanan sesuai spesifikasi pada standar perancangan. Kejadian ini kemungkinan berupa rata-rata kejadian selama N tahun, rata-rata pembebanan maksimum selama T tahun dan variabel-variabel yang lain.

Ambang keselamatan untuk rekayasa keandalan pada struktur didefinisikan sebagai :

$$M = R - L \quad (2.50)$$

dimana:

R = faktor ketahanan (*resistance atau strength factor*)

L = faktor beban (*load factor*)

Sedangkan definisi ambang keselamatan terhadap kelelahan dengan menggunakan faktor kerusakan (D) yang diturunkan melalui distribusi Weibull adalah sebagai berikut :

$$M_F = \Delta - D \quad (2.51)$$

2.2.12 Kekuatan Sisa Struktur

- *Reserve Strength Ratio*

Adalah perbandingan Antara *Base Shear* pada saat struktur *collapse* dengan *Base Shear* pada desain awal. Dengan Keadaan Struktur tidak mempunyai sejarah kerusakan.

$$RSR = \frac{BS_{ult_undamage}}{BS_{desain}} \quad (2.52)$$

- *Damage Strength Ratio*

Adalah perbandingan Antara *Base Shear* pada saat struktur *collapse* dengan *Base Shear* pada desain awal. Dengan keadaan struktur Sudah ada kerusakan pada bagian membernya.

$$DSR = \frac{BS_{ult_damage}}{BS_{desain}} \quad (2.53)$$



BAB III

METODOLOGI PENELITIAN

BAB III

METODOLOGI PENELITIAN

3.1 Pemodelan secara Umum

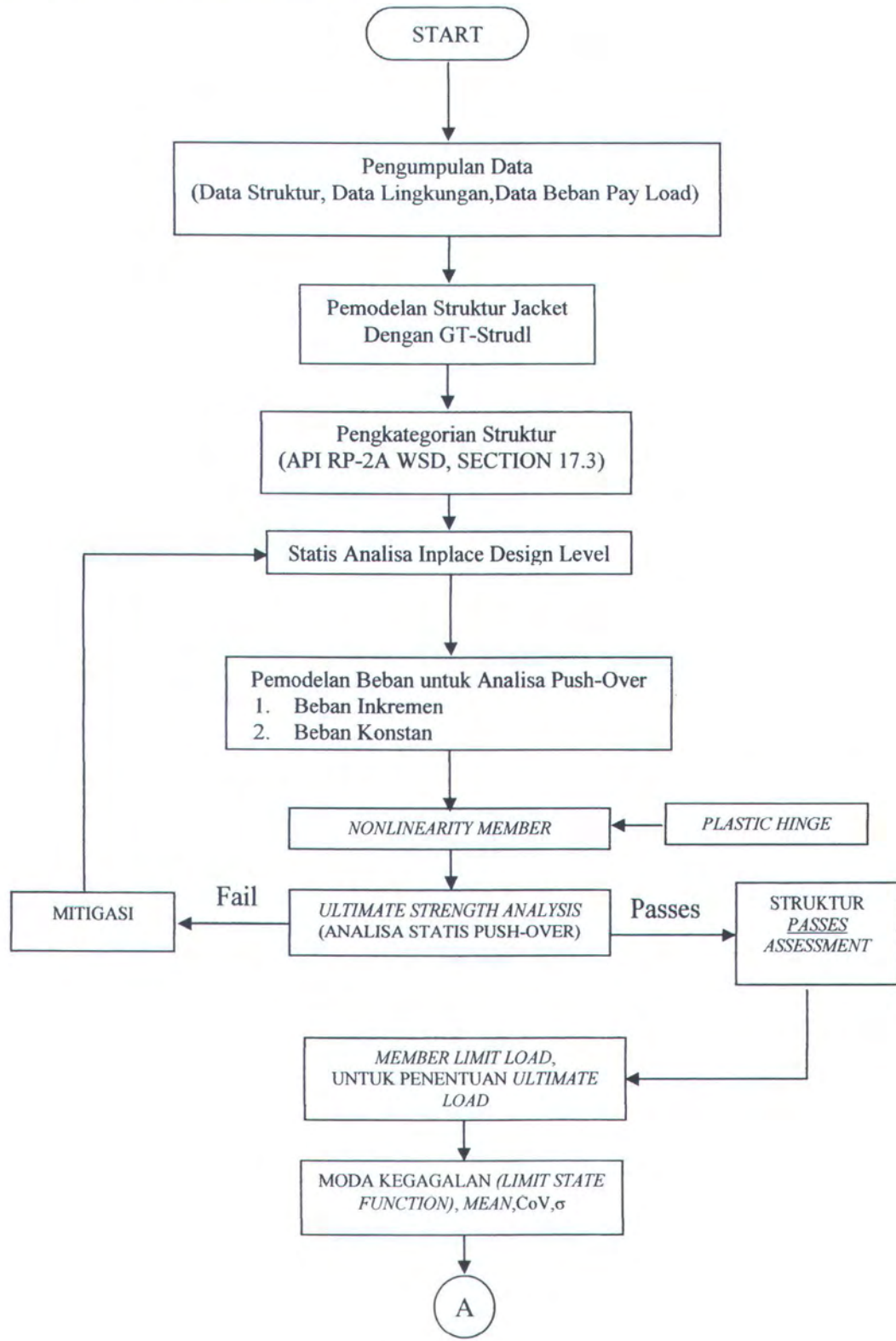
Dalam pelaksanaan analisa struktur ada beberapa tahapan yang harus dilakukan yaitu pemodelan struktur, analisa struktur, uji laboratorium sehingga didapatkan hasil yang diinginkan. Ketiga tahapan tersebut ada yang mutlak harus dilakukan yaitu pemodelan sedangkan analisa dan uji laboratorium tidak mutlak untuk dilakukan. Dari suatu pemodelan kemudian dilakukan analisa sehingga didapatkan hasil yang diinginkan. Tetapi dalam pemodelan dapat dilakukan analisa sekaligus uji lab sehingga didapatkan hasil yang lebih akurat.

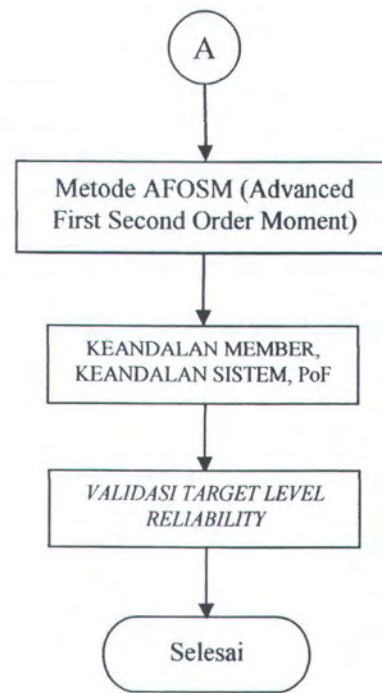
Pada penelitian kali ini dilakukan proses pemodelan dan analisa tanpa menggunakan uji lab. Adapun analisa yang dilakukan adalah dengan menggunakan suatu metode elemen hingga (*Finete Element Method*). Struktur *Jacket* yang akan dianalisa lebih berkonsentrasi pada sambungan deck dengan kaki *Jacket*. Pada struktur kaki *Jacket* (*leg*) memakai bentuk rangka (*space frame*) sehingga dapat dimodifikasi konfigurasinya. Struktur kaki yang dikenal dengan *truss type* ini dibangun dari sejumlah silinder baja yang saling dihubungkan sehingga membentuk rangka batang.

Pemodelan *Jacket* dilakukan dengan dua pemodelan yaitu pemodelan *Jacket* untuk keperluan analisis global dan pemodelan *Jacket* untuk keperluan analisis lokal pada sambungan kaki *Jacket* dengan deck. Kedua cara pemodelan ini sangat penting dilakukan. Analisis global dilakukan untuk mengetahui respons struktur secara global yang mencakup perpindahan geladak horisontal, stabilitas struktur *Jacket*, gaya-gaya reaksi dan lain sebagainya.

3.2 Metodologi Analisis

➤ Flowchart Metodologi Tugas Akhir:





Gambar 3.1 Flowchart Metodologi Tugas Akhir

Dalam pelaksanaan analisis struktur diperlukan data struktur dan lingkungan untuk pemodelan struktur, beban deck, *dead weight*, dan beban lingkungan. Data struktur dan lingkungan yang diperlukan dalam analisis ini adalah sebagai berikut :

1. Data struktur :

- *Technical drawing*, yang meliputi properti member dari deck beam dan tubular tiap kaki
- *Material properties*, meliputi jenis material, *yield strength*.
- Beban diatas dek
- Beban yang menempel pada kaki seperti *anode*.
- Koefiesien hidrodinamis
- Tebal *marine growth*

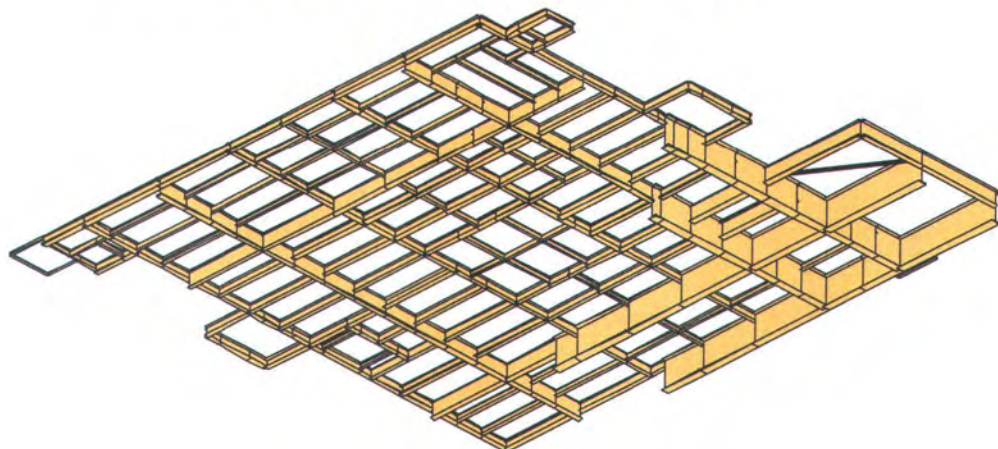
2. Data lingkungan :

- Posisi/tata letak struktur/orientasi
- Data gelombang
- Data angin
- Data arus

3. Data beban pada deck :

- Beban pada *main deck*
- Beban pada *cellar deck*
- Beban pada *wellhead access*
- Beban pada *helideck*

Setelah beban data-data lengkap struktur kemudian dimodelkan, sebelum struktur dimodelkan perlu mempelajari dahulu *technical drawing* dari struktur APN-D tersebut, kita melihat berapa gap yang ada diantara sambungan sehingga kita bisa menentukan eksentrisitas dari *brace* dan *chord* pada model, bagaimana bentuk susunan dari *beam* di *deck* apakah berbentuk rata ataukah ada *secondary beam* dan *main beam*.



Gambar 3.2 Model deck dengan secondary beam menumpu pada main beam

Pemodelan gelombang menggunakan GT-Selos dengan memasukkan input-input data yang telah diketahui.

3.3 Pengumpulan Data Struktur

3.3 Pengumpulan Data Struktur

3.3.1 Data Struktur

Struktur APN-D merupakan bangunan lepas pantai jenis terpanjang (*fixed offshore platform*) yang termasuk struktur *Jacket*. Struktur ini dibangun pada tahun 2005 yang didesain oleh P.T. Tripatra Engineering. Spesifikasi dari anjungan APN-D ini adalah sebagai berikut :

- | | |
|---------------------------------|----------------------------------|
| 1. Jenis struktur | : <i>Jacket</i> 1 kaki (3 brace) |
| 2. Panjang kaki | : 118 ft (tegak) |
| 3. Jumlah <i>Deck</i> | : 3 |
| 4. Ukuran <i>Main Deck</i> | : 35.5 ft x 52 ft |
| 5. Ukuran <i>Helideck</i> | : 30 ft x 33.5 ft |
| 6. Ukuran <i>Wellhead Acces</i> | : 10.25 ft x 21.25 ft |

3.3.2 Data Lingkungan

Kondisi lingkungan tempat beroperasinya bangunan lepas pantai sangat mempengaruhi kinerja struktur, maka data lingkungan sangat penting. Data lingkungan di perairan Laut Jawa tempat beroperasinya struktur APN-D ini adalah sebagai berikut :

a. Lokasi Platform :

Laut Barat Jawa Indonsia dengan koordinat :

Utara (m) 9 394 725

Timur (m) 308 087

b. Kedalaman Perairan

Kondisi Operasi : 48.51 m

Kondisi Ekstrim : 48.52 m

c. Periode Gelombang

Kondisi Operasi : 7 sec

Kondisi Ekstrim : 8.7 sec

d. Tinggi Gelombang

Kondisi Operasi : 11.483 ft

Kondisi Ekstrim : 18.045 ft

e. Kecepatan Arus

Tabel 3.1 Kecepatan arus dibawah permukaan air laut

| Percent of depth below water surface (%) | Current Velocity (m/s) | |
|--|------------------------|-----------------|
| | Operating Condition | Storm Condition |
| 0 (surface) | 0.670 | 1.090 |
| 10 | 0.560 | 0.870 |
| 20 | 0.480 | 0.710 |
| 30 | 0.420 | 0.590 |
| 40 | 0.380 | 0.500 |
| 50 | 0.350 | 0.440 |
| 60 | 0.330 | 0.390 |
| 70 | 0.310 | 0.360 |
| 80 | 0.300 | 0.340 |
| 90 | 0.290 | 0.320 |
| 100 (mud line) | 0.290 | 0.310 |

f. Kecepatan Angin

Tabel 3.2 Kecepatan angin

| Wind Velocity (m/sec) | |
|-----------------------|-------|
| Operating | Storm |
| 12.4 | 25.7 |

g. Densitas Air Laut : 1025 kg/m^3 , $63.988 \text{ pound/ft}^3$

3.4 Pemodelan Struktur APN-D Platform

3.4.1 Pemodelan Struktur APN-D Platform

Pemodelan struktur APN-D *Jacket Platform* menggunakan bantuan *software GT Strudl* dan *GT Selos*. *Software* ini merupakan salah satu *software* struktur yang berbasis *finite element method* (FEM). Data yang dipergunakan berasal dari data gambar dan perhitungan struktur APN-D *Jacket Platform* dari laporan desain struktur untuk *requalification* APN-D *Platform*. Struktur kaki struktur APN-D ini dimodelkan secara *detail model* sesuai dengan data gambar yang ada. Pemodelan struktur kaki ini menggunakan bantuan *software* GTStrudl. Input data yang dimasukkan untuk pemodelan struktur kaki ini adalah :

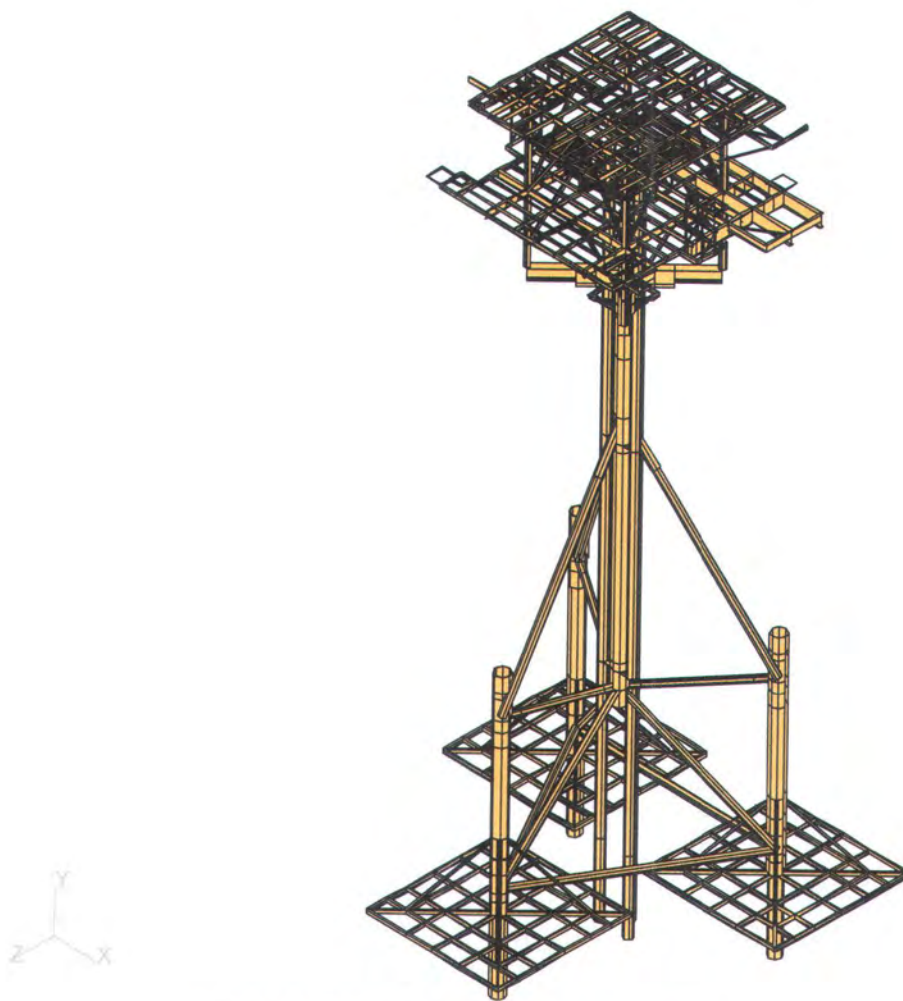
1. Dimensi kaki, yang terdiri dari :
 - a. Panjang kaki
 - b. Diameter luar (O.D.) *chord*

- c. Diameter luar (O.D.) *brace* (horizontal dan diagonal)
- d. Tebal *chord*
- e. Tebal *brace* (horizontal dan diagonal)
- f. Tebal *Joint Can*

2. Material

- a. Jenis : baja type A36
- b. E (modulus Young) : 29000 ksi
- c. G : 11200 ksi
- d. Densitas : 489.56 pound/ft³
- e. Yield stress : 36 ksi
- f. Ultimate stress : 58-80 ksi

Struktur geladak dimodelkan secara utuh, dimana ada 3 geladak yang digunakan dalam APN-D, yaitu: *Helideck*, *Main Deck*, *WellHead Access*. Dimana dari ketiga tersebut mendapat beban masing-masing untuk kondisi operasi dan kondisi badai.



Gambar 3.3 Detailed Model Struktur APN-D

3.4.2 Pemodelan Beban

3.4.2.1 Pemodelan Beban Vertikal pada Geladak (*Payload*)

Pemodelan beban vertikal pada geladak (*deck*) diberikan tiap member struktur geladak yang telah dimodelkan. Beban vertikal yang diberikan merupakan berat geladak itu sendiri ditambah dengan berat peralatan diatas struktur geladak. Beban yang dipakai untuk analisis *push-over* ini adalah beban pada kondisi ekstrim (bada).

Tabel 3.3 Beban pada struktur geladak (pay load)

| Description | Static Load |
|------------------------------------|------------------------|
| Self Weight | - |
| Other Structure | |
| Maindeck Handrail | 51.131 kN |
| Wellhead Handrail | 14.578 kN |
| Weather Shelter | 38.613 kN |
| Open Area Live Load | |
| Maindeck Live Load | 7.5 kN/m ² |
| Stairway | 5.0 kN/m ² |
| Wellhead Live Load | 5.0 kN/m ² |
| Laydown Area Load | 15.0 kN/m ² |
| Helideck Live Load | 5.0 kN/m ² |
| Walkways Live Load | 5.0 kN/m ² |
| Anodes Load | 126 kN |
| Dry Weight Loads | |
| CO2 Bottle Tank | 0.89 kN |
| Portable Sump Tank | 4.96 kN |
| Nitrogen Bottle Tank | 24.55 kN |
| wellhead&Monitoring Shutdown Panel | 21.1 kN |
| Monitor&Control Unit SCADA Panel | 6.23 kN |
| VHF Digital Panel | 5.874 kN |
| AC/DC Charger | 16.768 kN |
| DC Panel | 12.37 kN |
| Battery Box | 68.70 kN |
| Navigation And Lanterns | 10.80 kN |
| Solar Array Panel | 15.3 kN |
| Hydrotest Load | |
| CO2 Bottle Tank | 0.89 kN |

| | |
|------------------------------------|------------------|
| Portable Sump Tank | 11.792 kN |
| Nitrogen Bottle Tank | 24.55 kN |
| wellhead&Monitoring Shutdown Panel | 21.1 kN |
| Monitor&Control Unit SCADA Panel | 6.23 kN |
| VHF Digital Panel | 5.874 kN |
| AC/DC Charger | 16.768 kN |
| DC Panel | 12.37 kN |
| Battery Box | 68.70 kN |
| Navigation And Lanterns | 10.80 kN |
| Solar Array Panel | 15.3 kN |
| Helicopter Self Weight | 44.149 kN |
| Manual Hoist Operating Load | 14.7 kN |

3.4.2.2 Pemodelan Beban Gelombang, angin dan arus

Langkah awal perhitungan beban gelombang adalah menentukan terlebih dahulu teori gelombang yang sesuai dengan kondisi ekstrim (badai) di lingkungan lokasi Laut Barat Jawa. Teori gelombang di Laut Barat Jawa ditentukan melalui perhitungan dengan menggunakan grafik *region of validity* API Recommended Practice 2A - LRFD. Berdasarkan data lingkungan yang ada didapatkan nilai :

$$\frac{d}{gT^2} = \frac{159.15}{32.18(7)^2} = 0.10093$$

$$\frac{H}{gT^2} = \frac{11.48}{32.18(7)^2} = 0.00728$$

berdasarkan nilai diatas maka teori gelombang yang digunakan adalah teori gelombang *Stokes* orde 5.

Perhitungan beban gelombang ini menggunakan *software GTSelos* dengan berdasarkan pada Teori Morrison. Perhitungan beban gelombang pada silinder tegak menggunakan rumus pada persamaan sebagai berikut :

$$fw = fd + fi$$

$$Fw = \int_0^z \left(\frac{1}{2} \cdot \rho \cdot Cd \cdot D \cdot u|u| + \frac{1}{4} \cdot \pi \cdot D^2 \cdot \rho \cdot Cm \cdot a_x \right) dz$$

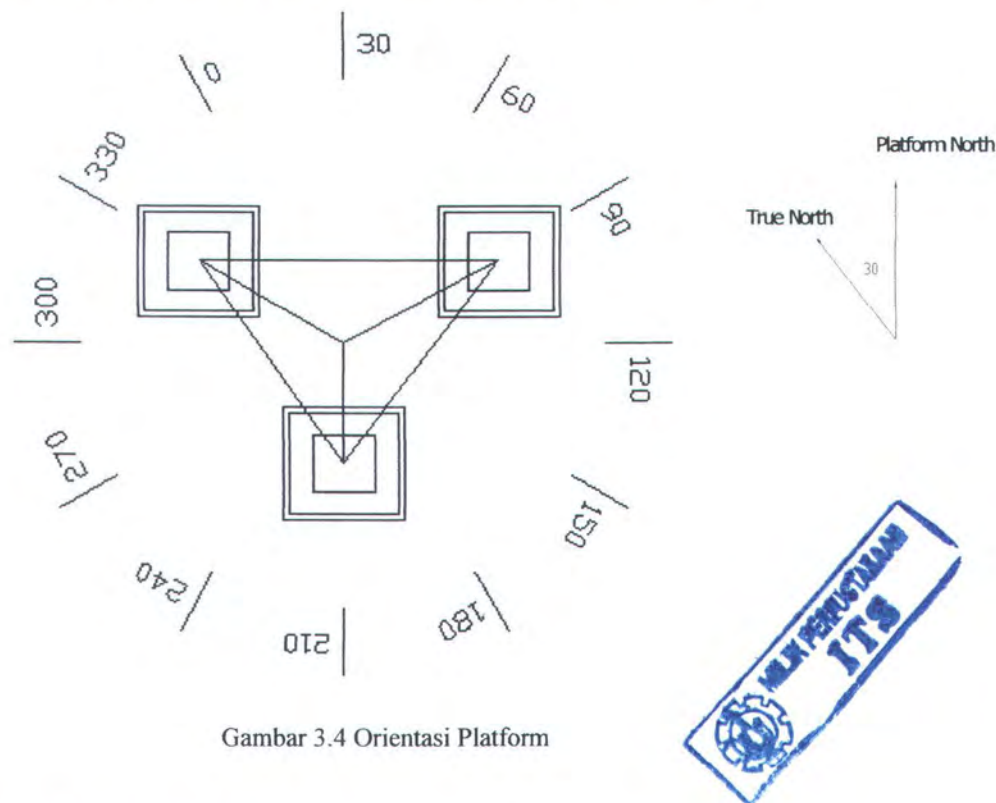
perhitungan beban gelombang pada silinder miring menggunakan rumus pada persamaan sebagai berikut :

$$F = \left(F_x^2 + F_y^2 + F_z^2 \right)^{\frac{1}{2}}$$

Pemodelan beban statis pada analisis *push-over* ini adalah dengan memodelkan beban gelombang delapan arah yang menggunakan *software GTSelos*. Parameter gelombang yang dimasukkan sebagai input data untuk pemodelan beban statis ini adalah sebagai berikut :

1. Teori gelombang
2. Tinggi, periode dan arah gelombang
3. C_D dan C_M

Output yang didapatkan dari pemodelan beban gelombang pada *software GTSelos* dimasukkan ke *software GTStrudl* untuk keperluan analisis lebih lanjut. Dengan arah gelombang $0^\circ, 30^\circ, 60^\circ, 90^\circ, 120^\circ, 150^\circ, 180^\circ, 210^\circ, 240^\circ, 270^\circ, 300^\circ, 330^\circ$.



3.4.2.3 Pemodelan beban untuk analisa *push-over*

Beban pada analisa *push-over* ini dibedakan dalam dua arah yaitu beban *payload* yang terdiri dari beban pada geladak, beban *self weight* dan beban *live load*, sedangkan beban lateralnya terdiri dari beban gelombang, angin dan arus. Beban lateral yang kemudian dinaikkan (*increment*) dan beban *payload* dijadikan beban konstan, beban *payload*

dikalikan faktor beban sebesar 1.1 dan faktor beban 0.85 untuk beban lateral (API,2002).

3.5 Analisa Statis *Push-Over*

Setelah dilakukan analisa statis *in place design load* dilanjutkan ke analisa *non-linear Push-Over*. Analisa ini dilakukan untuk mendapatkan *limit load* dari member yang akan dianalisa keandalannya dan untuk mengetahui nilai *base shear* yang diperlukan untuk mencari RSR. Berikut ini adalah contoh input data untuk analisa *push-over* dengan GTStrudl :

```
LOAD LIST ALL
PUSHOVER ANALYSIS DATA
CONSTANT LOAD 'A'
INCREMENTAL LOAD 'B'
MAXIMUM NUMBER OF LOAD INCREMENTS 'C'
MAXIMUM NUMBER OF TRIALS 'D'
LOADING RATE 'E'
CONVERGENCE RATE 'F'
CONVERGENCE TOLERANCE COLLAPSE 'G'
CONVERGENCE TOLERANCE DISPLACEMENT 'H'
MAXIMUM NUMBER OF CYCLES 'I'
END
PERFORM PUSHOVER ANALYSIS
```

Keterangan :

- A. Input *constant load* ; karena dalam setiap kondisi pembebanan yang terjadi beban vertikal tetap ikut serta dalam besaran yang sama maka yang menjadi input beban konstan adalah beban vertikal.
- B. Input *incremental load* (pertambahan beban) ; karena dalam analisis *push-over* ini yang diperhatikan adalah respon struktur akibat pertambahan beban lingkungan, maka yang menjadi input *incremental load* adalah beban lingkungan yang telah dimodelkan dari *GTSelos*.
- C. *Maximum increment* (pertambahan maksimum) ; input ini diberikan untuk membatasi jumlah *incremental load* yang kita inginkan. Untuk analisa ini *incremental load* dibatasi sampai 50 kali beban awal jika ternyata sampai 50 kali struktur belum runtuh maka *increment load* ini bisa ditambah.
- D. Nilai integer dari pencarian dari *collapse load* pada tiap kenaikan beban, nilai dari defaultnya 10.

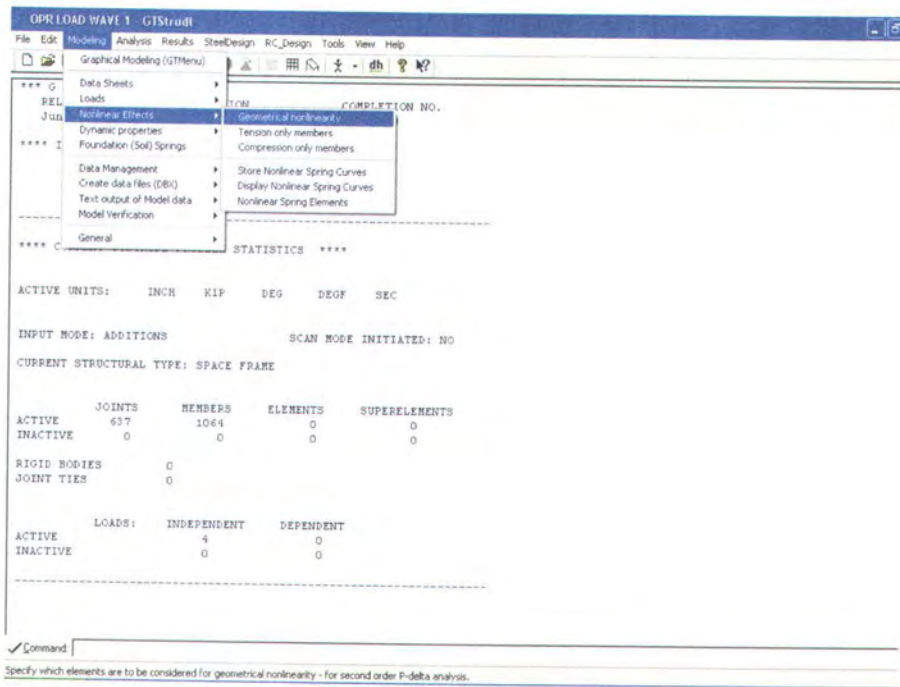
- E. *Loading rate* ; Input ini diberikan untuk menentukan pertambahan *incremental load* . Untuk analisis ini *incremental load* diberikan defaultnya 1.0.
- F. *Backup rate* ; input ini diberikan sebagai rate cadangan untuk melanjutkan *increment* jika pada satu kondisi *increment* telah terdeteksi ketidakstabilan struktur (ada member yang runtuh). Besarnya *backup rate* adalah $\frac{1}{2}$ kali dari *loading rate* sebelumnya.
- G. *Convergence displacement* ; untuk menentukan output keruntuhan dengan mengeluarkan displasemennya.
- H. *Convergence tolerance displacement* : untuk menentukan batas kekakuan dari elemen dalam fungsi displacement.
- I. *Maximum number of cycles* : untuk membatasi iterasi yang digunakan untuk menentukan batas kekakuan elemen.

3.5.1. Penjelasan langkah analisa Push Over.

Untuk melakukan pemodelan struktur pada analisa *ultimate* mengacu pada penelitian yang dilakukan P.M.B. Engineering(1988) seperti berikut :

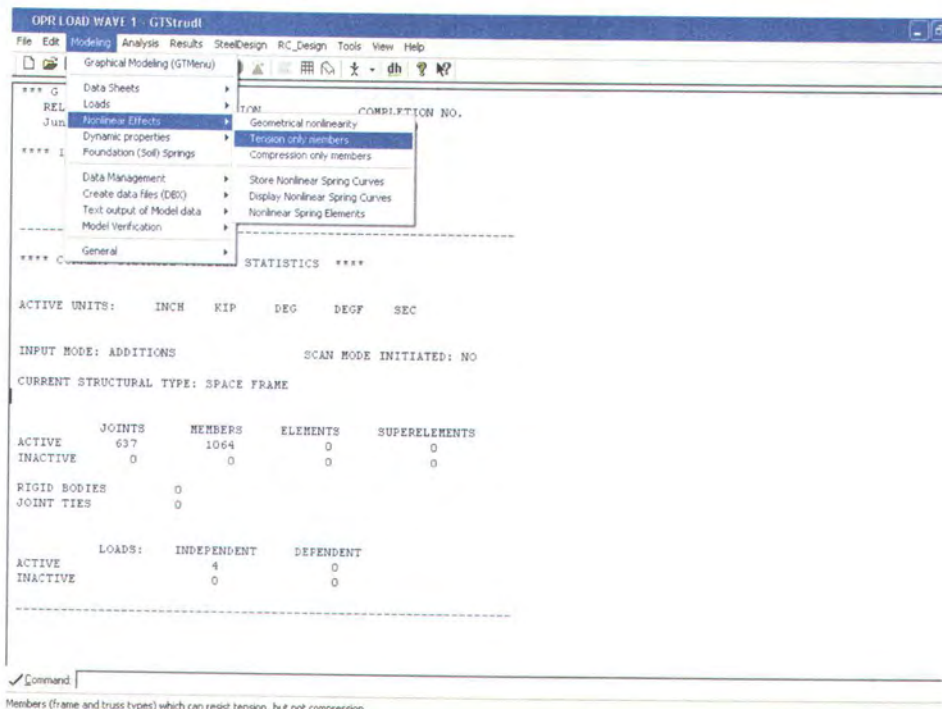
a. Penentuan *nonlinear member*.

Sebelum dilakukan analisa perlu ditentukan *nonlinear member* seperti pada Gambar 3.5. member yang dimodelkan sebagai nonlinear adalah member-member pada bagian jacket, yaitu : *jacket leg*, *deg leg*, *brace* dan *conductor*. Nonlinear member disini berarti bahwa member ini mempunyai karakteristik dapat mengalami/dbolehkan mendapat tegangan diatas tegangan ijin, sehingga mempunyai prilaku elastis/plastis.



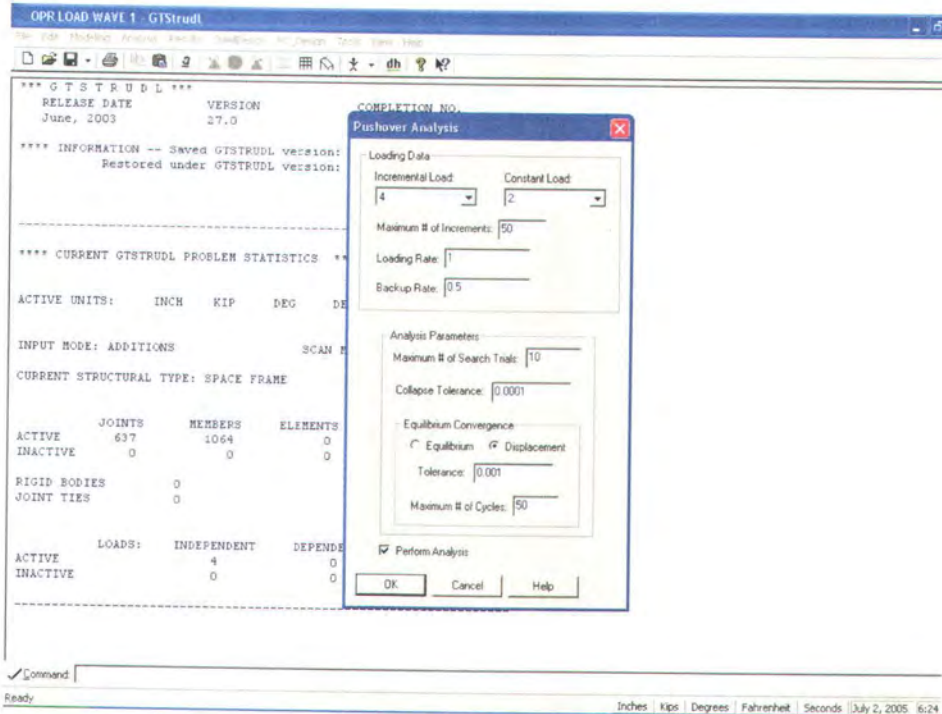
Gambar 3.5. Input nonlinear member.

- b. Pemodelan dari *tension* dan *compress* member, member yang dimodelkan adalah *brace* seperti yang terlihat pada Gambar 3.6., karena komponen ini pada umumnya mengalami kegagalan *yielding* dan *buckling* akibat beban kombinasi dari aksial dan bending.



Gambar 3.6. Input tension dan compress member.

- c. Memasukkan beban yang akan diinkrementkan dan beban konstan. Pada analisa ini semua faktor keamanan struktur dihilangkan sehingga akan didapat hasil yang maksimal.



Gambar 3.7. Analisa Push Over.

Pada analisa *push over* dapat diketahui beban maksimum yang dapat ditahan struktur jacket APN-D ini runtuh pada tiap-tiap arah pembebanan. Pada saat pertama kali struktur terdeteksi adanya ketidakstabilan, maka dapat dihitung besarnya RSR minimum, sedangkan RSR maksimumnya dihitung pada saat struktur runtuh seluruhnya.

$$RSR = \frac{\text{Beban pada saat struktur kolaps}}{\text{Beban pada kondisi desain}}$$

Pada perhitungan RSR ini yang dijadikan input adalah gaya reaksi lateral secara global (*base shear*) yang terjadi di tumpuan kaki, sedangkan perhitungan *system redundancy* menggunakan rumusan :

$$SR = \frac{\text{Beban pada saat struktur kolaps}}{\text{Beban pada saat 1 member kolaps}}$$

3.6 Keandalan

Sebelum dilakukan analisa keandalan terlebih dulu ditentukan moda kegagalan dari sistem struktur Jacket APN-D ini terlebih dulu. Moda kegagalan yang ditinjau adalah dari *combined stress* yang terjadi pada saat struktur APN-D *collapse* dengan *combined stress* pada *design level*, dalam hal ini adalah kondisi badai.

$$MK = R - Q$$

Dalam hal ini R (*resistance*) adalah nilai *ultimate stress* dari member struktur APN-D sedangkan Q (*load*) adalah nilai *combined stress* yang terjadi pada *design level*, semua harga dari R dan Q yang didapat dikategorikan dalam 2 macam yaitu jika :

(*load effect ≤ resistance*) struktur dikatakan aman

(*load effect > resistance*) struktur dikatakan gagal

Rumusan untuk moda kegagalan untuk gaya axial dan momen (Popov) sebagai berikut :

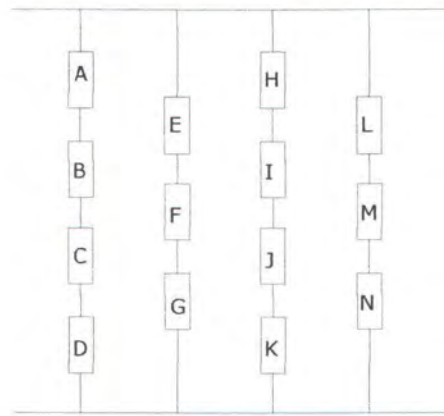
$$MK = \sigma_{Ultimate} - \left[\frac{P}{A} + \frac{M}{S} \right]$$

dimana komponen P dan M adalah komponen acak dari gaya aksial dan momen, yang telah mempunyai nilai rata-rata dan CoV yang sudah ditentukan. dimana P, M, A, S adalah komponen acak yang telah mempunyai nilai rata-rata dan CoV yang sudah ditentukan. Sedangkan $\sigma_{Ultimate}$ dari member sebesar 80 ksi digunakan sebagai nilai rata-rata (mean) dari resistance, untuk force dan moment pada kondisi ultimate digunakan sebagai load effect.

3.6.1 Sistem Keandalan Seri -Paralel

Dalam analisa *ultimate strength* berbasis keandalan ini digunakan sistem gabungan seri dan paralel. Model keandalannya masing-masing member akan berubah pada tiap penambahan beban. Bila dalam satu inkremen muncul lebih dari 1 member maka dianalisa secara seri. Sedangkan untuk tiap inkremen di analisa sistem paralel.

increment 1 increment2 increment3 increment4



Gambar 3.8. Model Keandalan Seri-Paralel

Untuk model keandalannya didasarkan pada pembebanan, member yang gagal dalam setiap penambahan beban dikelompokkan dalam satu grup yang dianalisa secara seri, karena dalam satu inkremen member-member tersebut saling berhubungan. Setiap satu grup inkremen akan dianalisa secara paralel dengan grup inkremen lainnya untuk mendapatkan keandalan global dari struktur.

Seperti dalam Gambar 3.8. bahwa member grup A,B,C,D adalah dalam satu inkremen yang akan dianalisa secara seri sedangkan grup tiap-tiap inkremen dihubungkan secara paralel. Dari hasil ini didapat nilai keandalan dan *probability of failure* (PoF) sistem struktur jacket APN-D. Harga dari PoF ini akan divalidasikan dengan *target level reliability* yang sudah pernah diteliti sebelumnya.

Urutan kegagalan pada member adalah pada saat mulai terbentuknya *plastic hinge* pada tiap-tiap member, pada saat ini member sudah mencapai batas *yield*nya. Setelah mencapai *yield* pada member akan terjadi *plastic flow* artinya stress yang terjadi pada member akan mulai membentuk formasi. Dengan semakin bertambahnya beban, member-member yang lain juga akan mulai terbentuk *plastic hinge*, sedangkan pada member awal yang sudah terjadi *plastic hinge* member mungkin sudah mulai menjadi engsel. Dengan semakin banyaknya *plastic hinge* yang terjadi pada member maka kekakuan struktur akan berkurang yang pada akhirnya akan menyebabkan keruntuhan struktur secara global.



BAB IV

ANALISA DAN PEMBAHASAN

BAB IV

ANALISA DAN PEMBAHASAN

4.1. Analisa *Design Level*

Dalam pelaksanaan analisa design level pada statu struktur, ada beberapa tahapan yang harus dilakukan yaitu pemodelan struktur dengan menggunakan GT-Strudl 27, pemodelan beban yang bekerja pada struktur sesuai dengan code yang digunakan, analisa tegangan. Struktur yang dianalisa dalam hal ini Struktur APN-D akan menggunakan dua code yaitu API RP 2A WSD,21stedition dan API RP 2A LRFD,1stedition.

Menurut API RP 2A WSD,21stedition pemodelan beban yang bekerja pada struktur dirumuskan sebagai berikut : $F = D + L + W$. Tetapi pada struktur APN-D memiliki matriks pembebanan seperti pada Tabel 4.1 :

Tabel 4.1 Matriks Beban Menurut API RP 2A WSD,21stedition

| Description | Maximum Topside Load Operating Condition | | | | | | | | | | | |
|---------------------------------------|--|--------|--------|--------|---------|---------|---------|---------|---------|---------|---------|---------|
| | Deg 0 | Deg 30 | Deg 60 | Deg 90 | Deg 120 | Deg 150 | Deg 180 | Deg 210 | Deg 240 | Deg 270 | Deg 300 | Deg 330 |
| Self Weight | 1.15 | 1.15 | 1.15 | 1.15 | 1.15 | 1.15 | 1.15 | 1.15 | 1.15 | 1.15 | 1.15 | 1.15 |
| Other Structure | 1.15 | 1.15 | 1.15 | 1.15 | 1.15 | 1.15 | 1.15 | 1.15 | 1.15 | 1.15 | 1.15 | 1.15 |
| Maindeck Live Load | 0.70 | 0.70 | 0.70 | 0.70 | 0.70 | 0.70 | 0.70 | 0.70 | 0.70 | 0.70 | 0.70 | 0.70 |
| Stairway | 0.70 | 0.70 | 0.70 | 0.70 | 0.70 | 0.70 | 0.70 | 0.70 | 0.70 | 0.70 | 0.70 | 0.70 |
| Wellhead Live Load | 0.70 | 0.70 | 0.70 | 0.70 | 0.70 | 0.70 | 0.70 | 0.70 | 0.70 | 0.70 | 0.70 | 0.70 |
| Laydown Area Load | 0.70 | 0.70 | 0.70 | 0.70 | 0.70 | 0.70 | 0.70 | 0.70 | 0.70 | 0.70 | 0.70 | 0.70 |
| Helideck Live Load | 0.70 | 0.70 | 0.70 | 0.70 | 0.70 | 0.70 | 0.70 | 0.70 | 0.70 | 0.70 | 0.70 | 0.70 |
| Walkways Live Load | 0.70 | 0.70 | 0.70 | 0.70 | 0.70 | 0.70 | 0.70 | 0.70 | 0.70 | 0.70 | 0.70 | 0.70 |
| Anodes Load | 1.00 | 1.00 | 1.00 | 1.00 | 1.00 | 1.00 | 1.00 | 1.00 | 1.00 | 1.00 | 1.00 | 1.00 |
| Helicopter Self Weight | 1.50 | 1.50 | 1.50 | 1.50 | 1.50 | 1.50 | 1.50 | 1.50 | 1.50 | 1.50 | 1.50 | 1.50 |
| Manual Hoist Operating Load | 1.00 | 1.00 | 1.00 | 1.00 | 1.00 | 1.00 | 1.00 | 1.00 | 1.00 | 1.00 | 1.00 | 1.00 |
| Operating Wind & Wave Load at 0 deg | 1.00 | | | | | | | | | | | |
| Operating Wind & Wave Load at 30 deg | | 1.00 | | | | | | | | | | |
| Operating Wind & Wave Load at 60 deg | | | 1.00 | | | | | | | | | |
| Operating Wind & Wave Load at 90 deg | | | | 1.00 | | | | | | | | |
| Operating Wind & Wave Load at 120 deg | | | | | 1.00 | | | | | | | |
| Operating Wind & Wave Load at 150 deg | | | | | | 1.00 | | | | | | |
| Operating Wind & Wave Load at 180 deg | | | | | | | 1.00 | | | | | |
| Operating Wind & Wave Load at 210 deg | | | | | | | | 1.00 | | | | |
| Operating Wind & Wave Load at 240 deg | | | | | | | | | 1.00 | | | |
| Operating Wind & Wave Load at 270 deg | | | | | | | | | | 1.00 | | |
| Operating Wind & Wave Load at 300 deg | | | | | | | | | | | 1.00 | |
| Operating Wind & Wave Load at 330 deg | | | | | | | | | | | | 1.00 |

Setelah dilakukan pembebanan pada struktur, maka selanjutnya dilakukan analisa *in place* pada kondisi *design level*. Analisa ini dilakukan untuk melihat apakah ada member pada struktur APN-D yang mengalami kegagalan yang kemudian hasil analisa *in place* menurut API RP 2A LRFD, 1st edition digunakan untuk validasi model dengan menggunakan harga *unity check* yang didapat dari hasil GT Selos dibandingkan dengan hasil analisa yang digunakan oleh PT. Tripatra yang menggunakan software SACS ver 5.1.

Tabel 4.2. Validasi Model Struktur APN-D

| Hasil Analisa Design Level Dengan WSD | | | | |
|---------------------------------------|-------------------|----------|------------------|-----|
| Member ID | Member Properties | SACS 5.1 | GTSelos 2.7(WSD) | LC |
| | | UC | UC | |
| MD-0125 | W8x10 | 0.888 | 0.876 | 122 |
| MD-0118 | W24x62 | 0.873 | 0.868 | 121 |
| SP-02 | W8x18 | 0.816 | 0.974 | 125 |
| MD-074 | W8x10 | 0.772 | 0.796 | 127 |
| MD-0151 | W12x26 | 0.744 | 0.779 | 130 |
| MD-0150 | W12x26 | 0.735 | 0.780 | 129 |
| MD-0156 | W24x62 | 0.716 | 0.755 | 122 |
| MD-0294 | W24x62 | 0.713 | 0.755 | 132 |
| SP-01 | W8x18 | 0.678 | 0.661 | 124 |
| SP-03 | W8x18 | 0.668 | 0.633 | 129 |
| DTR-04 | PIPE | 0.772 | 0.782 | 132 |
| DTR-023 | PIPE | 0.735 | 0.744 | 125 |
| DTR-016 | PIPE | 0.731 | 0.770 | 123 |
| DBR-023 | PIPE | 0.730 | 0.772 | 130 |
| DTR-09 | PIPE | 0.687 | 0.632 | 128 |
| PL-30 | PIPE | 0.627 | 0.605 | 128 |
| PL-18 | PIPE | 0.627 | 0.602 | 124 |
| PL-6 | PIPE | 0.621 | 0.600 | 132 |
| DTR-03 | PIPE | 0.619 | 0.681 | 132 |
| PL-31 | PIPE | 0.571 | 0.550 | 128 |

Sedangkan menurut API RP 2A LRFD, 1st edition pemodelan beban yang bekerja pada struktur untuk kondisi ekstrem dirumuskan sebagai berikut : $F = 1.1D_1 + 1.1D_2 + 1.1L_1 + 1.35W$. Matriks pembebanan pada struktur APN-D seperti pada Tabel 4.3 :

Tabel 4.3 Matriks Beban Menurut API RP 2A LRFD, 1st edition

| Description | Maximum Topside Load Strom Condition | | | | | | | | | | | |
|---------------------------------------|--------------------------------------|--------|--------|--------|---------|---------|---------|---------|---------|---------|---------|---------|
| | Deg 0 | Deg 30 | Deg 60 | Deg 90 | Deg 120 | Deg 150 | Deg 180 | Deg 210 | Deg 240 | Deg 270 | Deg 300 | Deg 330 |
| Self Weight | 1.1 | 1.1 | 1.1 | 1.1 | 1.1 | 1.1 | 1.1 | 1.1 | 1.1 | 1.1 | 1.1 | 1.1 |
| Other Structure | 1.1 | 1.1 | 1.1 | 1.1 | 1.1 | 1.1 | 1.1 | 1.1 | 1.1 | 1.1 | 1.1 | 1.1 |
| Maindeck Live Load | 1.1 | 1.1 | 1.1 | 1.1 | 1.1 | 1.1 | 1.1 | 1.1 | 1.1 | 1.1 | 1.1 | 1.1 |
| Stairway | 1.1 | 1.1 | 1.1 | 1.1 | 1.1 | 1.1 | 1.1 | 1.1 | 1.1 | 1.1 | 1.1 | 1.1 |
| Wellhead Live Load | 1.1 | 1.1 | 1.1 | 1.1 | 1.1 | 1.1 | 1.1 | 1.1 | 1.1 | 1.1 | 1.1 | 1.1 |
| Laydown Area Load | 1.1 | 1.1 | 1.1 | 1.1 | 1.1 | 1.1 | 1.1 | 1.1 | 1.1 | 1.1 | 1.1 | 1.1 |
| Helideck Live Load | 1.1 | 1.1 | 1.1 | 1.1 | 1.1 | 1.1 | 1.1 | 1.1 | 1.1 | 1.1 | 1.1 | 1.1 |
| Walkways Live Load | 1.1 | 1.1 | 1.1 | 1.1 | 1.1 | 1.1 | 1.1 | 1.1 | 1.1 | 1.1 | 1.1 | 1.1 |
| Anodes Load | 1.1 | 1.1 | 1.1 | 1.1 | 1.1 | 1.1 | 1.1 | 1.1 | 1.1 | 1.1 | 1.1 | 1.1 |
| Helicopter Self Weight | 1.1 | 1.1 | 1.1 | 1.1 | 1.1 | 1.1 | 1.1 | 1.1 | 1.1 | 1.1 | 1.1 | 1.1 |
| Manual Hoist Operating Load | 1.1 | 1.1 | 1.1 | 1.1 | 1.1 | 1.1 | 1.1 | 1.1 | 1.1 | 1.1 | 1.1 | 1.1 |
| Operating Wind & Wave Load at 0 deg | 1.35 | | | | | | | | | | | |
| Operating Wind & Wave Load at 30 deg | | 1.35 | | | | | | | | | | |
| Operating Wind & Wave Load at 60 deg | | | 1.35 | | | | | | | | | |
| Operating Wind & Wave Load at 90 deg | | | | 1.35 | | | | | | | | |
| Operating Wind & Wave Load at 120 deg | | | | | 1.35 | | | | | | | |
| Operating Wind & Wave Load at 150 deg | | | | | | 1.35 | | | | | | |
| Operating Wind & Wave Load at 180 deg | | | | | | | 1.35 | | | | | |
| Operating Wind & Wave Load at 210 deg | | | | | | | | 1.35 | | | | |
| Operating Wind & Wave Load at 240 deg | | | | | | | | | 1.35 | | | |
| Operating Wind & Wave Load at 270 deg | | | | | | | | | | 1.35 | | |
| Operating Wind & Wave Load at 300 deg | | | | | | | | | | | 1.35 | |
| Operating Wind & Wave Load at 330 deg | | | | | | | | | | | | 1.35 |

Dan untuk hasil analisa *in place* pada kondisi badai, nilai *unity check* terbesar pada setiap arah pembebanan dapat dilihat pada Tabel 4.4 berikut :

Tabel 4.4 Member Kritis Kondisi Ekstrim

| MEMBER | LOAD DIRECTION | UC | TYPE OF MEMBER |
|---------|----------------|-------|----------------|
| PL-6 | 330° | 0.996 | Prismatic |
| DTR-05 | 270° | 0.993 | Prismatic |
| (+)15-6 | 240° | 0.986 | PGL2 |
| MD-0160 | 210° | 0.979 | W24x62 |
| MD-0160 | 300° | 0.978 | W24x62 |
| SP-02 | 180° | 0.970 | W12x26 |
| MD-0192 | 150° | 0.958 | W12x26 |
| DTR-024 | 90° | 0.945 | Prismatic |
| MD-0193 | 60° | 0.930 | W12x26 |
| DTR-024 | 30° | 0.921 | Prismatic |
| MD-0229 | 0° | 0.872 | W8x10 |

4.2. Analisa Push Over

Pada analisa *pushover* akan dilakukan dengan menggunakan dua code yaitu API RP 2A WSD,21stedition dan API RP 2A LRFD,1stedition yang mana pada hasil akhir akan didapat nilai Reserve Strength Ratio dari kedua code tersebut. Pola pembebanan pada analisa pushover dengan menggunakan API RP 2A WSD,21stedition sama halnya dengan pembebanan pada saat analisa statis yaitu $F = D + L + W$. Beban gelombang yang digunakan sebagai *incremen load* ialah gelombang kondisi badai. Seperti halnya API RP 2A WSD,21stedition, pola pembebanan pushover menurut API RP 2A LRFD,1stedition seperti pembebanan analisa statis pada kondisi ekstrim yaitu : $F = 1.1D_1 + 1.1D_2 + 1.1L_1 + 1.35W$. Perbedaan *constan load* dan *incremen load* pada struktur APN-D menurut API RP 2A WSD,21stedition dan API RP 2A LRFD,1stedition sebagai berikut :

Tabel 4.5 Perbedaan Pembebanan Menurut API RP 2A WSD,21stedition dan API RP 2A LRFD,1stedition

| Load | API RP 2A WSD,21 st edition | | | API RP 2A LRFD,1 st edition | | |
|-------------------|--|---------|---------|--|---------|-----------|
| | X (Ton) | Y (Ton) | Z (Ton) | X (Ton) | Y (Ton) | Z (Ton) |
| Dead Load | | | | | | |
| D1 | - | -504.83 | - | - | -484.79 | - |
| D2 | - | -37.40 | - | - | -36.83 | - |
| Live Load | | | | | | |
| L1 | - | -176.34 | - | - | -277.11 | - |
| L2 | - | - | - | - | - | - |
| Enviromental Load | | | | | | |
| 0° | -292.97 | -373.28 | -1.24 | -395.51 | -503.93 | -1.68 |
| 30° | -254.81 | -373.64 | -148.55 | -343.99 | -504.41 | -200.54 |
| 60° | -147.68 | -373.32 | -255.72 | -199.37 | -503.98 | -345.22 |
| 90° | -6.94E-02 | -374.27 | -296.58 | -9.37E-02 | -505.27 | -400.38 |
| 120° | 147.64 | -374.60 | -257.01 | 199.31 | -505.71 | -346.96 |
| 150° | 254.22 | -373.57 | -147.48 | 343.20 | -504.32 | -199.11 |
| 180° | 292.93 | -373.04 | -0.06 | 395.46 | -503.60 | -9.23E-02 |
| 210° | 253.15 | -372.56 | 147.59 | 341.75 | -502.95 | 199.24 |
| 240° | 146.28 | -372.90 | 256.03 | 197.48 | -503.42 | 345.64 |
| 270° | 0.57 | -373.36 | 295.75 | 0.76 | -504.04 | 399.26 |
| 300° | -145.32 | -373.16 | 255.53 | -196.18 | -503.77 | 344.97 |
| 330° | -254.38 | -374.15 | 148.01 | -343.41 | -505.11 | 199.81 |

Pembebanan awal untuk *incremen load* dalam hal ini beban gelombang kondisi ekstrim dan nilai *Reserve Strength Ratio* yang diijinkan untuk kondisi perairan diluar amerika dan GoM ditentukan sebagai berikut :

Tabel 4.6 Syarat Penerimaan RSR Menurut API RP 2A WSD,21stedition

| Level | Category Exposure | | Design Level Analysis | Ultimate Strength Analysis |
|-------|-------------------|---------------------------------|--|--|
| L-1 | High Consequence | Manned-evacuated & Nonevacuated | 85 % of Lateral Loading caused by 100yr environmental Conditions | Reserve Strength Ratio RSR ≥ 1.6 |
| | | Unmaned | | |
| L-3 | Low Consequence | Unmaned | 50 % of Lateral Loading caused by 100yr environmental Conditions | Reserve Strength Ratio RSR ≥ 0.8 |

Struktur APN-D merupakan kategori *High Consequence* karena struktur ini dilengkapi minyak dan gas *flowlines*, yang berarti bila struktur ini mengalami kegagalan akan berdampak serius terhadap kerusakan lingkungan dan keselamatan manusia. Dari sisi keselamatan struktur APN-D termasuk dalam *manned-nonevacuated platform* artinya struktur APN-D ini meskipun tidak dilengkapi akomodasi sebagai tempat tinggal bagi personel, namun sering dikunjungi manusia secara rutin dalam waktu tertentu, sehingga keselamatan bagi personel termasuk faktor penting yang harus dipertimbangkan.

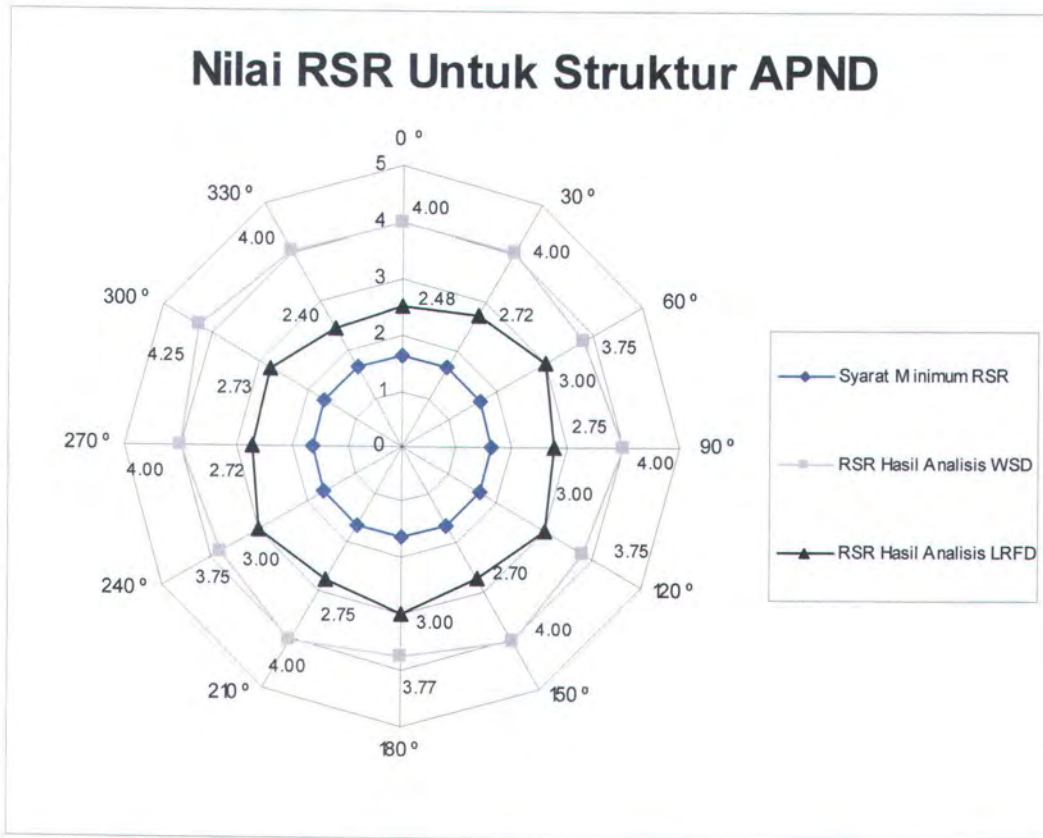
Setelah proses analisa pushover dilakukan dengan menggunakan software GT-Strudl dan masing-masing code yang digunakan, maka didapat nilai *Reserve Strength Ratio* dari output GT-Strudl.

Tabel 4.7. Nilai RSR minimum dari 12 arah pembebahan

| Arah | API RP 2A WSD,21 st edition | API RP 2A LRFD,1 st edition |
|-------|---|---|
| 0 ° | 4.00 | 2.48 |
| 30 ° | 4.00 | 2.71 |
| 60 ° | 3.75 | 3.00 |
| 90 ° | 4.00 | 2.75 |
| 120 ° | 3.75 | 3.00 |
| 150 ° | 4.00 | 2.69 |
| 180 ° | 3.76 | 3.00 |
| 210 ° | 4.00 | 2.75 |
| 240 ° | 3.75 | 3.00 |
| 270 ° | 4.00 | 2.71 |
| 300 ° | 4.25 | 2.72 |
| 330 ° | 4.00 | 2.40 |

Pada Tabel 4.7 diatas terlihat bahwa nilai *Reserve Strength Ratio* yang terendah untuk API RP 2A WSD,21stedition terdapat pada arah pembebahan 240 ° yaitu 3.75, sedangkan untuk API RP 2A LRFD,1stedition terdapat pada arah 330 °. Nilai masing-masing *Reserve*

Strength Ratio dapat dikatakan aman karena masih berada diatas harga minimum *Reserve Strength Ratio* yang diisyaratkan *API RP 2A WSD 21st edition* yakni minimum 1.6.



Gambar 4.1 RSR dari 12 Arah Pembebanan Menurut API RP 2A WSD,21stedition
dan API RP 2A LRFD,1stedition

4.3. Analisa Keandalan

Analisa keandalan dari struktur APN-D mengacu pada hasil analisa pushover yaitu nilai RSR minimum dari 12 arah pembebanan. Moda keruntuhan yang dipakai untuk menentukan keandalan dari tiap-tiap member. Untuk mendapatkan moda keruntuhan tersebut diperlukan limit load yang bekerja pada struktur. Ultimate strength dari member yang bernilai 59-80 ksi disertai dengan kapasitas struktur dan beban yang bekerja disini dalam hal ini gaya-gaya axial dan momen yang bekerja pada member yang mengacu pada *limit load* yang sudah didapat. Hasil limit dapat dilihat pada lampiran. Setelah dilakukan analisa keandalan pada tiap-tiap arah dengan menggunakan metode AFOSM didapat keandalan tiap-tiap member sebagai berikut :

Tabel 4.8. Moda Keruntuhan dan Keandalan Member

Hasil Analisa API RP 2A WSD, 21st edition

| NO | Arah 0 | | | | |
|----|----------|----------|-------|-------|-----------|
| | Incremen | Member | Beta | PoF | Keandalan |
| 1 | PAAra001 | (-)144-3 | 2.658 | 0.004 | 0.996 |
| 2 | PAAra001 | CSG-1 | 2.570 | 0.005 | |
| 3 | PAAra001 | CSG-3 | 2.540 | 0.006 | 0.994 |
| 4 | PAAra001 | CSG-5 | 2.508 | 0.006 | 0.994 |
| 5 | PAAra001 | CSG-8 | 2.641 | 0.004 | 0.996 |
| 6 | PAAra002 | CSG-6 | 2.412 | 0.008 | 0.992 |
| 7 | PAAra002 | CSG-7 | 2.677 | 0.004 | 0.996 |
| 8 | PAAra002 | CSG-9 | 2.535 | 0.006 | 0.994 |
| 9 | PAAra002 | CSG-15 | 2.611 | 0.005 | 0.995 |
| 10 | PAAra002 | CDG-5 | 2.422 | 0.008 | 0.992 |
| 11 | PAAra002 | (-)144-1 | 2.389 | 0.008 | 0.992 |
| 12 | PAAra003 | CSG-13 | 2.433 | 0.007 | 0.993 |
| 13 | | | | | |
| 14 | | | | | |
| 15 | | | | | |

| NO | Arah 30 | | | | |
|----|----------|----------|-------|-------|-----------|
| | Incremen | Member | Beta | PoF | Keandalan |
| 1 | PAAra001 | CSG-1 | 2.482 | 0.007 | 0.993 |
| 2 | PAAra001 | CSG-8 | 2.509 | 0.006 | 0.994 |
| 3 | PAAra001 | CSG-6 | 2.535 | 0.006 | 0.994 |
| 4 | PAAra001 | CSG-5 | 2.447 | 0.007 | 0.993 |
| 5 | PAAra002 | (-)144-1 | 2.412 | 0.008 | 0.992 |
| 6 | PAAra002 | (-)144-2 | 2.426 | 0.008 | 0.992 |
| 7 | PAAra002 | (-)144-3 | 2.660 | 0.004 | 0.996 |
| 8 | PAAra002 | CSG-4 | 2.511 | 0.006 | 0.994 |
| 9 | PAAra002 | CDG-5 | 2.456 | 0.007 | 0.993 |
| 10 | PAAra002 | CSG-15 | 2.561 | 0.005 | 0.995 |
| 11 | PAAra002 | CSG-9 | 2.406 | 0.008 | 0.992 |
| 12 | PAAra002 | CSG-7 | 2.528 | 0.006 | 0.994 |
| 13 | | | | | |
| 14 | | | | | |
| 15 | | | | | |

| NO | Arah 60 | | | | |
|----|----------|----------|-------|-------|-----------|
| | Incremen | Member | Beta | PoF | Keandalan |
| 1 | PAAra001 | CSG-1 | 2.743 | 0.003 | 0.997 |
| 2 | PAAra001 | CSG-2 | 2.659 | 0.004 | 0.996 |
| 3 | PAAra002 | (-)144-3 | 2.639 | 0.004 | 0.996 |
| 4 | PAAra002 | CSG-5 | 2.535 | 0.006 | 0.994 |
| 5 | PAAra003 | (-)144-2 | 2.472 | 0.007 | 0.993 |
| 6 | PAAra003 | CDG-4 | 2.510 | 0.006 | 0.994 |
| 7 | PAAra003 | CSG-15 | 2.711 | 0.003 | 0.997 |
| 8 | PAAra003 | CSG-9 | 2.523 | 0.006 | 0.994 |
| 9 | PAAra003 | CSG-8 | 2.477 | 0.007 | 0.993 |
| 10 | PAAra003 | CSG-6 | 2.969 | 0.001 | 0.999 |
| 11 | PAAra004 | CDG-6 | 2.486 | 0.006 | 0.994 |
| 12 | PAAra004 | CSG-4 | 2.669 | 0.004 | 0.996 |
| 13 | | | | | |
| 14 | | | | | |
| 15 | | | | | |

| NO | Arah 90 | | | | |
|----|----------|----------|-------|-------|-----------|
| | Incremen | Member | Beta | PoF | Keandalan |
| 1 | PAAra001 | (-)144-2 | 2.547 | 0.005 | 0.995 |
| 2 | PAAra001 | (-)144-3 | 2.547 | 0.005 | 0.995 |
| 3 | PAAra001 | CSG-1 | 2.752 | 0.003 | 0.997 |
| 4 | PAAra001 | CSG-2 | 2.467 | 0.007 | 0.993 |
| 5 | PAAra001 | CSG-3 | 2.733 | 0.003 | 0.997 |
| 6 | PAAra002 | CDG-4 | 2.423 | 0.008 | 0.992 |
| 7 | PAAra002 | CDG-6 | 2.422 | 0.008 | 0.992 |
| 8 | PAAra002 | CSG-8 | 2.380 | 0.009 | 0.991 |
| 9 | PAAra002 | CSG-11 | 2.382 | 0.009 | 0.991 |
| 10 | PAAra002 | CSG-5 | 2.670 | 0.004 | 0.996 |
| 11 | PAAra003 | CSG-17 | 2.479 | 0.007 | 0.993 |
| 12 | PAAra003 | CSG-16 | 2.475 | 0.007 | 0.993 |
| 13 | | | | | |
| 14 | | | | | |
| 15 | | | | | |

| NO | Arah 120 | | | | |
|----|----------|----------|-------|-------|-----------|
| | Incremen | Member | Beta | PoF | Keandalan |
| 1 | PAAra001 | (-)144-2 | 2.634 | 0.004 | 0.996 |
| 2 | PAAra001 | CSG-2 | 2.513 | 0.006 | 0.994 |
| 3 | PAAra001 | CSG-3 | 2.565 | 0.005 | 0.995 |
| 4 | PAAra001 | CSG-5 | 2.545 | 0.005 | 0.995 |
| 5 | PAAra002 | (-)144-3 | 2.393 | 0.008 | 0.992 |
| 6 | PAAra002 | CSG-4 | 2.679 | 0.004 | 0.996 |
| 7 | PAAra002 | CDG-4 | 2.494 | 0.006 | 0.994 |
| 8 | PAAra002 | CDG-6 | 2.438 | 0.007 | 0.993 |
| 9 | PAAra002 | CSG-18 | 2.623 | 0.004 | 0.996 |
| 10 | PAAra002 | CSG-12 | 2.450 | 0.007 | 0.993 |
| 11 | PAAra002 | CSG-6 | 2.471 | 0.007 | 0.993 |

| NO | Arah 150 | | | | |
|----|----------|----------|-------|-------|-----------|
| | Incremen | Member | Beta | PoF | Keandalan |
| 1 | PAAra001 | CSG-3 | 2.489 | 0.006 | 0.994 |
| 2 | PAAra001 | CSG-6 | 2.540 | 0.006 | 0.994 |
| 3 | PAAra001 | CSG-11 | 2.509 | 0.006 | 0.994 |
| 4 | PAAra001 | CSG-5 | 2.453 | 0.007 | 0.993 |
| 5 | PAAra002 | (-)144-1 | 2.414 | 0.008 | 0.992 |
| 6 | PAAra002 | (-)144-2 | 2.662 | 0.004 | 0.996 |
| 7 | PAAra002 | (-)144-3 | 2.428 | 0.008 | 0.992 |
| 8 | PAAra002 | CSG-10 | 2.526 | 0.006 | 0.994 |
| 9 | PAAra002 | CSG-4 | 2.520 | 0.006 | 0.994 |
| 10 | PAAra002 | CDG-5 | 2.446 | 0.007 | 0.993 |
| 11 | PAAra002 | CDSG-18 | 2.570 | 0.005 | 0.995 |

| | | | | | | | | | | | | |
|----|----------|--------|-------|-------|-------|--|----|----------|--------|-------|-------|-------|
| 12 | PAAra002 | CSG-11 | 2.406 | 0.008 | 0.992 | | 12 | PAAra002 | CSG-12 | 2.406 | 0.008 | 0.992 |
| 13 | | | | | | | 13 | | | | | |
| 14 | | | | | | | 14 | | | | | |
| 15 | | | | | | | 15 | | | | | |

| NO | Arah 180 | | | | |
|----|----------|----------|-------|-------|-----------|
| | Incremen | Member | Beta | PoF | Keandalan |
| 1 | PAAra001 | (-)144-1 | 2.562 | 0.005 | 0.995 |
| 2 | PAAra001 | (-)144-2 | 2.950 | 0.002 | 0.998 |
| 3 | PAAra001 | CSG-1 | 2.448 | 0.074 | 0.996 |
| 4 | PAAra001 | CSG-3 | 2.578 | 0.005 | 0.995 |
| 5 | PAAra001 | CSG-11 | 2.693 | 0.004 | 0.996 |
| 6 | PAAra001 | CSG-5 | 2.513 | 0.006 | 0.994 |
| 7 | PAAra001 | CSG-10 | 2.673 | 0.004 | 0.996 |
| 8 | PAAra002 | CSG-18 | 2.618 | 0.004 | 0.996 |
| 9 | PAAra002 | CSG-13 | 2.535 | 0.006 | 0.994 |
| 10 | PAAra002 | CSG-12 | 2.538 | 0.006 | 0.994 |
| 11 | PAAra002 | CSG-6 | 2.416 | 0.008 | 0.992 |
| 12 | PAAra002 | CDG-5 | 2.412 | 0.008 | 0.992 |
| 13 | | | | | |
| 14 | | | | | |
| 15 | | | | | |

| NO | Arah 210 | | | | |
|----|----------|----------|-------|-------|-----------|
| | Incremen | Member | Beta | PoF | Keandalan |
| 1 | PAAra001 | (-)144-1 | 2.547 | 0.005 | 0.995 |
| 2 | PAAra001 | (-)144-2 | 2.562 | 0.005 | 0.995 |
| 3 | PAAra001 | CSG-1 | 2.484 | 0.006 | 0.994 |
| 4 | PAAra001 | CSG-2 | 2.979 | 0.001 | 0.999 |
| 5 | PAAra001 | CSG-3 | 2.856 | 0.002 | 0.998 |
| 6 | PAAra001 | CSG-5 | 2.554 | 0.005 | 0.995 |
| 7 | PAAra002 | CDG-5 | 2.448 | 0.007 | 0.993 |
| 8 | PAAra002 | CSG-6 | 2.453 | 0.007 | 0.993 |
| 9 | PAAra002 | CSG-11 | 2.678 | 0.004 | 0.996 |
| 10 | PAAra003 | CDG-4 | 2.455 | 0.007 | 0.993 |
| 11 | PAAra003 | CSG-13 | 2.444 | 0.007 | 0.993 |
| 12 | | | | | |
| 13 | | | | | |
| 14 | | | | | |
| 15 | | | | | |

| NO | Arah 240 | | | | |
|----|----------|----------|-------|-------|-----------|
| | Incremen | Member | Beta | PoF | Keandalan |
| 1 | PAAra001 | (-)144-1 | 2.640 | 0.004 | 0.996 |
| 2 | PAAra001 | CSG-1 | 2.530 | 0.006 | 0.994 |
| 3 | PAAra001 | CSG-2 | 2.259 | 0.012 | 0.988 |
| 4 | PAAra001 | CSG-11 | 2.540 | 0.006 | 0.994 |
| 5 | PAAra002 | (-)144-2 | 2.397 | 0.008 | 0.992 |
| 6 | PAAra002 | CSG-10 | 2.662 | 0.004 | 0.996 |
| 7 | PAAra002 | CDG-4 | 2.428 | 0.008 | 0.992 |
| 8 | PAAra002 | CDG-6 | 2.474 | 0.007 | 0.993 |
| 9 | PAAra002 | CSG-14 | 2.626 | 0.004 | 0.996 |
| 10 | PAAra002 | CSG-9 | 2.457 | 0.007 | 0.993 |
| 11 | PAAra002 | CSG-8 | 2.412 | 0.008 | 0.992 |
| 12 | PAAra002 | CSG-12 | 2.468 | 0.007 | 0.993 |
| 13 | | | | | |
| 14 | | | | | |
| 15 | | | | | |

| NO | Arah 270 | | | | |
|----|----------|----------|-------|-------|-----------|
| | Incremen | Member | Beta | PoF | Keandalan |
| 1 | PAAra001 | CSG-2 | 2.485 | 0.006 | 0.994 |
| 2 | PAAra001 | CSG-8 | 2.481 | 0.007 | 0.993 |
| 3 | PAAra001 | CSG-12 | 2.563 | 0.005 | 0.995 |
| 4 | PAAra001 | CSG-11 | 2.476 | 0.007 | 0.993 |
| 5 | PAAra002 | (-)144-1 | 2.668 | 0.004 | 0.996 |
| 6 | PAAra002 | (-)144-2 | 2.418 | 0.008 | 0.992 |
| 7 | PAAra002 | (-)144-3 | 2.417 | 0.008 | 0.992 |
| 8 | PAAra002 | CSG-10 | 2.517 | 0.006 | 0.994 |
| 9 | PAAra002 | CDG-4 | 2.412 | 0.008 | 0.992 |
| 10 | PAAra002 | CDG-6 | 2.412 | 0.008 | 0.992 |
| 11 | PAAra002 | CSG-14 | 2.568 | 0.005 | 0.995 |
| 12 | PAAra002 | CSG-9 | 2.382 | 0.009 | 0.991 |
| 13 | PAAra002 | CSG-7 | 2.527 | 0.006 | 0.994 |
| 14 | | | | | |
| 15 | | | | | |

| NO | Arah 300 | | | | |
|----|----------|----------|-------|-------|-----------|
| | Incremen | Member | Beta | PoF | Keandalan |
| 1 | PAAra001 | (-)144-1 | 2.642 | 0.004 | 0.996 |
| 2 | PAAra001 | CSG-2 | 2.568 | 0.005 | 0.995 |
| 3 | PAAra001 | CSG-3 | 2.522 | 0.006 | 0.994 |
| 4 | PAAra001 | CSG-8 | 2.546 | 0.005 | 0.995 |
| 5 | PAAra002 | (-)144-2 | 2.508 | 0.006 | 0.994 |
| 6 | PAAra002 | (-)144-3 | 2.399 | 0.008 | 0.992 |
| 7 | PAAra002 | CDG-4 | 2.475 | 0.007 | 0.993 |
| 8 | PAAra002 | CDG-6 | 2.432 | 0.008 | 0.992 |

| NO | Arah 330 | | | | |
|----|----------|----------|-------|-------|-----------|
| | Incremen | Member | Beta | PoF | Keandalan |
| 1 | PAAra001 | (-)144-1 | 2.544 | 0.005 | 0.995 |
| 2 | PAAra001 | (-)144-3 | 2.558 | 0.005 | 0.995 |
| 3 | PAAra001 | CSG-1 | 2.682 | 0.004 | 0.996 |
| 4 | PAAra001 | CSG-2 | 2.703 | 0.003 | 0.997 |
| 5 | PAAra001 | CSG-3 | 2.467 | 0.007 | 0.993 |
| 6 | PAAra001 | CSG-5 | 2.542 | 0.006 | 0.994 |
| 7 | PAAra002 | CDG-5 | 2.466 | 0.007 | 0.993 |
| 8 | PAAra002 | CSG-8 | 2.667 | 0.004 | 0.996 |

| | | | | | | | | | | | | |
|----|----------|--------|-------|-------|-------|--|----|----------|--------|-------|-------|-------|
| 9 | PAAra002 | CSG-14 | 2.627 | 0.004 | 0.996 | | 9 | PAAra002 | CSG-6 | 2.444 | 0.007 | 0.993 |
| 10 | PAAra002 | CSG-9 | 2.471 | 0.007 | 0.993 | | 10 | PAAra003 | CDG-6 | 2.466 | 0.007 | 0.993 |
| 11 | PAAra002 | CSG-7 | 2.677 | 0.004 | 0.996 | | 11 | PAAra003 | CSG-13 | 2.452 | 0.007 | 0.993 |
| 12 | PAAra002 | CSG-12 | 2.453 | 0.007 | 0.993 | | 12 | | | | | |
| 13 | PAAra002 | CSG-11 | 2.408 | 0.008 | 0.992 | | 13 | | | | | |
| 14 | PAAra003 | CSG-16 | 2.461 | 0.007 | 0.993 | | 14 | | | | | |
| 15 | | | | | | | 15 | | | | | |

Dari Tabel 4.8 terlihat bahwa CSG-2 merupakan member terkritis dengan nilai keandalan 0.988 terjadi pada arah 240 derajat. Sedangkan pada keandalan menurut API RP 2A LRFD, 1st edition ditunjukkan sebagai berikut :

Tabel 4.9. Moda Keruntuhan dan Keandalan Member

Hasil Analisis API RP 2A LRFD, 1st edition

| NO | Arah 0 | | | | |
|----|----------|----------|-------|-------|-----------|
| | Incremen | Member | Beta | PoF | Keandalan |
| 1 | PAInc002 | (-)144-3 | 2.441 | 0.007 | 0.993 |
| 2 | PAInc002 | CSG-1 | 2.314 | 0.010 | 0.990 |
| 3 | PAInc002 | CSG-3 | 2.348 | 0.009 | 0.991 |
| 4 | PAInc003 | CSG-8 | 2.234 | 0.013 | 0.987 |
| 5 | PAInc004 | (-)144-1 | 2.312 | 0.010 | 0.990 |
| 6 | PAInc004 | CSG-5 | 2.300 | 0.011 | 0.989 |
| 7 | PAInc005 | CDG-5 | 2.629 | 0.004 | 0.996 |
| 8 | | | | | |
| 9 | | | | | |
| 10 | | | | | |

| NO | Arah 30 | | | | |
|----|----------|----------|-------|-------|-----------|
| | Incremen | Member | Beta | PoF | Keandalan |
| 1 | PAInc002 | CSG-1 | 2.424 | 0.008 | 0.992 |
| 2 | PAInc003 | (-)144-1 | 2.357 | 0.009 | 0.991 |
| 3 | PAInc003 | CSG-8 | 2.251 | 0.012 | 0.988 |
| 4 | PAInc003 | CSG-5 | 2.203 | 0.014 | 0.986 |
| 5 | PAInc004 | CSG-6 | 2.229 | 0.013 | 0.987 |
| 6 | PAInc004 | (-)144-2 | 2.296 | 0.011 | 0.989 |
| 7 | | | | | |
| 8 | | | | | |
| 9 | | | | | |
| 10 | | | | | |

| NO | Arah 60 | | | | |
|----|----------|----------|-------|-------|-----------|
| | Incremen | Member | Beta | PoF | Keandalan |
| 1 | PAInc002 | (-)144-3 | 2.793 | 0.003 | 0.997 |
| 2 | PAInc002 | CSG-1 | 2.310 | 0.010 | 0.990 |
| 3 | PAInc002 | CSG-2 | 2.300 | 0.011 | 0.989 |
| 4 | PAInc002 | CSG-5 | 2.283 | 0.011 | 0.989 |
| 5 | PAInc003 | (-)144-2 | 2.297 | 0.011 | 0.989 |
| 6 | PAInc004 | CDG-4 | 2.313 | 0.010 | 0.990 |
| 7 | PAInc004 | CSG-8 | 2.292 | 0.011 | 0.989 |
| 8 | PAInc004 | CSG-6 | 2.270 | 0.012 | 0.988 |
| 9 | PAInc005 | CSG-9 | 2.311 | 0.010 | 0.990 |
| 10 | | | | | |

| NO | Arah 90 | | | | |
|----|----------|----------|-------|-------|-----------|
| | Incremen | Member | Beta | PoF | Keandalan |
| 1 | PAInc001 | CSG-2 | 2.616 | 0.004 | 0.996 |
| 2 | PAInc002 | (-)144-2 | 2.354 | 0.009 | 0.991 |
| 3 | PAInc002 | (-)144-3 | 2.353 | 0.009 | 0.991 |
| 4 | PAInc002 | CSG-1 | 2.442 | 0.007 | 0.993 |
| 5 | PAInc002 | CSG-3 | 2.413 | 0.008 | 0.992 |
| 6 | PAInc003 | CSG-8 | 2.274 | 0.011 | 0.989 |
| 7 | PAInc003 | CSG-11 | 2.271 | 0.012 | 0.988 |
| 8 | PAInc003 | CSG-5 | 2.553 | 0.005 | 0.995 |
| 9 | PAInc004 | CDG-4 | 2.307 | 0.011 | 0.989 |
| 10 | PAInc004 | CDG-6 | 2.307 | 0.011 | 0.989 |

| NO | Arah 120 | | | | |
|----|----------|----------|-------|-------|-----------|
| | Incremen | Member | Beta | PoF | Keandalan |
| 1 | PAInc002 | (-)144-2 | 2.417 | 0.008 | 0.992 |
| 2 | PAInc002 | CSG-2 | 2.283 | 0.011 | 0.989 |
| 3 | PAInc002 | CSG-3 | 2.297 | 0.011 | 0.989 |
| 4 | PAInc002 | CSG-5 | 2.285 | 0.011 | 0.989 |
| 5 | PAInc003 | (-)144-3 | 2.295 | 0.011 | 0.989 |
| 6 | PAInc004 | CDG-6 | 2.319 | 0.010 | 0.990 |
| 7 | PAInc004 | CSG-18 | 2.413 | 0.008 | 0.992 |

| NO | Arah 150 | | | | |
|----|----------|----------|-------|-------|-----------|
| | Incremen | Member | Beta | PoF | Keandalan |
| 1 | PAInc002 | CSG-3 | 2.244 | 0.012 | 0.988 |
| 2 | PAInc002 | CSG-11 | 2.309 | 0.010 | 0.990 |
| 3 | PAInc002 | CSG-5 | 2.261 | 0.012 | 0.988 |
| 4 | PAInc003 | (-)144-1 | 2.307 | 0.011 | 0.989 |
| 5 | PAInc003 | (-)144-3 | 2.320 | 0.010 | 0.990 |
| 6 | PAInc003 | CSG-6 | 2.251 | 0.012 | 0.988 |
| 7 | | | | | |

| | | | | | | | | | | | | |
|----|----------|--------|-------|-------|-------|--|----|--|--|--|--|--|
| 8 | PAInc004 | CSG-6 | 2.272 | 0.012 | 0.988 | | 8 | | | | | |
| 9 | PAInc005 | CSG-12 | 2.307 | 0.011 | 0.989 | | 9 | | | | | |
| 10 | PAInc005 | CSG-11 | 2.265 | 0.012 | 0.988 | | 10 | | | | | |

| NO | Arah 180 | | | | |
|----|----------|----------|-------|-------|-----------|
| | Incremen | Member | Beta | PoF | Keandalan |
| 1 | PAInc002 | (-)144-2 | 3.001 | 0.001 | 0.999 |
| 2 | PAInc002 | CSG-1 | 2.669 | 0.004 | 0.996 |
| 3 | PAInc002 | CSG-3 | 2.311 | 0.010 | 0.990 |
| 4 | PAInc003 | (-)144-1 | 2.288 | 0.011 | 0.989 |
| 5 | PAInc003 | CDG-5 | 2.337 | 0.010 | 0.990 |
| 6 | PAInc003 | CSG-11 | 2.564 | 0.005 | 0.995 |
| 7 | PAInc004 | CSG-18 | 2.410 | 0.008 | 0.992 |
| 8 | PAInc004 | CSG-6 | 2.299 | 0.011 | 0.989 |
| 9 | PAInc006 | CSG-10 | 2.393 | 0.008 | 0.992 |
| 10 | PAInc006 | CSG-5 | 2.278 | 0.011 | 0.989 |

| NO | Arah 210 | | | | |
|----|----------|----------|-------|-------|-----------|
| | Incremen | Member | Beta | PoF | Keandalan |
| 1 | PAInc001 | CSG-1 | 2.641 | 0.004 | 0.996 |
| 2 | PAInc002 | (-)144-1 | 2.352 | 0.009 | 0.991 |
| 3 | PAInc002 | (-)144-2 | 2.367 | 0.009 | 0.991 |
| 4 | PAInc002 | CSG-2 | 2.436 | 0.007 | 0.993 |
| 5 | PAInc002 | CSG-3 | 2.583 | 0.005 | 0.995 |
| 6 | PAInc003 | CSG-5 | 2.246 | 0.012 | 0.988 |
| 7 | | | | | |
| 8 | | | | | |
| 9 | | | | | |
| 10 | | | | | |

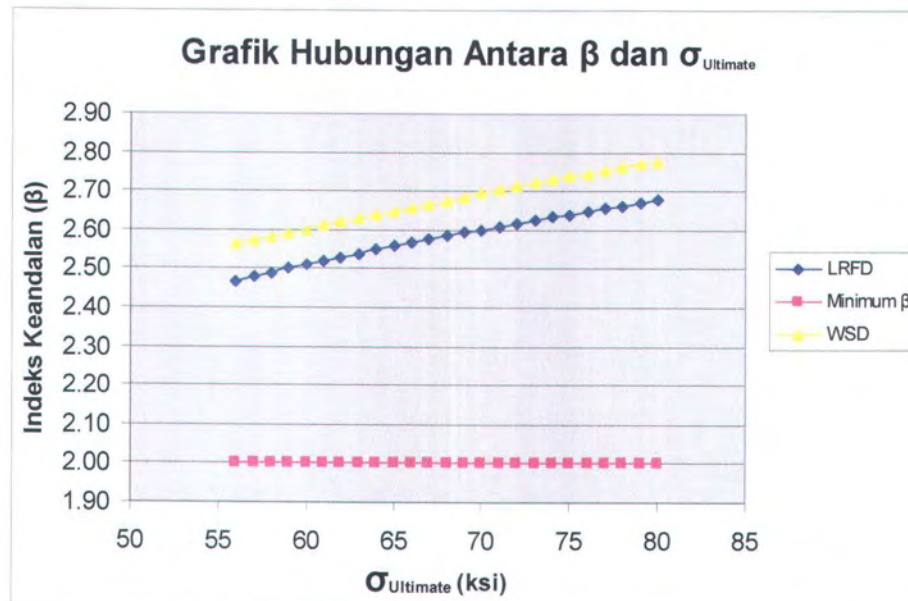
| NO | Arah 240 | | | | |
|----|----------|----------|-------|-------|-----------|
| | Incremen | Member | Beta | PoF | Keandalan |
| 1 | PAInc002 | (-)144-1 | 2.422 | 0.008 | 0.992 |
| 2 | PAInc002 | CSG-1 | 2.303 | 0.011 | 0.989 |
| 3 | PAInc002 | CSG-2 | 2.316 | 0.010 | 0.990 |
| 4 | PAInc002 | CSG-11 | 2.283 | 0.011 | 0.989 |
| 5 | PAInc003 | (-)144-2 | 2.300 | 0.011 | 0.989 |
| 6 | PAInc004 | CDG-4 | 2.298 | 0.011 | 0.989 |
| 7 | PAInc004 | CSG-8 | 2.555 | 0.005 | 0.995 |
| 8 | PAInc005 | CDG-6 | 2.297 | 0.011 | 0.989 |
| 9 | PAInc005 | CSG-9 | 2.311 | 0.010 | 0.990 |
| 10 | PAInc005 | CSG-12 | 2.227 | 0.013 | 0.987 |

| NO | Arah 270 | | | | |
|----|----------|----------|-------|-------|-----------|
| | Incremen | Member | Beta | PoF | Keandalan |
| 1 | PAInc002 | CSG-2 | 2.258 | 0.012 | 0.988 |
| 2 | PAInc002 | CSG-8 | 2.285 | 0.011 | 0.989 |
| 3 | PAInc002 | CSG-11 | 2.285 | 0.011 | 0.989 |
| 4 | PAInc003 | (-)144-2 | 2.311 | 0.010 | 0.990 |
| 5 | PAInc003 | (-)144-3 | 2.311 | 0.010 | 0.990 |
| 6 | PAInc003 | CDG-4 | 2.321 | 0.010 | 0.990 |
| 7 | PAInc003 | CDG-6 | 2.321 | 0.010 | 0.990 |
| 8 | PAInc004 | CSG-9 | 2.254 | 0.012 | 0.988 |
| 9 | PAInc004 | CSG-12 | 2.254 | 0.012 | 0.988 |
| 10 | | | | | |

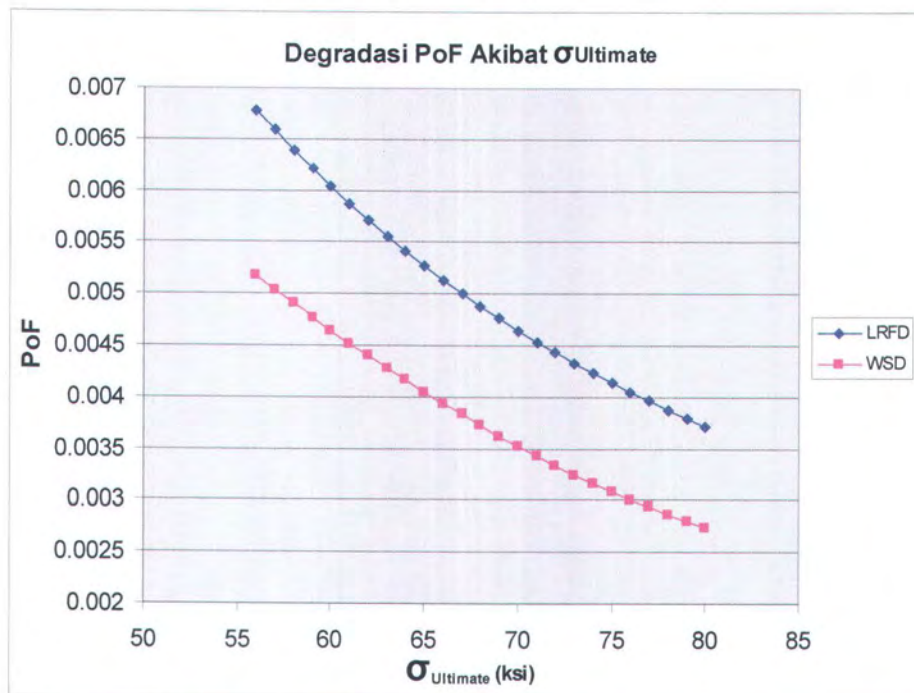
| NO | Arah 300 | | | | |
|----|----------|----------|-------|-------|-----------|
| | Incremen | Member | Beta | PoF | Keandalan |
| 1 | PAInc002 | (-)144-1 | 2.424 | 0.008 | 0.992 |
| 2 | PAInc002 | CSG-2 | 2.319 | 0.010 | 0.990 |
| 3 | PAInc002 | CSG-3 | 2.316 | 0.010 | 0.990 |
| 4 | PAInc002 | CSG-8 | 2.285 | 0.011 | 0.989 |
| 5 | PAInc003 | (-)144-3 | 2.301 | 0.011 | 0.989 |
| 6 | PAInc004 | CDG-6 | 2.314 | 0.010 | 0.990 |
| 7 | PAInc004 | CSG-11 | 2.309 | 0.010 | 0.990 |
| 8 | | | | | |
| 9 | | | | | |
| 10 | | | | | |

| NO | Arah 330 | | | | |
|----|----------|----------|-------|-------|-----------|
| | Incremen | Member | Beta | PoF | Keandalan |
| 1 | PAInc001 | CSG-3 | 2.647 | 0.004 | 0.996 |
| 2 | PAInc002 | (-)144-1 | 2.351 | 0.009 | 0.991 |
| 3 | PAInc002 | (-)144-3 | 2.364 | 0.009 | 0.991 |
| 4 | PAInc002 | CSG-1 | 2.675 | 0.004 | 0.996 |
| 5 | PAInc002 | CSG-2 | 2.440 | 0.007 | 0.993 |
| 6 | | | | | |
| 7 | | | | | |
| 8 | | | | | |
| 9 | | | | | |
| 10 | | | | | |

Hasil perhitungan keandalan API RP 2A LRFD,1stedition yang ditunjukkan pada Tabel 4.9 secara keseluruhan indeks keandalannya lebih kecil daripada keandalan API RP 2A WSD,21stedition. Hal ini disebabkan besarnya beban lingkungan yang digunakan sebagai *load incremen*. Grafik perbandingan indeks keandalan dan PoF antara API RP 2A WSD,21stedition dan API RP 2A LRFD,1stedition ditunjukkan sebagai berikut :



Gambar 4.2. Grafik Hubungan β dan σ_{Ultimate} member CSG-1 pada arah 330° .



Gambar 4.3. Grafik Degradasi PoF member CSG-1 pada arah 330° .

Setelah diketahui keandalan tiap-tiap member maka dapat dilanjutkan dengan analisa keandalan sistem. Keandalan sistem dicari dengan mengelompokkan dalam bentuk seri-pararel. Tiap member yang gagal dalam satu inkremen akan diseri dan antara member yang gagal dengan inkremen yang berbeda akan dipararel sehingga didapat keandalan ataupun nilai PoF 12 arah pembebanan

Tabel 4.10. Keandalan Sistem Jacket APN-D

| KEANDALAN SISTEM JACKET APN-D | | |
|-------------------------------|---|---|
| Arah | API RP 2A WSD,21 st edition | API RP 2A LRFD,1 st edition |
| 0° | 0.999989798 | 0.999992901 |
| 30° | 0.999980099 | 0.999998914 |
| 60° | 1.000000000 | 0.99999982 |
| 90° | 0.999990658 | 0.999979121 |
| 120° | 0.999999911 | 0.999999797 |
| 150° | 0.999992512 | 0.999999888 |
| 180° | 0.999999901 | 1.000000000 |
| 210° | 0.99999648 | 0.999996317 |
| 240° | 0.999999935 | 0.999999617 |
| 270° | 0.999986557 | 0.99996698 |
| 300° | 0.999999917 | 0.999992293 |
| 330° | 0.999994121 | 0.999997239 |

Dari Tabel 4.10. diketahui bahwa nilai keandalan dari struktur APN-D hasil analisis API RP 2A LRFD,1stedition mempunyai harga yang hampir sama dengan hasil analisis API RP 2A WSD,21stedition terendah adalah 0.99996698 atau dengan nilai yang sama harga PoF sebesar 3.3×10^{-5} , harga ini masih berada pada range *target reliability* untuk kondisi ULS, yaitu antara 1×10^{-5} sampai 2×10^{-3} . *Target reliability* ini merupakan harga untuk North Sea karena di Indonesia belum ada harga untuk *target reliability*. Range harga ini didapat dari penelitian yang dilakukan oleh DNV dan API RP 2A sehingga untuk kondisi di Indonesia masih bisa diterima.

Dari perhitungan keandalan, kita dapat juga menghitung tegangan ultimate tiap member seperti pada Tabel 4.11 berikut :

Tabel 4.11 Tegangan Ultimate Beberapa Member

| Member | API RP 2A WSD,21 st edition | API RP 2A LRFD,1 st edition |
|----------|---|---|
| | Tegangan Ultimate (KSI) | Tegangan Ultimate (KSI) |
| (-)144-2 | 36.65 | 40.26 |
| (-)144-3 | 36.64 | 40.34 |
| CSG-8 | 37.23 | 45.93 |

| | | |
|--------|-------|-------|
| CSG-11 | 37.11 | 46.12 |
| CDG-4 | 35.27 | 47.11 |
| CDG-6 | 35.32 | 47.09 |

Pada Tabel 4.11 diatas dapat dikatakan bahwa untuk member yang sama dengan analisis LRFD, member akan lebih jauh melewati batas tegangan ijin daripada analisis WSD. Sehingga untuk analisa LRFD sebuah member akan dapat mengalami plastic hinge daripada dengan analisa WSD.

Dalam analisa keandalan tiap member, tidak semua member melampaui peluang kegagalannya karena adanya *redundancy* struktur. *Redundancy* struktur ini dapat digambarkan dalam *redundancy system* (SR) yaitu beban pada saat struktur runtuh seluruhnya dibagi dengan beban yang bekerja pada saat pertama kali terjadi kegagalan pada satu member sehingga mengakibatkan *instability* pada struktur yaitu gejala *plastic hinge* pada member *jacket*. Harga SR untuk tiap-tiap arah pembebanan dapat dilihat pada Tabel 4.11.

Tabel 4.12. System Redundancy

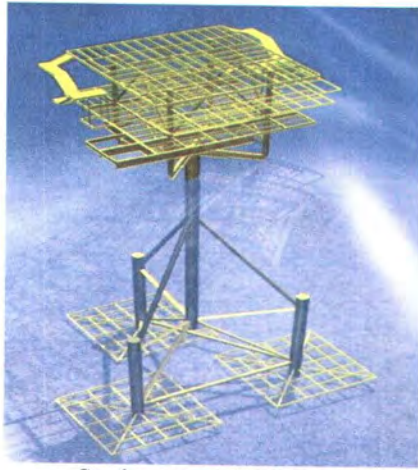
| DIRECTIONS | <i>System Redundancy</i> | |
|------------|---|---|
| | API RP 2A WSD,21 st edition | API RP 2A LRFD,1 st edition |
| 0 ° | 2.00 | 1.24 |
| 30 ° | 2.00 | 1.21 |
| 60 ° | 1.07 | 1.50 |
| 90 ° | 2.00 | 1.37 |
| 120 ° | 1.25 | 1.50 |
| 150 ° | 2.00 | 1.35 |
| 180 ° | 1.25 | 1.50 |
| 210 ° | 2.00 | 1.37 |
| 240 ° | 1.25 | 1.50 |
| 270 ° | 2.00 | 1.36 |
| 300 ° | 1.06 | 1.36 |
| 330 ° | 2.00 | 1.20 |

Dari Tabel 4.12 harga *system redundancy* terkecil pada kedua analisa tersebut adalah 1.06 pada arah 300°. Harga ini divalidasi dengan harga yang pernah diteliti oleh Bomel.Ltd (2003) di perairan North Sea sebesar 1.04, harga ini masih bisa diterima untuk kondisi perairan di Indonesia yang memang beban lingkungannya relatif lebih kecil dari North Sea.

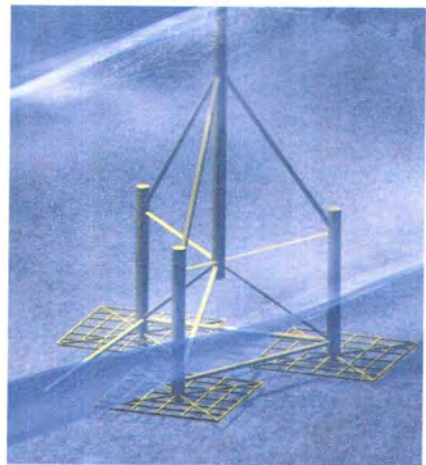


4.4. Keruntuhan Struktur

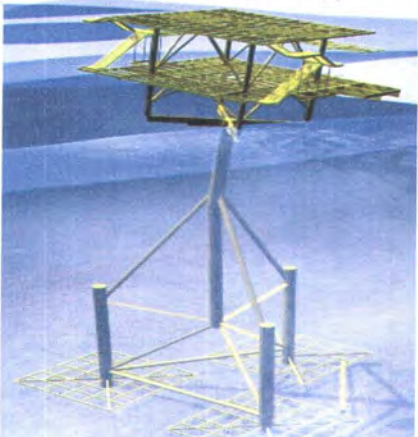
Setelah analisa pushover maka dapat dilihat keruntuhan struktur APN-D yang dimulai dengan adanya kegagalan member awal. Dengan kenaikan beban yang semakin besar maka kegagalan member semakin bertambah sehingga struktur tersebut akan *collapse*. Urutan keruntuhan struktur APN-D dapat dilihat pada gambar berikut :



Struktur awal APN-D (a)



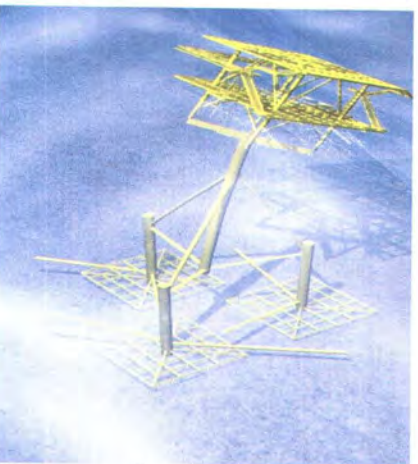
Member (-)144-1 gagal pada inkremen 2 (b)



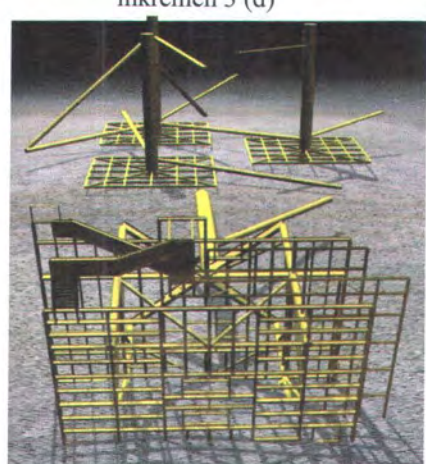
Ketidakstabilan struktur terdeteksi (c)



Member (-)144-2, CSG-1, CSG-2 gagal pada inkremen 3 (d)



Keadaan struktur sebelum *collapse* (e)



Struktur *collapse* setelah member CSG-3 gagal pada inkremen 5 (f)

Gambar 4.4 Animasi Keruntuhan Struktur APN-D Pada Arah Pembebanan 330°

Keruntuhan struktur APN-D dipengaruhi kenaikan beban lingkungan (beban gelombang) dan adanya *plastic hinge* pada material jacket.

Pada awal design level struktur ini belum mengalami kegagalan pada membernya, kemudian dengan kenaikan beban gelombang (*inkremen* 2) maka member pada jacket mengalami peningkatan tegangan sehingga pada member (-)144-1 gagal. Member (-)144-1 belum mengalami plastic hinge seluruhnya pada *inkremen* 1 tetapi setelah *inkremen* 2 *plastic hinge* terbentuk 100% sehingga member ini mengalami gagal. (Gambar 4.4 (b))

Setelah member (-)144-1 gagal maka distribusi beban sudah tidak merata yang artinya struktur APN-D ini mengalami *instability* (ketidakstabilan) atau sebagian member pada jacket struktur mengalami plastic hinge. (Gambar 4.4 (c))

Pada penambahan beban untuk yang ke 3 maka kegagalan terjadi pada member (-)144-2, CSG-1, CSG-2. Kegagalan member ini dikarenakan *overstress* akibat distribusi beban yang tidak merata sehingga member mengalami *plastic hinge* dan mencapai *limit load* atau kekakuan member mencapai 0, sehingga kekakuan global struktur juga akan mendekati 0 karena sudah 4 member gagal maka pada penambahan beban ke-5 member CSG-3 akan gagal karena konfigurasi dari struktur sudah berubah banyak dan struktur benar-benar tidak mampu lagi menahan beban dan menyebabkan kegagalan seluruh struktur (*collapse*).



BAB V

KESIMPULAN DAN SARAN

BAB V

KESIMPULAN DAN SARAN

5.1. Kesimpulan

Berdasarkan hasil studi analisa pushover yang dilakukan pada Struktur APN-D dengan beban gelombang kondisi ekstrem *load increment* diperoleh kesimpulan sebagai berikut :

1. Nilai *Reserve Strength Ratio* Struktur APN-D sebesar 3.75 hasil analisis API RP 2A WSD,21st edition dan 2.4 hasil analisis API RP 2A LRFD,1st edition. Nilai RSR untuk kedua code tersebut mempunyai harga diatas nilai minimum RSR yang disyaratkan sebesar 1.6 sehingga dapat disimpulkan bahwa struktur tersebut aman dan tidak perlu adanya mitigasi untuk kondisi *ultimate limit state*.
2. Keandalan member hasil analisis LRFD sebesar 0.986 terdapat pada member CSG-5 pada arah 30°, hasil ini lebih kecil daripada keandalan member hasil analisis WSD yaitu sebesar 0.988 yang terjadi pada member CSG-2 pada arah 240°. Nilai keandalan member untuk kedua hasil analisis tersebut masih berada pada batas aman yaitu lebih besar dari 0.97725 seperti yang disyaratkan oleh target reliability. Sedangkan nilai keandalan sistem hasil analisis LRFD sebesar 0.99996698 dan hasil analisis WSD sebesar 0.999980099, nilai ini juga masih berada pada batas aman yaitu dari 0.98 seperti yang disyaratkan.
3. Nilai tegangan *ultimate* material hasil analisis LRFD sebesar 45.93 ksi dan untuk analisis WSD sebesar 37.23 ksi untuk member CSG-8 pada arah 330°. Nilai tersebut dapat membuktikan bahwa dengan menggunakan *API RP 2A-LRFD* sebagai referensi maka akan diperoleh desain akhir yang lebih rasional dan distribusi beban akan lebih merata bila dibandingkan dengan menggunakan *API RP 2A-WSD*.

5.2 Saran

1. Studi kekuatan anjungan struktur APN-D ini hanya mempertimbangkan beban lingkungan sebagai beban lateral yang dijadikan sebagai beban *ultimate*, sedangkan untuk beban lateral masih ada beban *seismic*, beban *thermal*. Untuk itu masih perlu dilakukan analisa *push over* untuk kombinasi antara kondisi *seismic* dan beban *thermal*.

2. Analisa keandalan struktur dikembangkan dengan mempertimbangkan kegagalan *fatigue*, sehingga perlu dilakukan analisa kombinasi keandalan *ultimate limit* dan *fatigue limit*.



DAFTAR PUSTAKA

DAFTAR PUSTAKA

- ABS. 2004. **Guidance Notes on Dynamic Analysis Procedure for Self-Elevating Drilling Units.**
- American Petroleum Institute. 1993. **Recommended Practice For Planning, Designing and Constructing Fixed Offshore Platform-Load and Resistance Factor Design, API Recommended Practice 2A (RP 2A) LRFD.**
- American Petroleum Institute. 2000. **Recommended Practice For Planning and Constructing Fixed Offshore Platform-Working Stress Design, API Recommended Practice 2A (RP 2A) WSD.**
- Bomel Ltd. 2003 "System-Based Calibration of North West European Annex Environmental Load Factors for ISO Fixed Steel Offshore Structures Code 19902". Report Joint Industry Project with Health and Safety Executive no 87.
- Bramlette, M dan Reifel, M.D (1986). **Planning an Design of Fixed Offshore Structure.** Houston, Texas.
- Chakrabarty, S. K. 1987. **Hydrodynamics of Offshore Structure.** Computational Mechanics Publications Southampton. Boston. USA.
- Dawson, T. H. 1983. **Offshore Structural Engineering.** Prentice-Hall Inc. Engelwood Clifts. New Jersey. USA.
- Ditjen-Migas. 2004. **Workshop Pemeriksaan Teknis Anjungan Lepas Pantai Pasca Umur Perencanaan.** Bandung.
- GT Strudl Users Group. 2003. **GTSTRUDL Pushover Analysis-How Do You Do It? What Do You Get?,** Clearwater Beach, FL.
- Health and Safety Executive (1999). **Target Levels for Reliability-Based Assessment of Structure during Design and Operation,** Norwich.
- Health and Safety Executive (2003). **Component-based calibration of North West European annex environmental load factors for the ISO fixed steel offshore structures code 19902.** Norwich
- Logan,L.D. 1985. **Finite Element Method.** Rose-Human Institut of Technology.
- Mori Y. and B. Ellingwood (1993). "Reliability-based Service-life Assessment of Aging Concrete Structures," J. Str. Engrg., ASCE, 119(5), pp.1600-1621.

- Murdjito. 1996. **Diktat Pengantar Bangunan Lepas Pantai**. Kursus Segitiga Biru ITS-Unhas-Unpati. FTK ITS. Surabaya.
- Murdjito. 1997. **Inovasi dalam Perancangan Jack-Up Platform untuk Perairan Dalam**. Lembaga Penelitian ITS. Surabaya.
- Nugraha, O.D.K (2002). Studi Perbandingan Kekuatan Struktur Fixed Jacket Steel Platform Terhadap Aplikasi API RP 2A-LRFD Dengan API RP 2A-WSD. **Tugas Akhir**, Jurusan Teknik Kelautan FTK-ITS, Surabaya.
- Popov. E.P, 1995. **Mekanika Teknik**, Penerbit Erlangga, Jakarta.
- Rosyid, D.M dan Muhktasor, 2002. **Diktat Kuliah Analisa Keandalan**, Jurusan Teknik Kelautan, ITS, Surabaya.
- Soedjono, J. J. 1999. **Perancangan Sistem Bangunan Laut**. Fakultas Teknologi Kelautan ITS. Surabaya.
- Sutomo, Jusuf. 2003. **Diktat Kuliah Kelelahan dan Kepecahan**, Jurusan Teknik Kelautan, ITS, Surabaya.
- Timoshenko, S. 1940. **Theory of Plate and Shell, 2nd Edition**. McGraw-Hill. New York. USA.
- Waluyo, P.R (2003). **Diktat Kuliah Finite Element Model**. Jurusan Teknik Kelautan FTK-ITS, Surabaya.



LAMPIRAN
INPUT PEMODELAN
GT STRUDL ARAH 0°

Input pemodelan GT Strudl arah 0°

```

$ SELOS      'APN-D PLATFORM/BP WEST JAVA'
$ OUTPUT UNITS ENGLISH
$ SAVE LOADINGS
$ PRINT LOADING TOTALS ONLY LOAD REFERENCE JOINT 'MUD'
$ IDENTIFY UNRECOGNIZED COMMANDS
$ MEMBER DRAG FORCE PRESSURE RESOLUTION
STRUUL   'APND'      'INPLACE ANALYSIS'
$#
$# This GTSTRUUL file created from GTMens on 04/23/2006
$#
UNITS MM    TONS DEG   FAH
$#
$#
JOINT COORDINATES GLOBAL
 3301    0.000000E+00  4.5719924E+00  0.000000E+00
 2041    0.000000E+00 -8.1679878E+00  0.000000E+00
1071    0.000000E+00 -3.2003994E+01  0.000000E+00
2201   -1.0394000E+01 -4.4069000E+01 -6.0010004E+00
2202    1.0394000E+01 -4.4069000E+01 -6.0010004E+00
2203    0.000000E+00 -4.4069000E+01  1.2002001E+01
10122   1.0393991E+01 -2.8955973E+01 -6.0009947E+00
10121   -1.0393991E+01 -2.8955973E+01 -6.0009947E+00
10123   0.000000E+00 -2.8955973E+01  1.2001990E+01
1061    0.000000E+00 -3.3584961E+01  0.000000E+00
1101   -1.0394000E+01 -4.5971016E+01 -6.0010004E+00
1102   -1.0394000E+01 -4.5971016E+01 -6.0010004E+00
1103    0.000000E+00 -4.5971016E+01  1.2002001E+01
1104    6.7499952E+00 -4.5970985E+01  1.8751989E+01
1105   -6.7499952E+00 -4.5970985E+01  1.8751989E+01
1106    6.7499952E+00 -4.5970985E+01  5.2519970E+00
1107   -6.7499952E+00 -4.5970985E+01  5.2519970E+00
1108    6.7499990E+00 -4.5971016E+01  1.2002001E+01
1109    0.000000E+00 -4.5970985E+01  5.2519970E+00
11010   -6.7499990E+00 -4.5971016E+01  1.2002001E+01
11011   0.000000E+00 -4.5970985E+01  1.8751989E+01
10131    0.000000E+00 -3.0346972E+01  0.000000E+00
2031    0.000000E+00 -1.0500000E+01  0.000000E+00
3302   -1.5129977E+00  4.5719924E+00  1.8599972E+01
3303   1.5129977E+00  4.5719924E+00  1.8599972E+01
10141    0.000000E+00 -2.5642002E+01  0.000000E+00
116     0.000000E+00  6.6999865E+01  0.000000E+00
2021    0.000000E+00 -1.1204990E+01  0.000000E+00
3304   5.0289922E+00  4.5719924E+00 -5.0289922E+00
3305   5.0289922E+00  4.5719924E+00 -5.0289922E+00
3306   -5.0289922E+00  4.5719924E+00  5.0289922E+00
3307   -5.0289922E+00  4.5719924E+00 -5.0289922E+00
4401   5.0289955E+00  1.1429991E+01  5.0289955E+00
4402   5.0289955E+00  1.1429991E+01 -5.0289955E+00
4403   -5.0289955E+00  1.1429991E+01 -5.0289955E+00
4404   -5.0289955E+00  1.1429991E+01 -6.0769930E+00
4405   5.0289955E+00  1.1429991E+01 -6.0769930E+00
4406   -8.0769930E+00  1.1429991E+01 -6.0769930E+00
4407   8.0769930E+00  1.1429991E+01 -6.0769930E+00
4408   8.0769930E+00  1.1429991E+01 -5.0289955E+00
4409   -8.0769930E+00  1.1429991E+01 -5.0289955E+00
44010   -8.0769930E+00  1.1429991E+01 -7.0609932E+00
44011   -8.0769930E+00  1.1429991E+01 -6.0449944E+00
44012   -5.0289955E+00  1.1429991E+01 -7.0609932E+00
44013   -5.0289955E+00  1.1429991E+01 -6.0449944E+00
44014   5.0289955E+00  1.1429991E+01 -7.0609932E+00
44015   5.0289955E+00  1.1429991E+01 -6.0449944E+00
44016   8.0769930E+00  1.1429991E+01 -7.0609932E+00
44017   8.0769930E+00  1.1429991E+01 -6.0449944E+00
44018   -2.1329982E+00  1.1429991E+01 -8.0769930E+00
44019   0.000000E+00  1.1429991E+01 -8.0769930E+00
44020   2.1329982E+00  1.1429991E+01 -8.0769930E+00
44021   -2.1329982E+00  1.1429991E+01 -7.0609932E+00
44022   0.000000E+00  1.1429991E+01 -7.0609932E+00
44023   2.1329982E+00  1.1429991E+01 -7.0609932E+00
44024   -2.1329982E+00  1.1429991E+01 -6.0449944E+00
44025   0.000000E+00  1.1429991E+01 -6.0449944E+00
44026   2.1329982E+00  1.1429991E+01 -6.0449944E+00
44027   -2.1329982E+00  1.1429991E+01 -5.0289955E+00
44028   0.000000E+00  1.1429991E+01 -5.0289955E+00
44029   2.1329982E+00  1.1429991E+01 -5.0289955E+00
5501   -3.1999972E+00  1.4429981E+01  2.5139971E+00
5502   3.1999972E+00  1.4429981E+01  2.5139971E+00
5503   -3.1999972E+00  1.4429981E+01 -3.5809963E+00
5504   3.1999972E+00  1.4429981E+01 -3.5809963E+00
5505   -3.1999972E+00  1.4429981E+01 -2.5134971E+00
5506   -3.1999972E+00  1.4429981E+01 -1.1934991E+00
5507   -3.1999972E+00  1.4429981E+01 -1.2650000E-01
5508   -3.1999972E+00  1.4429981E+01 -1.4464991E+00
5509   3.1999972E+00  1.4429981E+01 -2.5134971E+00
55010   3.1999972E+00  1.4429981E+01 -1.1934991E+00
55011   3.1999972E+00  1.4429981E+01 -1.2650000E-01
55012   3.1999972E+00  1.4429981E+01 -1.4464991E+00
55013   -2.1329982E+00  1.4429981E+01 -3.5809963E+00
55014   -7.1099907E-01  1.4429981E+01 -3.5809963E+00
55015   7.1099907E-01  1.4429981E+01 -3.5809963E+00
55016   2.1329982E+00  1.4429981E+01 -3.5809963E+00
55017   -2.1329982E+00  1.4429981E+01  2.5139971E+00
55018   -7.1099907E-01  1.4429981E+01  2.5139971E+00
55019   7.1099907E-01  1.4429981E+01  2.5139971E+00
55020   2.1329982E+00  1.4429981E+01  2.5139971E+00
55021   2.1329982E+00  1.4429981E+01 -2.5134971E+00
55022   2.1329982E+00  1.4429981E+01 -1.1934991E+00
55023   2.1329982E+00  1.4429981E+01 -1.2650000E-01
55024   2.1329982E+00  1.4429981E+01 -1.4464991E+00
55025   7.1099907E-01  1.4429981E+01 -2.5134971E+00
55026   7.1099907E-01  1.4429981E+01 -1.4464991E+00
55027   -7.1100003E-01  1.4429981E+01 -2.5134971E+00
55028   -7.1100003E-01  1.4429981E+01 -1.4464991E+00
55029   -2.1329982E+00  1.4429981E+01 -2.5134971E+00
55030   -2.1329982E+00  1.4429981E+01 -1.1934991E+00
55031   -2.1329982E+00  1.4429981E+01 -1.2650000E-01
55032   -2.1329982E+00  1.4429981E+01 -1.4464991E+00
55033   8.0769930E+00  1.8897982E+01  8.0769930E+00
55034   8.0769930E+00  1.8897982E+01 -8.0769930E+00
55035   -8.0769930E+00  1.8897982E+01  8.0769930E+00
55036   -8.0769930E+00  1.8897982E+01 -8.0769930E+00
55037   5.0289955E+00  1.8897982E+01  5.0289955E+00
55038   5.0289955E+00  1.8897982E+01 -5.0289955E+00
55039   4.4030E+00   1.1977000E+01  1.1430000E+01
55040   4.4032E+00   1.1977000E+01  1.1430000E+01
55041   4.4033E+00   1.1977000E+01  1.1430000E+01
55042   4.4034E+00   1.1977000E+01  1.1430000E+01
    
```

| | | | | | | | |
|-------|----------------|---------------|----------------|-------|----------------|----------------|----------------|
| 44035 | 8.0769930E+00 | 1.1429991E+01 | -2.5149980E+00 | 3309 | 1.5239977E+00 | 4.5719924E+00 | -1.5239977E+00 |
| 44036 | -8.0769930E+00 | 1.1429991E+01 | -2.5149980E+00 | 33010 | -1.5239977E+00 | 4.5719924E+00 | -1.5239977E+00 |
| 44037 | 1.1977000E+01 | 1.1430000E+01 | -2.5150001E+00 | 33011 | -1.5129977E+00 | 4.5719924E+00 | 1.5129977E+00 |
| 44038 | 5.0289955E+00 | 1.1429991E+01 | -2.5149970E+00 | 33012 | 1.5129977E+00 | 4.5719924E+00 | 1.5129977E+00 |
| 44039 | -5.0289955E+00 | 1.1429991E+01 | -2.5149970E+00 | 2032 | 0.0000000E+00 | -1.0500000E+01 | -1.5240000E+00 |
| 44040 | 2.1329982E+00 | 1.1429991E+01 | 5.0289955E+00 | 10133 | 0.0000000E+00 | -3.0346972E+01 | -1.5239981E+00 |
| 44041 | 0.0000000E+00 | 1.1429991E+01 | 5.0289955E+00 | 10132 | 1.5129991E+00 | -3.0346972E+01 | 1.8600000E-01 |
| 44042 | -2.1329982E+00 | 1.1429991E+01 | 5.0289955E+00 | 10134 | -1.5129991E+00 | -3.0346972E+01 | 1.8600000E-01 |
| 44043 | 8.0769930E+00 | 1.1429991E+01 | -3.7719972E+00 | 2034 | 1.5130000E+00 | -1.0500000E+01 | 1.8600000E-01 |
| 44044 | 5.0289955E+00 | 1.1429991E+01 | -3.7719960E+00 | 2033 | -1.5130000E+00 | -1.0500000E+01 | 1.8600000E-01 |
| 44045 | -5.0289955E+00 | 1.1429991E+01 | -3.7719960E+00 | 2013 | 2.1650631E+00 | -1.2498131E+01 | -1.2500041E+00 |
| 44046 | -8.0769930E+00 | 1.1429991E+01 | -3.7719972E+00 | 2012 | 0.0000000E+00 | -1.2498131E+01 | 2.500072E+00 |
| 44047 | 2.1329982E+00 | 1.1429991E+01 | -3.7719960E+00 | 2011 | -2.1650631E+00 | -1.2498131E+01 | -1.2500041E+00 |
| 44048 | 0.0000000E+00 | 1.1429991E+01 | -3.7719960E+00 | 11012 | 0.0000000E+00 | -4.5970985E+01 | 9.2519932E+00 |
| 44049 | -2.1329982E+00 | 1.1429991E+01 | -3.7719960E+00 | 11013 | -6.749952E+00 | -4.5970985E+01 | 9.2519932E+00 |
| 44050 | 0.0000000E+00 | 1.1429991E+01 | -2.5149970E+00 | 11014 | 6.7499952E+00 | -4.5970985E+01 | 9.2519970E+00 |
| 44051 | 8.0769930E+00 | 1.1429991E+01 | 0.0000000E+00 | 11015 | 6.7499990E+00 | -4.5971016E+01 | 1.4752000E+01 |
| 44052 | -8.0769930E+00 | 1.1429991E+01 | 0.0000000E+00 | 11016 | 0.0000000E+00 | -4.5971016E+01 | 1.4752000E+01 |
| 44053 | 5.0289955E+00 | 1.1429991E+01 | 0.0000000E+00 | 11017 | -6.7499990E+00 | -4.5971016E+01 | 1.4752000E+01 |
| 44054 | -5.0289955E+00 | 1.1429991E+01 | 0.0000000E+00 | 11018 | 6.7499952E+00 | -4.5970985E+01 | 7.2519960E+00 |
| 44055 | 2.1329982E+00 | 1.1429991E+01 | 0.0000000E+00 | 11019 | 0.0000000E+00 | -4.5970985E+01 | 7.2519960E+00 |
| 44056 | -2.1329982E+00 | 1.1429991E+01 | 0.0000000E+00 | 11020 | -6.7499952E+00 | -4.5970985E+01 | 7.2519960E+00 |
| 44057 | 8.0769930E+00 | 1.1429991E+01 | -1.2574990E+00 | 11021 | 6.7499990E+00 | -4.5971016E+01 | 1.6752001E+01 |
| 44058 | 5.0289955E+00 | 1.1429991E+01 | -1.2574990E+00 | 11022 | 0.0000000E+00 | -4.5971016E+01 | 1.6752001E+01 |
| 44059 | 2.1329982E+00 | 1.1429991E+01 | -1.2574990E+00 | 11023 | -6.7499990E+00 | -4.5971016E+01 | 1.6752001E+01 |
| 44060 | -2.1329982E+00 | 1.1429991E+01 | -1.2574990E+00 | 11024 | 2.7499981E+00 | -4.5970985E+01 | 5.2519970E+00 |
| 44061 | -5.0289955E+00 | 1.1429991E+01 | -1.2574990E+00 | 11025 | -2.7499981E+00 | -4.5970985E+01 | 5.2519970E+00 |
| 44062 | 8.0769930E+00 | 1.1429991E+01 | 1.2569981E+00 | 11026 | 2.7499981E+00 | -4.5970985E+01 | 1.8751989E+01 |
| 44063 | -8.0769930E+00 | 1.1429991E+01 | 1.2569981E+00 | 11027 | -2.7499981E+00 | -4.5970985E+01 | 1.8751989E+01 |
| 44064 | 5.0289955E+00 | 1.1429991E+01 | 1.2569980E+00 | 11028 | 4.7500000E+00 | -4.5971016E+01 | 1.2002001E+01 |
| 44065 | 2.1329982E+00 | 1.1429991E+01 | 1.2584990E+00 | 11029 | 4.7499971E+00 | -4.5970985E+01 | 7.2519960E+00 |
| 44066 | -2.1329982E+00 | 1.1429991E+01 | 1.2584990E+00 | 11030 | 4.7500000E+00 | -4.5971016E+01 | 1.6752001E+01 |
| 44067 | -5.0289955E+00 | 1.1429991E+01 | 1.2584990E+00 | 11031 | 4.7499971E+00 | -4.5970985E+01 | 9.2519932E+00 |
| 44068 | 0.0000000E+00 | 1.1429991E+01 | 1.2569990E+00 | 11032 | 4.7500000E+00 | -4.5971016E+01 | 1.4752000E+01 |
| 44069 | 8.0769930E+00 | 1.1429991E+01 | 2.5149970E+00 | 11033 | 2.7499981E+00 | -4.5970985E+01 | 9.2519932E+00 |
| 44070 | -8.0769930E+00 | 1.1429991E+01 | 2.5149970E+00 | 11034 | 2.7500000E+00 | -4.5971016E+01 | 1.4752000E+01 |
| 44071 | 9.8769894E+00 | 1.1429991E+01 | 0.0000000E+00 | 11035 | 2.7500000E+00 | -4.5971016E+01 | 1.2002001E+01 |
| 44072 | 9.8769894E+00 | 1.1429991E+01 | 2.5149970E+00 | 11036 | 2.7499981E+00 | -4.5970985E+01 | 7.2519960E+00 |
| 44073 | 5.0289955E+00 | 1.1429991E+01 | 2.5149970E+00 | 11037 | 2.7500000E+00 | -4.5971016E+01 | 1.6752001E+01 |
| 44074 | 2.1329982E+00 | 1.1429991E+01 | 2.5149961E+00 | 11038 | -2.7500000E+00 | -4.5971016E+01 | 1.2002001E+01 |
| 44075 | -2.1329982E+00 | 1.1429991E+01 | 2.5149961E+00 | 11039 | -2.7499981E+00 | -4.5970985E+01 | 9.2519970E+00 |
| 44076 | -5.0289955E+00 | 1.1429991E+01 | 2.5149961E+00 | 11040 | -2.7500000E+00 | -4.5971016E+01 | 1.4752000E+01 |
| 44077 | -9.8769894E+00 | 1.1429991E+01 | 0.0000000E+00 | 11041 | -2.7499981E+00 | -4.5970985E+01 | 7.2519960E+00 |
| 44078 | -9.8769894E+00 | 1.1429991E+01 | 2.5149970E+00 | 11042 | -2.7499990E+00 | -4.5971016E+01 | 1.6752001E+01 |
| 44079 | 8.0769930E+00 | 1.1429991E+01 | 5.0289960E+00 | 11043 | -2.7500000E+00 | -4.5971016E+01 | 1.2002001E+01 |
| 44080 | -8.0769930E+00 | 1.1429991E+01 | 5.0289960E+00 | 11044 | -4.7499971E+00 | -4.5970985E+01 | 7.2519960E+00 |
| 44081 | 0.0000000E+00 | 1.1429991E+01 | 2.5149961E+00 | 11045 | -4.7500000E+00 | -4.5971016E+01 | 1.6752001E+01 |
| 44082 | 8.0769930E+00 | 1.1429991E+01 | 3.7719960E+00 | 11046 | -4.7499971E+00 | -4.5970985E+01 | 9.2519932E+00 |
| 44083 | 5.0289955E+00 | 1.1429991E+01 | 3.7719960E+00 | 11047 | -4.7500000E+00 | -4.5971016E+01 | 1.4752000E+01 |
| 44084 | 2.1329982E+00 | 1.1429991E+01 | 2.5149961E+00 | 11048 | -3.6439981E+00 | -4.5970985E+01 | 7.4899924E-01 |
| 44085 | 0.0000000E+00 | 1.1429991E+01 | 3.7719960E+00 | 11049 | -3.6439981E+00 | -4.5970985E+01 | -1.2509987E+00 |
| 44086 | -2.1329982E+00 | 1.1429991E+01 | 2.5149960E+00 | 11050 | -1.7144001E+01 | -4.5971016E+01 | -1.2751000E+01 |
| 44087 | -5.0289955E+00 | 1.1429991E+01 | 3.7719953E+00 | 11051 | -1.7144001E+01 | -4.5971016E+01 | -1.0751000E+01 |
| 44088 | -8.0769930E+00 | 1.1429991E+01 | 6.103944E+00 | 11052 | -1.0394000E+01 | -4.5971016E+01 | -8.7510014E+00 |
| 44089 | 3.580963E+00 | 1.1429991E+01 | 1.2569990E+00 | 11053 | -1.3144000E+01 | -4.5971016E+01 | -1.2751000E+01 |
| 44090 | 3.580963E+00 | 1.1429991E+01 | 2.5149961E+00 | 11054 | -1.7144001E+01 | -4.5971016E+01 | -6.0010004E+00 |
| 44091 | 3.580963E+00 | 1.1429991E+01 | 3.7719960E+00 | 11055 | -1.7144001E+01 | -4.5971016E+01 | -3.2510002E+00 |
| 44092 | 3.580963E+00 | 1.1429991E+01 | 6.103943E+00 | 11056 | -1.0394000E+01 | -4.5971016E+01 | 7.4900001E-01 |
| 44093 | 8.0769930E+00 | 1.1429991E+01 | 7.1789937E+00 | 11057 | -7.6439962E+00 | -4.5970985E+01 | 7.4899924E-01 |
| 44094 | 8.0769930E+00 | 1.1429991E+01 | 8.2539930E+00 | 11058 | -1.5144001E+01 | -4.5971016E+01 | -6.0009971E+00 |
| 44095 | -8.0769930E+00 | 1.1429991E+01 | 6.103944E+00 | 11059 | -1.0394000E+01 | -4.5971016E+01 | -8.7510014E+00 |
| 44096 | -8.0769930E+00 | 1.1429991E+01 | 7.1789937E+00 | 11060 | -1.7144001E+01 | -4.5971016E+01 | -8.7510014E+00 |
| 44097 | -8.0769930E+00 | 1.1429991E+01 | 1.2539930E+00 | 11061 | -3.6439962E+00 | -4.5970985E+01 | 5.7509956E+00 |
| 44098 | 5.0289660E+00 | 1.1429991E+01 | 9.3289909E+00 | 11062 | -3.6440001E+00 | -4.5971016E+01 | -1.0751000E+01 |
| 44099 | 2.1329982E+00 | 1.1429991E+01 | 9.3289909E+00 | 11063 | -5.6439977E+00 | -4.5970985E+01 | -7.509966E+00 |
| 44100 | 0.0000000E+00 | 1.1429991E+01 | 9.3289909E+00 | 11064 | -1.3144000E+01 | -4.5971016E+01 | -6.0010004E+00 |
| 44101 | -2.1329982E+00 | 1.1429991E+01 | 6.103943E+00 | 11065 | -3.6439981E+00 | -4.5970985E+01 | -3.2509987E+00 |
| 44102 | -5.0289955E+00 | 1.1429991E+01 | 9.3289909E+00 | 11066 | -3.6439981E+00 | -4.5970985E+01 | -6.0009971E+00 |
| 44103 | 5.0289955E+00 | 1.1429991E+01 | 6.103934E+00 | 11067 | -1.7144001E+01 | -4.5971016E+01 | -1.2509991E+00 |
| 44104 | 2.1329982E+00 | 1.1429991E+01 | 6.103934E+00 | 11068 | -5.6439977E+00 | -4.5970985E+01 | -3.2509987E+00 |
| 44105 | 0.0000000E+00 | 1.1429991E+01 | 6.103934E+00 | 11069 | -1.0394000E+01 | -4.5971016E+01 | -3.2510002E+00 |
| 44106 | -2.1329982E+00 | 1.1429991E+01 | 6.103934E+00 | 11070 | -1.3144000E+01 | -4.5971016E+01 | -3.2510002E+00 |
| 44107 | -5.0289955E+00 | 1.1429991E+01 | 6.103934E+00 | 11071 | -1.0394000E+01 | -4.5971016E+01 | -1.0751000E+01 |
| 44108 | 5.0289955E+00 | 1.1429991E+01 | 7.1789937E+00 | 11072 | -1.0394000E+01 | -4.5971016E+01 | -1.2509991E+00 |
| 44109 | 2.1329982E+00 | 1.1429991E+01 | 7.1789937E+00 | 11073 | -1.71440 | | |

| | | | | | | | |
|--------|----------------|----------------|-----------------|--------|----------------|----------------|----------------|
| 110120 | 1.51440001E+01 | -4.5971014E+01 | -1.2509991E+00 | 4018 | 8.0770006E+00 | 1.2953011E+01 | 7.2800004E-01 |
| 110121 | 7.6439962E+00 | -4.5970985E+01 | -1.2509987E+00 | 4017 | 9.8770018E+00 | 1.2953011E+01 | 7.2800004E-01 |
| 110122 | 1.31440008E+01 | -4.5971016E+01 | -1.2751000E+01 | 4028 | 8.0770006E+00 | 1.4477080E+01 | 7.2800004E-01 |
| 110123 | 7.6439962E+00 | -4.5970985E+01 | 7.4899924E-01 | 4027 | 9.8770018E+00 | 1.4477080E+01 | 7.2800004E-01 |
| 110124 | 1.51440001E+01 | -4.5971016E+01 | -6.0010004E+00 | 66032 | 1.1177011E+01 | 1.6002010E+01 | 7.2800004E-01 |
| 110125 | 1.31440008E+01 | -4.5971016E+01 | -6.0010004E+00 | 66033 | 1.1177011E+01 | 1.6002010E+01 | 1.9470011E+00 |
| 110126 | 1.31440008E+01 | -4.5971016E+01 | -8.7510014E+00 | 770159 | -5.0289922E+00 | 1.7830982E+01 | 5.0289922E+00 |
| 110127 | 1.31440008E+01 | -4.5971016E+01 | -3.2510002E+00 | 770162 | -8.0769892E+00 | 1.7830982E+01 | 5.0289922E+00 |
| 110128 | 1.31440008E+01 | -4.5971016E+01 | -1.0751000E+01 | 770163 | 5.0289922E+00 | 1.7830982E+01 | 5.0289922E+00 |
| 110129 | 1.31440008E+01 | -4.5971016E+01 | -1.2509991E+00 | 770164 | 1.1196001E+01 | 1.7831011E+01 | 5.0290003E+00 |
| 110130 | 7.6439962E+00 | -4.5970985E+01 | -6.0009971E+00 | 770165 | 8.0769892E+00 | 1.7830982E+01 | 5.0289922E+00 |
| 110131 | 5.6439977E+00 | -4.5970985E+01 | -8.7509966E+00 | 901 | 0.0000000E+00 | 1.5239978E+00 | 0.0000000E+00 |
| 110132 | 5.6439977E+00 | -4.5970985E+01 | -3.2509987E+00 | 902 | 1.0669989E+00 | 1.5239984E+00 | -1.7269938E+00 |
| 110133 | 5.6440015E+00 | -4.5971016E+01 | -1.0751000E+01 | 903 | 1.0669989E+00 | 1.5239984E+00 | -2.4319975E+00 |
| 110134 | 5.6439977E+00 | -4.5970985E+01 | -1.2509987E+00 | 904 | -6.539939E-01 | 1.5239984E+00 | -2.4319975E+00 |
| 110135 | 1.7144001E+01 | -4.5971016E+01 | -1.2751000E+01 | 905 | -1.5759984E+00 | 1.5239984E+00 | -1.3819987E+00 |
| 110136 | 0.0000000E+00 | -4.5970985E+01 | -1.5239993E+00 | 906 | -2.4969976E+00 | 1.5239984E+00 | -3.3099967E-01 |
| 110137 | 1.5129995E+00 | -4.5970985E+01 | 1.8599981E-01 | 907 | -2.2799978E+00 | 1.5239984E+00 | 1.3159987E+00 |
| 110138 | -1.5129995E+00 | -4.5970985E+01 | 1.8599981E-01 | 908 | -1.5809984E+00 | 1.5239984E+00 | 1.2239988E+00 |
| 440130 | 0.0000000E+00 | 1.1429991E+01 | -1.5239981E+00 | 909 | 0.0000000E+00 | 4.3199918E-01 | 0.0000000E+00 |
| 440131 | 1.5129991E+00 | 1.1429991E+01 | 1.8600000E-01 | 9010 | 8.1904036E-01 | 1.5239983E+00 | -1.4046506E+00 |
| 440132 | -1.5129991E+00 | 1.1429991E+01 | 1.8600000E-01 | 9011 | -1.2857155E+00 | 1.5239983E+00 | 9.9539250E-01 |
| 440133 | 8.0769206E+00 | 1.1429991E+01 | 1.6319982E+00 | 802 | 5.0370999E-02 | 4.3199906E-01 | -8.6387001E-02 |
| 440134 | -2.9829972E+00 | 1.1429991E+01 | 5.0289955E+00 | 803 | -7.907228E-02 | 4.3199918E-01 | 6.1217271E-02 |
| 440135 | 5.0289955E+00 | 1.1429991E+01 | 5.0289955E+00 | 804 | -1.2857155E+00 | 1.4239984E+00 | 9.9539250E-01 |
| 440136 | -1.5599982E+00 | 1.1429991E+01 | 8.0769930E+00 | 805 | 8.1904036E-01 | 1.4239984E+00 | -1.4046506E+00 |
| 5012 | -5.0289922E+00 | 1.7982971E+01 | -5.0289922E+00 | 101 | 1.0394000E+01 | 5.3285004E+01 | -6.0010004E+00 |
| 5013 | -5.0289922E+00 | 1.7982971E+01 | 5.0289922E+00 | 102 | 0.0000000E+00 | 5.3285004E+01 | 1.2002001E+01 |
| 5014 | 5.0289922E+00 | 1.7982971E+01 | -5.0289922E+00 | 103 | -1.0394000E+01 | 5.3285004E+01 | -6.0010004E+00 |
| 900 | 0.0000000E+00 | -3.0479952E+00 | 0.0000000E+00 | 770175 | 0.0000000E+00 | 5.3284943E+01 | -1.5239983E+00 |
| 1022 | 1.0394000E+01 | -4.4774014E+01 | -6.0010004E+00 | 770176 | -1.5129983E+00 | -5.3284943E+01 | 1.8599960E+00 |
| 3033 | 5.0289922E+00 | 5.4869985E+00 | -5.0289922E+00 | 770139 | 8.0769930E+00 | 1.8897982E+01 | 2.4379971E+00 |
| 3042 | 5.0289955E+00 | 1.0514919E+01 | -5.0289955E+00 | 770140 | 6.0449944E+00 | 1.8897982E+01 | 2.4379971E+00 |
| 3031 | -5.0289922E+00 | 5.4869895E+00 | -5.0289922E+00 | 770141 | 7.0609932E+00 | 1.8897982E+01 | 2.4379971E+00 |
| 3044 | -5.0289955E+00 | 1.0514919E+01 | 5.0289955E+00 | 770142 | 3.7717443E+00 | 1.8897982E+01 | -8.0769930E+00 |
| 3032 | -5.0289922E+00 | 5.4869895E+00 | -5.0289922E+00 | 55036 | 2.1329982E+00 | 1.4429981E+01 | -1.0623991E+00 |
| 3043 | 5.0289955E+00 | 1.0514919E+01 | 5.0289955E+00 | 55037 | -2.1329982E+00 | 1.4429981E+01 | -1.0623991E+00 |
| 3034 | 5.0289922E+00 | 5.4869895E+00 | 5.0289922E+00 | 55038 | -2.1329982E+00 | 1.4429981E+01 | -2.7339901E-01 |
| 3041 | 5.0289955E+00 | 1.0514919E+01 | 5.0289955E+00 | 55039 | 2.1329982E+00 | 1.4429981E+01 | -2.7339901E-01 |
| 1032 | 1.0393991E+01 | -4.2509964E+01 | -9.0689911E+00 | 55040 | 0.0000000E+00 | 1.4429981E+01 | -1.0623991E+00 |
| 1042 | 1.0394000E+01 | -4.1088001E+01 | -6.0010004E+00 | 55041 | 0.0000000E+00 | 1.4429981E+01 | -2.7339901E-01 |
| 1091 | 1.0394000E+01 | -3.1275002E+01 | -6.0010004E+00 | 440143 | 8.0769930E+00 | 1.429991E+01 | 6.1039944E+00 |
| 10101 | 1.0394000E+01 | -2.9853012E+01 | -6.0010004E+00 | 440144 | -8.0769930E+00 | 1.429991E+01 | -1.2574990E+00 |
| 10153 | 1.0394000E+01 | -2.7008011E+01 | -6.0010004E+00 | 440145 | 0.0000000E+00 | 1.429991E+01 | 5.5539947E+00 |
| 10161 | 1.0394000E+01 | -2.6397999E+01 | -6.0010004E+00 | 440146 | 4.499962E+00 | 1.429991E+01 | 8.2539930E+00 |
| 10171 | 1.0393991E+01 | -2.4975971E+01 | -6.0009947E+00 | 440147 | -4.499962E+00 | 1.429991E+01 | 5.0289955E+00 |
| 10152 | 0.0000000E+00 | -2.7008011E+01 | 1.2002001E+01 | 440148 | -4.499962E+00 | 1.429991E+01 | -2.7339901E-01 |
| 1021 | 0.0000000E+00 | -4.4774014E+01 | 1.2002001E+01 | 440149 | -4.499962E+00 | 1.429991E+01 | 7.1789913E+00 |
| 1031 | 0.0000000E+00 | -4.1088001E+01 | 1.2002001E+01 | 440150 | -4.499962E+00 | 1.429991E+01 | 5.5339947E+00 |
| 1041 | 0.0000000E+00 | -4.1088001E+01 | 1.2002001E+01 | 440151 | -2.1329982E+00 | 1.429991E+01 | 5.5339947E+00 |
| 1092 | 0.0000000E+00 | -3.1275002E+01 | 1.2002001E+01 | 440152 | 2.1329982E+00 | 1.429991E+01 | -1.0639911E+00 |
| 10102 | 0.0000000E+00 | -2.9853012E+01 | 1.2002001E+01 | 440153 | -2.1329982E+00 | 1.429991E+01 | -1.0639911E+00 |
| 10162 | 0.0000000E+00 | -2.6397999E+01 | 1.2002001E+01 | 440154 | 2.1329982E+00 | 1.429991E+01 | -2.7339901E-01 |
| 10172 | 0.0000000E+00 | -2.4975971E+01 | 1.2002001E+01 | 440155 | -2.1329982E+00 | 1.429991E+01 | -2.7339901E-01 |
| 10151 | -1.0394000E+01 | -2.7008011E+01 | -6.0010004E+00 | 440156 | 0.0000000E+00 | 1.429991E+01 | -1.0639911E+00 |
| 1023 | -1.0394000E+01 | -4.4774014E+01 | -6.0010004E+00 | 440157 | 0.0000000E+00 | 1.429991E+01 | -2.7339901E-01 |
| 1033 | -1.0394000E+01 | -4.1088001E+01 | -6.0010004E+00 | 440158 | -8.0769930E+00 | 1.429991E+01 | -2.789972E+00 |
| 1042 | -1.0394000E+01 | -4.1088001E+01 | -6.0010004E+00 | 440159 | -8.0769930E+00 | 1.429991E+01 | -6.8289943E+00 |
| 1093 | -1.0394000E+01 | -3.1275002E+01 | -6.0010004E+00 | 770143 | 6.0449944E+00 | 1.8897982E+01 | -2.4379981E+00 |
| 10103 | -1.0394000E+01 | -2.9853012E+01 | -6.0010004E+00 | 770144 | 7.0609942E+00 | 1.8897982E+01 | -2.4379981E+00 |
| 10163 | -1.0394000E+01 | -2.6397999E+01 | -6.0009944E+00 | 440160 | -8.0769930E+00 | 1.429991E+01 | 7.6789932E+00 |
| 10173 | -1.0393991E+01 | -2.4975971E+01 | -6.0009947E+00 | 440161 | -6.0589931E+00 | 1.429991E+01 | 0.0000000E+00 |
| 1081 | 1.5108842E+00 | -3.1560949E+01 | -8.7231308E-01 | 440162 | -6.0589931E+00 | 1.429991E+01 | -1.2574990E+00 |
| 10111 | -8.8831024E+00 | -2.9399015E+01 | -5.1286802E+00 | 440163 | -6.0589954E+00 | 1.429991E+01 | 1.2569981E+00 |
| 10112 | 0.0000000E+00 | -2.9399016E+01 | 1.0257380E+01 | 440164 | -6.0589954E+00 | 1.429991E+01 | 2.5149961E+00 |
| 10113 | 8.8831024E+00 | -2.9399015E+01 | -5.1286802E+00 | 440165 | -6.0589954E+00 | 1.429991E+01 | 3.7719960E+00 |
| 1083 | 1.5108842E+00 | -3.1560949E+01 | -8.7231308E-01 | 440166 | -6.0589954E+00 | 1.429991E+01 | 5.0289955E+00 |
| 1052 | 0.0000000E+00 | -1.3560949E+01 | 1.7446252E+00 | 440167 | -6.0589954E+00 | 1.429991E+01 | 6.1039944E+00 |
| 1051 | 0.0000000E+00 | -3.9252964E+01 | 1.2001990E+01 | 440168 | -6.0589954E+00 | 1.429991E+01 | 7.1789923E+00 |
| 1053 | -1.0393991E+01 | -3.9252964E+01 | -6.0009947E+00 | 440169 | -6.0589954E+00 | 1.429991E+01 | 8.2539930E+00 |
| 33013 | -2.5101933E+00 | 4.5719924E+00 | 2.5101933E+00 | 440170 | 2.1329982E+00 | 1.429991E+01 | 7.9939914E+00 |
| 33014 | -2.5101933E+00 | 4.5719924E+00 | -2.5101933E+00 | 440172 | -2.1329982E+00 | 1.429991E+01 | 6.9189911E+00 |
| 33015 | 2.51211935E+00 | 4.5719924E+00 | -2.52111935E+00 | 440173 | 5.0289955E+00 | 1.429991E+01 | 6.9189925E+00 |
| 33016 | 2.5101933E+00 | 4.5719924E+00 | 2.5101933E+00 | 440174 | 5.4189944E+00 | 1.429991E+01 | 6.1039944E+00 |
| 6601 | 5.0289955E+00 | 1.6001980E+01 | -5.0289955E+00 | 440175 | 5.4189944 | | |

770238 -1.0043995E+01 1.7830990E+01 4.3869977E+00
 770239 -1.1110994E+01 1.7830999E+01 5.0289996E+00
 770240 -1.0044001E+01 1.7830999E+01 5.0289984E+00
 770241 -8.3439995E+00 1.7830990E+01 5.0289956E+00
 770242 -8.3439960E+00 1.7830990E+01 4.3869977E+00
 66034 -1.1177000E+01 1.6002001E+01 0.0000000E+00
 66035 -9.8770008E+00 1.6001991E+01 0.0000000E+00
 770245 -9.8769894E+00 1.4180990E+01 1.9469981E+00
 770246 -8.0769930E+00 1.2823981E+01 0.0000000E+00
 66036 -8.5189915E+00 1.6001980E+01 1.9469981E+00
 66037 -1.0577001E+01 1.6002001E+01 -8.0769997E+00
 66038 -1.0577001E+01 1.6002001E+01 -5.0290003E+00
 66039 -1.0577001E+01 1.6002001E+01 -6.8579993E+00
 66040 -8.4869919E+00 1.6001991E+01 -8.0769930E+00
 66041 -1.0076990E+01 1.6002001E+01 -6.8579955E+00
 66042 -8.4869919E+00 1.6001991E+01 -6.8579993E+00
 66044 -8.4869919E+00 1.6001991E+01 -5.0289960E+00
 66045 -1.0076990E+01 1.6002001E+01 -5.0289993E+00
 66046 -8.4869995E+00 1.6001991E+01 0.0000000E+00
 66047 -1.0077001E+01 1.6002001E+01 0.0000000E+00
 66048 -7.8270001E+00 1.6002001E+01 -1.0326990E+01
 66049 8.0769978E+00 1.6002001E+01 -1.0827000E+01
 66050 -5.0290003E+00 1.6002001E+01 -1.0827000E+01
 66051 0.0000000E+00 1.6002001E+01 -1.0827000E+01
 66052 5.0289900E+00 1.6002001E+01 -1.0827000E+01
 66053 0.0000000E+00 1.6002001E+01 -5.7789998E+00
 66054 -7.8269935E+00 1.6001991E+01 -8.7369919E+00
 66055 -7.8269978E+00 1.6002001E+01 -1.0326990E+01
 66056 -5.0289960E+00 1.6002001E+01 -8.7369928E+00
 66057 -5.0289993E+00 1.6002001E+01 -1.0326990E+01
 66058 0.0000000E+00 1.6001991E+01 -8.7369919E+00
 66059 0.0000000E+00 1.6002001E+01 -1.0326990E+01
 66060 5.0289960E+00 1.6001991E+01 -8.7369919E+00
 66061 5.0289993E+00 1.6002001E+01 -1.0326990E+01
 66062 8.0769930E+00 1.6001991E+01 -8.7369919E+00
 66063 8.0769978E+00 1.6002001E+01 -1.0326990E+01
 770278 -1.0000000E-06 1.886992E+01 -5.7789941E+00
 66064 -8.0769920E+00 1.6001980E+01 1.9469981E+00
 66065 -8.0769920E+00 1.6001980E+01 0.0000000E+00
 66066 -1.0043991E+01 1.6001980E+01 1.9469981E+00
 66067 -1.1110991E+01 1.6001980E+01 1.9469981E+00
 66068 -8.0769920E+00 1.6001980E+01 -8.0769930E+00
 440212 -1.0729991E+01 1.1429991E+01 8.2539930E+00
 440213 -1.0729991E+01 1.1429991E+01 9.3289909E+00
 770287 -1.1111000E+01 1.7831011E+01 5.4129982E+00
 770288 -1.0044001E+01 1.7830999E+01 5.4129982E+00
 770289 -8.3439998E+00 1.7830999E+01 5.4129983E+00
 440214 -6.8589954E+00 1.1429991E+01 7.6789923E+00
 440215 -5.0289955E+00 1.1429991E+01 9.2500001E-01
 440216 -4.2789982E+00 1.1429991E+01 9.2530507E-01
 \$ END MEMBER INCIDENCES
 \$ MUD 0. -45.971 0.
 \$ WIND 0. 18.898 0.
 \$
 \$
 UNITS M KG DEG FAH
 \$
 \$
 TYPE SPACE FRAME
 MEMBER INCIDENCES
 UNITS INCHES KIPS
 MEMBER INCIDENCES AND PROPERTIES PIPE OD 10.748 THI 0.364961 \$ -
 \$ WATER MASS NONFLOODED BUOYANT STRUCTURAL -
 \$ DIVISION 5 THICK 0.364961 -
 \$ DIAOUT 10.748 CMWATER 0.65 CMWATER 2.0 WT/V 0.283
 'PLG-10' 110133 1052
 'PLG-11' 1052 110120
 'PLG-12' 1052 110118
 'PLG-9' 110134 1052
 'PLG-2' 1051 11044
 'PLG-1' 1051 11045
 'PLG-4' 1051 11029
 'PLG-3' 1051 11030
 'PLG-5' 1053 11090
 'PLG-8' 1053 11074
 'PLG-6' 1053 11089
 'PLG-7' 1053 11076
 \$ END MEMBER INCIDENCES
 MEMBER INCIDENCES AND PROPERTIES PIPE OD 14. THI 0.75 \$ -
 \$ WATER MASS NONFLOODED BUOYANT STRUCTURAL -
 \$ DIVISION 5 THICK 0.75 -
 \$ DIAOUT 14. CMWATER 0.65 CMWATER 2.0 WT/V 0.283
 'JCG-1' 901 9010
 'JCG-2' 902 903
 'JCG-3' 903 904
 'JCG-4' 904 905
 'JCG-5' 905 906
 'JCG-6' 906 907
 'JCG-7' 907 908
 'JCG-8' 905 901
 'JCG-9' 9010 902
 'JCG-10' 901 9011
 'JCG-11' 9011 908
 'JCG-12' 9010 805
 'JCG-13' 9011 804
 'JCG-14' 909 802
 'JCG-15' 909 803
 'JCG-16' 804 803
 'JCG-17' 805 802
 \$ END MEMBER INCIDENCES
 MEMBER INCIDENCES AND PROPERTIES PIPE OD 24.0158 THI 1. \$ -
 \$ WATER MASS NONFLOODED BUOYANT STRUCTURAL -
 \$ DIVISION 5 THICK 1. -
 \$ DIAOUT 24.0158 CMWATER 0.65 CMWATER 2.0 WT/V 0.283
 'CSG-9' 1071 1081
 'CSG-12' 1071 1083
 'CSG-6' 1071 1082
 \$ END MEMBER INCIDENCES
 MEMBER INCIDENCES AND PROPERTIES PIPE OD 24.0158 THI 0.767717 \$ -
 \$ WATER MASS NONFLOODED BUOYANT STRUCTURAL -
 \$ DIVISION 5 THICK 0.767717 -
 \$ DIAOUT 24.0158 CMWATER 0.65 CMWATER 2.0 WT/V 0.283
 'CSG-10' 10121 10111
 'CSG-4' 10123 10112
 'CSG-7' 10122 10113
 \$ END MEMBER INCIDENCES
 \$ END MEMBER INCIDENCES
 MEMBER INCIDENCES AND PROPERTIES PIPE OD 24.0158 THI 0.6522047 \$ -
 \$ WATER MASS NONFLOODED BUOYANT STRUCTURAL -
 \$ DIVISION 5 THICK 0.6522047 -
 \$ DIAOUT 24.0158 CMWATER 0.65 CMWATER 2.0 WT/V 0.283
 'CSG-1' 2201 1071
 'CSG-2' 2203 1071
 'CSG-3' 2202 1071
 'CSG-8' 10113 1081
 'CSG-11' 1083 10111
 'CSG-5' 1082 10112
 \$ END MEMBER INCIDENCES
 MEMBER INCIDENCES AND PROPERTIES PIPE OD 24.0158 THI 0.5 \$ -
 \$ WATER MASS NONFLOODED BUOYANT STRUCTURAL -
 \$ DIVISION 5 THICK 0.5 -
 \$ DIAOUT 24.0158 CMWATER 0.65 CMWATER 2.0 WT/V 0.283
 '(-144-1' 2202 2201
 '(-144-2' 2201 2203
 '(-144-3' 2203 2202
 'CDG-5' 2031 2032
 'CDG-2' 10131 10133
 'CDG-4' 2033 2031
 'CDG-6' 2031 2034
 'CDG-1' 10134 10131
 'CDG-3' 10131 10132
 \$ END MEMBER INCIDENCES
 MEMBER INCIDENCES AND PROPERTIES PIPE OD 25.9843 THI 1.25 \$ -
 \$ WATER MASS NONFLOODED BUOYANT STRUCTURAL -
 \$ DIVISION 5 THICK 1.25 -
 \$ DIAOUT 25.9843 CMWATER 0.65 CMWATER 2.0 WT/V 0.283
 'CSG-18' 2013 10122
 'CSG-14' 2012 10123
 'CSG-15' 2011 10121
 \$ END MEMBER INCIDENCES
 MEMBER INCIDENCES AND PROPERTIES PIPE OD 30. THI 1.5 \$ -
 \$ WATER MASS NONFLOODED BUOYANT STRUCTURAL -
 \$ DIVISION 5 THICK 1.5 -
 \$ DIAOUT 30. CMWATER 0.65 CMWATER 2.0 WT/V 0.283
 'CSG-17' 2041 2013
 'CSG-13' 2041 2012
 'CSG-16' 2041 2011
 \$ END MEMBER INCIDENCES
 MEMBER INCIDENCES AND PROPERTIES PIPE OD 30. THI 1. \$ -
 \$ WATER MASS NONFLOODED BUOYANT STRUCTURAL -
 \$ DIVISION 5 THICK 1. -
 \$ DIAOUT 30. CMWATER 0.65 CMWATER 2.0 WT/V 0.283
 'CD-7' 3302 2033
 'CD-8' 3308 2032
 'CD-5' 2032 10133
 'CD-6' 2034 10132
 'CD-4' 2033 10134
 'CD-1' 10134 110138
 'CD-3' 10132 110137
 'CD-2' 10133 110136
 'CD-16' 110138 770176
 'CD-17' 110136 770174
 'CD-18' 110137 770175
 \$ END MEMBER INCIDENCES
 MEMBER INCIDENCES AND PROPERTIES PIPE OD 47.9922 THI 1.25197 \$ -
 \$ WATER MASS NONFLOODED BUOYANT STRUCTURAL -
 \$ DIVISION 5 THICK 1.25197 -
 \$ DIAOUT 47.9922 CMWATER 0.65 CMWATER 2.0 WT/V 0.283
 'DPL-01' 1103 102
 'DPL-02' 1101 101
 'DPL-03' 1102 103
 \$ END MEMBER INCIDENCES
 MEMBER INCIDENCES AND PROPERTIES PIPE OD 55.5118 THI 0.75 \$ -
 \$ WATER MASS NONFLOODED BUOYANT STRUCTURAL -
 \$ DIVISION 5 THICK 0.75 -
 \$ DIAOUT 55.5118 CMWATER 0.65 CMWATER 2.0 WT/V 0.283
 'PL-5' 1032 1042
 'PL-8' 1091 10101
 'PL-17' 1031 1041
 'FL-20' 1092 10102
 'FL-29' 1033 1043
 'FL-32' 1093 10103
 \$ END MEMBER INCIDENCES
 MEMBER INCIDENCES AND PROPERTIES PIPE OD 55.9843 THI 1.77165 \$ -
 \$ WATER MASS NONFLOODED BUOYANT STRUCTURAL -
 \$ DIVISION 5 THICK 1.77165 -
 \$ DIAOUT 55.9843 CMWATER 0.65 CMWATER 2.0 WT/V 0.283
 'CS-1' 1061 1071
 'CS-6' 2041 2031
 'CS-5' 2031 2021
 'CS-3' 10141 10131
 'CS-2' 10131 1071
 \$ END MEMBER INCIDENCES
 MEMBER INCIDENCES AND PROPERTIES PIPE OD 55.9843 THI 1.5 \$ -
 \$ WATER MASS NONFLOODED BUOYANT STRUCTURAL -
 \$ DIVISION 5 THICK 1.5 -
 \$ DIAOUT 55.9843 CMWATER 0.65 CMWATER 2.0 WT/V 0.283
 'CS-7' 2041 900
 \$ END MEMBER INCIDENCES
 MEMBER INCIDENCES AND PROPERTIES PIPE OD 55.9843 THI 1.25 \$ -
 \$ WATER MASS NONFLOODED BUOYANT STRUCTURAL -
 \$ DIVISION 5 THICK 1.25 -
 \$ DIAOUT 55.9843 CMWATER 0.65 CMWATER 2.0 WT/V 0.283
 'CS-9' 3301 901
 'CS-8' 900 909
 'CS-10' 901 116
 'CS-11' 909 116
 \$ END MEMBER INCIDENCES
 MEMBER INCIDENCES AND PROPERTIES PIPE OD 55.9843 THI 1. \$ -
 \$ WATER MASS NONFLOODED BUOYANT STRUCTURAL -
 \$ DIVISION 5 THICK 1. -
 \$ DIAOUT 55.9843 CMWATER 0.65 CMWATER 2.0 WT/V 0.283
 'CS-4' 2021 10141
 \$ END MEMBER INCIDENCES

MEMBER INCIDENCES AND PROPERTIES PIPE OD 55. THI 0.5 \$ -
 \$ WATER MASS NONFLOODED BUOYANT STRUCTURAL -
 \$ DIVISION 5 THICK 0.5 -
 \$ DIAOUT 55. CDWATER 0.65 CMWATER 2.0 WT/V 0.283
 'PL-6' 1042 1052
 'PL-18' 1041 1051
 'PL-30' 1043 1053
 'PL-7' 1052 1091
 'PL-19' 1051 1092
 'PL-31' 1053 1093
 \$ END MEMBER INCIDENCES

MEMBER INCIDENCES AND PROPERTIES PIPE OD 56.4961 THI 1.25 \$ -
 \$ WATER MASS NONFLOODED BUOYANT STRUCTURAL -
 \$ DIVISION 5 THICK 1.25 -
 \$ DIAOUT 56.4961 CDWATER 0.65 CMWATER 2.0 WT/V 0.283
 'PL-10' 10122 10153
 'PL-3' 1022 2202
 'PL-4' 2202 1032
 'PL-9' 10101 10122
 'PL-11' 10153 10161
 'PL-12' 10161 10171
 'PL-22' 10123 10152
 'PL-15' 1021 2203
 'PL-16' 2203 1031
 'PL-21' 10102 10123
 'PL-23' 10152 10162
 'PL-24' 10162 10172
 'PL-34' 10123 10151
 'PL-27' 1023 2201
 'PL-28' 2201 1033
 'PL-33' 10103 10121
 'PL-35' 10151 10163
 'PL-36' 10163 10173
 \$ END MEMBER INCIDENCES

MEMBER INCIDENCES AND PROPERTIES PIPE OD 56.4961 THI 1. \$ -
 \$ WATER MASS NONFLOODED BUOYANT STRUCTURAL -
 \$ DIVISION 5 THICK 1. -
 \$ DIAOUT 56.4961 CDWATER 0.65 CMWATER 2.0 WT/V 0.283
 'PL-2' 1101 1022
 'PL-14' 1103 1021
 'PL-26' 1102 1023
 \$ END MEMBER INCIDENCES

TYPE SPACE FRAME
 MEMBER INCIDENCES AND PROPERTIES PIPE OD 10.748 THI 0.364961 \$ -
 \$ WIND MASS NONFLOODED NONBUOYANT STRUCTURAL -
 \$ DIVISION 5 THICK 0.364961 -
 \$ DIAOUT 10.748 CDWIND 0.5 WT/V 0.283
 'DBR-01' 77064 44032
 'DBR-02' 77064 4401
 'DBR-010' 77080 4403
 'DBR-09' 77080 44032
 'DBR-013' 77081 4401
 'DBR-014' 77081 4402
 'DBR-06' 77065 4402
 'DBR-05' 77065 4403
 'DBR-035' 44041 3304
 'DTR-036' 44053 3304
 'DTR-037' 44053 3305
 'DTR-038' 44028 3305
 'DTR-039' 44028 3307
 'DTR-040' 44054 3307
 'DTR-041' 44054 3308
 'DTR-042' 44041 3306
 \$ END MEMBER INCIDENCES

MEMBER INCIDENCES AND PROPERTIES PIPE OD 20. THI 1. \$ -
 \$ WIND MASS NONFLOODED NONBUOYANT STRUCTURAL -
 \$ DIVISION 5 THICK 1. -
 \$ DIAOUT 20. CDWIND 0.5 WT/V 0.283
 'DTR-011' 5012 7708
 'DTR-01' 5011 7707
 'DTR-018' 5014 7706
 'DTR-06' 5013 7705
 'DTR-024' 3033 3305
 'DTR-017' 3031 3307
 'DTR-05' 3032 3306
 'DTR-010' 3034 3304
 \$ END MEMBER INCIDENCES

MEMBER INCIDENCES AND PROPERTIES PIPE OD 20. THI 0.5 \$ -
 \$ WIND MASS NONFLOODED NONBUOYANT STRUCTURAL -
 \$ DIVISION 5 THICK 0.5 -
 \$ DIAOUT 20. CDWIND 0.5 WT/V 0.283
 'DTR-014' 4403 4031
 'DTR-07' 4401 770163
 'DTR-021' 4402 4032
 'DTR-02' 44032 770159
 'DTR-022' 3042 4402
 'DTR-023' 3033 3042
 'DTR-016' 3031 3044
 'DTR-015' 3044 4403
 'DTR-04' 3032 3043
 'DTR-03' 3043 44032
 'DTR-08' 3041 4401
 'DTR-09' 3034 3041
 'DTR-019' 6601 5014
 'DTR-012' 6602 5012
 'DTR-020' 4032 6601
 'DTR-013' 4031 6602
 'DTR-031' 770159 5011
 'DTR-033' 770163 5013
 \$ END MEMBER INCIDENCES

MEMBER INCIDENCES AND PROPERTIES PIPE OD 3.50394 THI 0.236221 \$ -
 \$ WIND MASS NONFLOODED NONBUOYANT STRUCTURAL -
 \$ DIVISION 5 THICK 0.236221 -
 \$ DIAOUT 3.50394 CDWIND 0.5 WT/V 0.283
 'WW-048' 440141 4017
 'WW-049' 4017 4026
 'WW-050' 4026 66030
 'WW-051' 440142 4018
 'WW-026' 4018 4025
 'WW-025' 4025 66031
 'WW-045' 4018 4017
 'WW-046' 4028 4027
 'WW-038' 4025 4026

MEMBER INCIDENCES AND PROPERTIES PIPE OD 30. THI 1. \$ -
 \$ WIND MASS NONFLOODED NONBUOYANT STRUCTURAL -
 \$ DIVISION 5 THICK 1. -
 \$ DIAOUT 30. CDWIND 0.5 WT/V 0.283
 'CD-14' 55033 440137
 'CD-15' 55034 440138
 'CD-13' 55035 440139
 'CD-11' 440137 3308
 'CD-12' 440138 3303
 'CD-10' 440139 3302
 \$ END MEMBER INCIDENCES

MEMBER INCIDENCES AND PROPERTIES PIPE OD 4.48819 THI 0.23622 \$ -
 \$ WIND MASS NONFLOODED NONBUOYANT STRUCTURAL -
 \$ DIVISION 5 THICK 0.23622 -
 \$ DIAOUT 4.48819 CDWIND 0.5 WT/V 0.283
 'DBR-017' 55020 44075
 'DBR-018' 55029 440128
 'DBR-021' 55023 44074
 'DBR-022' 55023 440128
 'DBR-019' 55031 44075
 'DBR-020' 55031 440129
 'DBR-023' 4032 6604
 'DBR-024' 4032 66013
 'DBR-025' 4031 66015
 'DBR-026' 4031 66026
 'WTR-04' 66011 77041
 'WBR-03' 77065 66014
 'WBR-01' 77080 66022
 'WW-052' 66029 4025
 'WW-033' 66028 4026
 'WW-034' 4025 4015
 'WW-035' 4015 440142
 'WW-036' 4026 4016
 'WW-037' 4016 440141
 'WW-040' 440139 4018
 'WW-041' 4018 4028
 'WW-042' 4028 66031
 'WW-043' 4017 4027
 'WW-044' 4027 66030
 'WW-047' 4017 440140
 'LDR-01' 770229 770230
 'LDR-05' 440137 770245
 'LDR-06' 440138 770246
 'LDR-07' 44077 770247
 'LDR-08' 44052 770248
 'LDR-09' 770245 66027
 'LDR-010' 770247 66035
 'LDR-011' 770248 66065
 'LDR-017' 770246 66064
 'LDR-025' 770278 66053
 'LDR-027' 7704 66068
 \$ END MEMBER INCIDENCES

MEMBER INCIDENCES AND PROPERTIES PIPE OD 6.61417 THI 0.5 \$ -
 \$ WIND MASS NONFLOODED NONBUOYANT STRUCTURAL -
 \$ DIVISION 5 THICK 0.5 -
 \$ DIAOUT 6.61417 CDWIND 0.5 WT/V 0.283
 'DTR-028' 440128 55021
 'DTR-027' 440129 55029
 'DTR-026' 44074 55020
 'DTR-025' 44075 55017
 'MD-0208' 44031 44035
 \$ END MEMBER INCIDENCES
 \$
 \$
 \$
 \$
 \$
 UNITS M KN DEG FAH
 \$ SAVE INPUT
 \$ OUTPUT UNITS ENGLISH
 \$ SAVE LOADING
 \$ IDENTIFY UNRECOGNIZED COMMANDS
 \$ MEMBER DRAG FORCE PRESSURE RESOLUTION
 \$ PRINT LOADING TOTAL ONLY LOAD REFERENCES JOINT 'MUD'
 \$ INITIAL CONDITIONS
 \$ JNT2 1.0 0.0 0.0 JNT3 0.0 0.0 -1.0 -
 \$ LINEAR DISPLACEMENT ORIGIN X 0. Y 0. Z 0.
 \$
 \$
 UNITS FEET
 \$ ELEMENT INCIDENCES
 \$ '7701' '7702' '7704' '7703' 'WIND' WIBLOCK AREA CDWIND ALL 1.0
 \$ END ELEMENT INCIDENCES
 \$
 UNITS FEET SECONDS DEGREES
 \$ CURRENT DATA STRETCH
 \$ DEPTH 0. 15.764 31.528 47.292 63.056 78.821 94.585 110.349
 126.113 141.877 157.642
 \$ VELOCITY 3.576 2.854 2.329 1.935 1.640 1.443 1.279 1.181 1.115
 1.049 1.017
 \$ DIRECTION 0. 0. 0. 0. 0. 0. 0. 0. 0. 0. 0.
 \$ WIND DATA
 \$ DIRECTION 0.
 \$ VELOCITY 84.317
 \$ WT/V STANDARD
 \$ VARIATION WITH ALTITUDE ABS
 \$ MEMBER MARINE GROWTHS DATA ALL
 \$ ZREF 0. 157.642
 \$ THICKNESS 3. 3.
 \$
 UNITS FEET SECONDS DEGREES
 \$ WAVE STOKES FIFTH WT/V STANDARD
 \$ SEPARATE BUOYANCY
 \$ EXECUTE WIND LOAD ANALYSIS NO WAVE TOPS ID '0'
 \$ EXECUTE STEP WAVE LOADING TYPE STRUCTURE FIXED -
 \$ APPLIED FORCES ONLY -
 \$ COMPUTE LOADING FOR MAXIMUM BASE SHEAR
 \$ WAVE WIND LIST
 \$ 'ODEG' HEIGHT 18.045 PERIOD 8.7 DEPTH 157.642 DIRECTION 0. -

```
$      FROM -3.5 TO 3.5 INCREMENT 0.5
$ END WAVE WIND LIST
$$
$$
$ SELOS PLOTS
$ PLOT 3D RIGID POSITIONS AT TIMES 0.5 1.0 1.5 2.0 2.5 3.0 3.5 4.0
-
$ VIEWER POSITION 15. 15. -15.
$ OVERLAY WAVE SURFACE FULL WAVE LENGTH
$ TITLE
$ '100 YEAR ANALYSIS-DIRECTION 0 DEGREES'
$ FINISH
```



**LAMPIRAN
INPUT ANALISA
PUSH OVER ARAH 0°**

ARAH 0 DERAJAT

Commercial Software Rights Legend

Any use, duplication or disclosure of this software by or for the U.S. Government shall be restricted to the terms of a license agreement in accordance with the clause at DFARS 227.7202-3.

This computer software is an unpublished work containing valuable trade secrets owned by the Georgia Tech Research Corporation (GTRC). No access, use, transfer, duplication or disclosure thereof may be made except under a license agreement executed by GTRC or its authorized representatives and no right, title or interest thereto is conveyed or granted herein, notwithstanding receipt or possession hereof. Decompilation of the object code is strictly prohibited.

Georgia Tech Research Corporation
Georgia Institute of Technology
Atlanta, Georgia 30332 U.S.A.

Copyright (c) 2003 GTRC
ALL RIGHTS RESERVED.

Fri May 5 10:54:39 2006

1GTICES/C-NP 2.5.0 MD-NT 2.0, January 1995.
Proprietary to Georgia Tech Research Corporation, U.S.A.

Reading password file C:\Program Files\GTStrudl\27\password27.pwd
CI-i-audfile, Command AUDIT file FILE1054.aud has been activated.

```
*** G T S T R U D L ***
RELEASE DATE      VERSION      COMPLETION NO.
June, 2003        27.0         4449

**** ACTIVE UNITS - LENGTH   WEIGHT   ANGLE   TEMPERATURE   TIME
**** ASSUMED TO BE   INCH     POUND    RADIAN   FAHRENHEIT   SECOND

{   1} > $ -----
{   2} > $ This is the Common Startup Macro; put your company-wide startup commands here.
{   3} > $ You can edit this file from Tools -- Macros. Click "Startup" and then "Edit".
{   4} > $ -----
{   5} > RESTORE 'G:\TA Arief\Tugas Akhir PUSHOVER(LRFD)_oke\Arah 0\Oke.gts'
DAM-i-filrest, Sub-system 27.0      restored from file G:\TA Arief\Tugas Akhir PUSHOVER(LRFD)_oke\Arah
0\Oke.gts.

*** G T S T R U D L ***
RELEASE DATE      VERSION      COMPLETION NO.
June, 2003        27.0         4449

**** INFORMATION -- Saved GTSTRUML version: 27.0
Restored under GTSTRUML version: 27.0
```

**** CURRENT GTSTRUML PROBLEM STATISTICS ****

ACTIVE UNITS: INCH KIP DEG DEGF SEC

INPUT MODE: ADDITIONS SCAN MODE INITIATED: NO

CURRENT STRUCTURAL TYPE: SPACE FRAME

| | JOINTS | MEMBERS | ELEMENTS | SUPERELEMENTS |
|----------|--------|---------|----------|---------------|
| ACTIVE | 701 | 1199 | 0 | 0 |
| INACTIVE | 0 | 0 | 0 | 0 |

RIGID BODIES 0
JOINT TIES 0

| LOADS: | INDEPENDENT | DEPENDENT |
|----------|-------------|-----------|
| ACTIVE | 43 | 13 |
| INACTIVE | 0 | 0 |

```

{      6} > OPEN USERDATA FILE 'G:\TA Arief\Tugas Akhir PUSHOVER(LRFD)\COBA.DS'

Opening specified User dataset G:\TA Arief\Tugas Akhir PUSHOVER(LRFD)\COBA.DS
Deleting empty User dataset G:\TA Arief\Tugas Akhir PUSHOVER(LRFD)_oke\Arah 0\userdat200655105438937.ds

{      7} > LOAD LIST 'Constan' 'Incremen'
{      8} > NONLINEAR EFFECTS
{      9} > GEOMETRY MEMBERS EXISTING GROUP LIST 'Ver' MEMBERS
{     10} > NONLINEAR EFFECTS
{     11} > GEOMETRY MEMBERS EXISTING GROUP LIST 'Hor' MEMBERS
{     12} > NONLINEAR EFFECTS
{     13} > COMPRESSION ONLY MEMBERS EXISTING GROUP LIST 'Hor' MEMBERS
{     14} > PLASTIC HINGE START END FIBER GEOMETRY NTH 20 NTWALL 3 LH 3.0 -
{     15} >_STEEL FY 36.0 EH 296.187 ESH 0.019614 FSU 54.0 ESU 0.05 MEMBERS EXISTING -
{     16} > GROUP LIST 'Hor' MEMBERS
{     17} > NONLINEAR EFFECTS
{     18} > GEOMETRY MEMBERS EXISTING GROUP LIST 'Mir' MEMBERS
{     19} > NONLINEAR EFFECTS
{     20} > TENSION ONLY MEMBERS EXISTING GROUP LIST 'Mir' MEMBERS
{     21} > PLASTIC HINGE START END FIBER GEOMETRY NTH 20 NTWALL 3 LH 3.0 -
{     22} >_STEEL FY 36.0 EH 296.187 ESH 0.019614 FSU 54.0 ESU 0.05 MEMBERS EXISTING -
{     23} > GROUP LIST 'Mir' MEMBERS
{     24} > LOAD LIST ALL
{     25} > PUSHOVER ANALYSIS DATA
{     26} > CONSTANT LOAD 'Constan'
{     27} > INCREMENTAL LOAD 'Incremen'
{     28} > MAXIMUM NUMBER OF LOAD INCREMENTS 50
{     29} > MAXIMUM NUMBER OF TRIALS 10
{     30} > LOADING RATE 1.000000
{     31} > CONVERGENCE RATE 0.5000000
{     32} > CONVERGENCE TOLERANCE COLLAPSE 0.000100
{     33} > CONVERGENCE TOLERANCE DISPLACEMENT 0.001000
{     34} > MAXIMUM NUMBER OF CYCLES 50
{     35} > END
{     36} > PERFORM PUSHOVER ANALYSIS
**** INFO_STPACP -- Time for pushover analysis load increment 1 = 8.12 seconds.
**** INFO_STPACP -- Time for pushover analysis load increment 2 = 8.08 seconds.
          Time for 2 load adjustment trials, load increment 3 = 77.49 seconds.
          New loading rate = 0.250000
          Current load factor = 2.25000
**** INFO_STPACP -- Time for pushover analysis load increment 3 = 145.52 seconds.
          Time for 1 load adjustment trials, load increment 4 = 6.17 seconds.
          New loading rate = 0.125000
          Current load factor = 2.37500
**** INFO_STPACP -- Time for pushover analysis load increment 4 = 78.43 seconds.
          Time for 1 load adjustment trials, load increment 5 = 6.30 seconds.
          New loading rate = 0.625000E-01
          Current load factor = 2.43750
**** INFO_STPACP -- Time for pushover analysis load increment 5 = 80.80 seconds.
          Time for 1 load adjustment trials, load increment 6 = 6.68 seconds.
          New loading rate = 0.312500E-01
          Current load factor = 2.46875
**** INFO_STPACP -- Time for pushover analysis load increment 6 = 80.87 seconds.
          Time for 2 load adjustment trials, load increment 7 = 84.11 seconds.
          New loading rate = 0.781250E-02
          Current load factor = 2.47656
**** INFO_STPACP -- Time for pushover analysis load increment 7 = 159.30 seconds.
          Time for 1 load adjustment trials, load increment 8 = 25.59 seconds.
          New loading rate = 0.390625E-02
          Current load factor = 2.48047
**** INFO_STPACP -- Time for pushover analysis load increment 8 = 112.20 seconds.
          Time for 1 load adjustment trials, load increment 9 = 5.83 seconds.
          New loading rate = 0.195312E-02
          Current load factor = 2.48242
**** INFO_STPACP -- Time for pushover analysis load increment 9 = 89.10 seconds.

**** WARNING_STPACP -- The sequence of 3 load adjustment trials in load increment 10
                      failed to produce equilibrium convergence before collapse
                      tolerance = 0.100000E-03 was satisfied. Collapse condition may be indicated.
                      Current loading rate = 0.244141E-03

**** INFO_STPACP -- The current collapse load factor = 2.48242
                      Load components and results are stored in the following intermediate loads:
                        PAInc001 PAInc002 PAInc003 PAInc004
                        PAInc005 PAInc006 PAInc007 PAInc008
                        PAInc009

**** INFO_STPACP -- The incremental loads above are stored in load group InclLds .

/----- Push-over Analysis Load Factor History -----/
Load Increment          Load Factor
----- -----
PAInc001                1.00000
PAInc002                2.00000

```

| | |
|----------|---------|
| PAInc003 | 2.25000 |
| PAInc004 | 2.37500 |
| PAInc005 | 2.43750 |
| PAInc006 | 2.46875 |
| PAInc007 | 2.47656 |
| PAInc008 | 2.48047 |
| PAInc009 | 2.48242 |

**** INFO_STPACP -- Time to complete pushover analysis = 1079.98 seconds.



LAMPIRAN
OUT PUT ANALISA PUSH OVER
ANALISIS API LRFD
ARAH 0°

MEMBER (-)144-3

Commercial Software Rights Legend

Any use, duplication or disclosure of this software by or for the U.S. Government shall be restricted to the terms of a license agreement in accordance with the clause at DFARS 227.7202-3.

This computer software is an unpublished work containing valuable trade secrets owned by the Georgia Tech Research Corporation (GTRC). No access, use, transfer, duplication or disclosure thereof may be made except under a license agreement executed by GTRC or its authorized representatives and no right, title or interest thereto is conveyed or granted herein, notwithstanding receipt or possession hereof. Decompilation of the object code is strictly prohibited.

Georgia Tech Research Corporation
Georgia Institute of Technology
Atlanta, Georgia 30332 U.S.A.

Copyright (c) 2003 GTRC
ALL RIGHTS RESERVED.

Tue Jul 4 23:10:18 2006

1GTICES/C-NP 2.5.0 MD-NT 2.0, January 1995.
Proprietary to Georgia Tech Research Corporation, U.S.A.

Reading password file C:\Program Files\GTStrudl\27\password27.pwd
CI-i-audfile, Command AUDIT file FILE2310.aud has been activated.

```
*** G T S T R U D L ***
RELEASE DATE      VERSION      COMPLETION NO.
June, 2003        27.0         4449

**** ACTIVE UNITS - LENGTH  WEIGHT  ANGLE   TEMPERATURE  TIME
**** ASSUMED TO BE   INCH    POUND   RADIAN  FAHRENHEIT SECOND

{ 1) > $ -----
{ 2) > $ This is the Common Startup Macro; put your company-wide startup commands here.
{ 3) > $ You can edit this file from Tools -- Macros. Click "Startup" and then "Edit".
{ 4) > $ -----
{ 5) > RESTORE 'G:\TA Arief\Tugas Akhir PUSHOVER(LRFD)_oke\Arah 0\Oke2.gts'
DAM-i-filrest, Sub-system 27.0      restored from file G:\TA Arief\Tugas Akhir PUSHOVER(LRFD)_oke\Arah
0\Oke2.gts.
```

```
*** G T S T R U D L ***
RELEASE DATE      VERSION      COMPLETION NO.
June, 2003        27.0         4449

**** INFORMATION -- Saved GTSTRUDL version: 27.0
Restored under GTSTRUDL version: 27.0
```

**** CURRENT GTSTRUDL PROBLEM STATISTICS ****

ACTIVE UNITS: INCH KIP DEG DEGF SEC

INPUT MODE: ADDITIONS SCAN MODE INITIATED: NO

CURRENT STRUCTURAL TYPE: SPACE FRAME

| | JOINTS | MEMBERS | ELEMENTS | SUPERELEMENTS |
|----------|--------|---------|----------|---------------|
| ACTIVE | 701 | 1199 | 0 | 0 |
| INACTIVE | 0 | 0 | 0 | 0 |

RIGID BODIES 0
JOINT TIES 0

| | LOADS: | INDEPENDENT | DEPENDENT |
|----------|--------|-------------|-----------|
| ACTIVE | | 53 | 13 |
| INACTIVE | | 0 | 0 |

MEMBER (-)144-3 PROFILE PIPE TABLE PRISMATIC LOAD PAInc002
 CODE APILRFD1 UNITS INCH KIP
 DISTANCE FROM START OF MEMBER TO SECTION 0.00000
 SECTION FORCES FX FY FZ MT MY MZ
 0.25964E+03 0.20355E+02 0.13269E+02 -0.36500E+02 -0.22881E+04 0.50295E+04
 PROVISION LIMITING ACTUAL ACT./LIM.
 D.3.2.3T 0.30000E+03 0.98417E+02 0.328 PASS
 L/r 0.30000E+03 0.98417E+02 0.328 INFO

 * SLENDERNESS RATIO CHECK *
 * UNITY CHECK IS: 0.3281 *

ALLOWABLE SLENDERNESS RATIO FOR A TENSION LOAD IS 300.000000

| Y-AXIS | * | Z-AXIS |
|---------------------------------------|------------|--|
| KY, EFFECTIVE LENGTH FACTOR - Y . . . | 1.000000 | IN * KZ, EFFECTIVE LENGTH FACTOR - Z . . . |
| 1.000000 IN | | |
| LY, MEMBER LENGTH - Y | 818.42847 | IN * LZ, MEMBER LENGTH - Z |
| 818.42847 IN | | |
| RY, RADIUS OF GYRATION | 8.3159533 | IN * RZ, RADIUS OF GYRATION |
| 8.3159533 IN | | |
| SLENDERNESS RATIO, KY*LY/R | 98.416672 | IN * SLENDERNESS RATIO, KZ*LZ/RZ |
| 98.416672 IN | | |
| RATIO: SLENDERNESS/ALLOWABLE . . . | 0.32805556 | * RATIO: SLENDERNESS/ALLOWABLE . . . |
| 0.32805556 | | |

| | | |
|-----------------|-------------|-------------|
| PARAMETER PF | VALUE = | 1.00000 |
| PARAMETER PHIB | VALUE = | COMPUTE |
| PARAMETER PHITG | VALUE = | COMPUTE |
| D.2.1-1 | 0.34200E+02 | 0.70290E+01 |
| ft | 0.70290E+01 | 0.00000E+00 |
| D.2.3-2b | 0.45682E+02 | 0.00000E+00 |
| fb | 0.25974E+02 | 0.00000E+00 |
| Fb | 0.45682E+02 | 0.00000E+00 |
| D.2.3-1 | 0.43398E+02 | 0.25974E+02 |
| D.3.1-1 | 0.10000E+01 | 0.65018E+00 |
| | | 0.650 |
| | | PASS |

 * TENSION BENDING CHECK *
 * UNITY CHECK IS: 0.6502 *

THIS MEMBER IS EXPERIENCING A CONDITION OF COMBINED TENSION AND BENDING.

A CHECK ACCORDING TO API RP 2A LRFD FIRST EDITION HAS BEEN REQUESTED.

TRACE 3 UNITS ARE INCHES AND POUNDS.

THE FACTORED NOMINAL STRENGTH FOR TENSION AXIAL LOAD IS: 34200.000 PSI.
 THE NOMINAL BENDING STRENGTH WITH A TENSION LOAD IS: 45681.820 PSI.
 THE FOLLOWING PARAMETERS WERE USED IN THE COMPUTATION OF THESE NOMINAL STRENGTHS:

FYLD: 36000.0000 PF: 1.0000

| | | |
|--|------------|-------|
| DIAMETER - D | 24.015753 | IN |
| WALL THICKNESS - T | 0.50000000 | IN |
| D/T | 48.031506 | |
| AXIAL FORCE - FX | 259640.53 | LB |
| AREA | 36.938427 | IN**2 |
| FACTORED TENSILE STRESS. | 7029.0088 | PSI |
| *** NOMINAL STRENGTH (FYLD). | 36000.000 | PSI |
| TENSILE RESISTANCE FACTOR. | 0.95 | |
| *** FACTORED NOMINAL STRENGTH. | 34200.000 | PSI |
| RATIO: AXIAL STRESS / NOMINAL. | 0.20552658 | |
| MOMENT - Y | 2288147.8 | IN-LB |
| MOMENT - Z | 5029458.0 | IN-LB |
| MOMENT RESULTANT | 5525492.5 | IN-LB |
| SECTION MODULUS | 212.73372 | IN**3 |
| PLASTIC MODULUS. | 276.53699 | IN**3 |
| APPLIED FACTORED BENDING STRESS. . . | 25973.750 | PSI |

*** NOMINAL BENDING STRENGTH 45681.820 PSI
 BENDING RESISTANCE FACTOR. 0.95
 *** FACTORED NOMINAL BENDING STRENGTH. . 43397.729 PSI
 RATIO: BENDING STRESS / NOMINAL. . . 0.59850478

*** TENSION BENDING UNITY CHECK 0.65017736

PARAMETER PHIV VALUE = COMPUTE
 D.2.4-2 0.13156E+01 0.00000E+00 0.000 INFO
 fv 0.13156E+01 0.00000E+00 0.000 INFO
 D.2.4-4 0.85787E-01 0.00000E+00 0.000 INFO
 fvt 0.85787E-01 0.00000E+00 0.000 INFO
 D.2.4-1 0.19745E+02 0.13156E+01 0.067 PASS
 Fvn 0.20785E+02 0.00000E+00 0.000 INFO
 D.2.4-3 0.19745E+02 0.85787E-01 0.004 PASS
 Fvtn 0.20785E+02 0.00000E+00 0.000 INFO

 * SHEAR STRESS CHECK *
 * UNITY CHECK IS: 0.0666 *

SHEAR FORCE - FY 20355.234 LB
 SHEAR FORCE - FZ 13269.278 LB
 SHEAR FORCE RESULTANT 24298.340 LB
 SHEAR AREA - AY 18.469213 IN**2
 SHEAR AREA - AZ 18.469213 IN**2
 SHEAR STRESS DUE TO NORMAL FORCE 1315.6132 PSI
 TORSIONAL MOMENT - MX 36499.527 IN-LB
 SECTION DIAMETER - D 24.015753 IN
 TORSIONAL INERTIA - ITORS 5108.9604 IN**4
 TORSIONAL SHEAR STRESS 85.786888 PSI
 TOTAL FACTORED SHEAR STRESS. 1315.6132 PSI
 MODIFIED YIELD STRESS 36000.000 PSI
 *** NOMINAL SHEAR STRENGTH 20784.609 PSI
 SHEAR RESISTANCE FACTOR. 0.95
 *** FACTORED NOMINAL SHEAR STRENGTH. 19745.379 PSI
 RATIO: SHEAR STRESS/NOMINAL STRENGTH. . . 6.66289181E-02

PARAMETER XBRACE VALUE = 1.00000 FOR JOINT = 2203
 PARAMETER XBRTOL VALUE = 0.05000 FOR JOINT = 2203
 PARAMETER XBRACE VALUE = 1.00000 FOR JOINT = 2202
 PARAMETER XBRTOL VALUE = 0.05000 FOR JOINT = 2202

 THE REV PARAMETER IS YES. THE PROFILE IS BEING CHECKED AGAIN WITH THE TENSION STRESS USED AS IF IT
 WERE COMPRESSION.

PARAMETER SLENCOMP VALUE = COMPUTE
 PARAMETER SLND VALUE = 200.00000
 D.3.2.3C 0.20000E+03 0.98417E+02 0.492 PASS
 KL/r 0.20000E+03 0.98417E+02 0.492 INFO

 * SLENDERNESS RATIO CHECK *
 * UNITY CHECK IS: 0.4921 *

ALLOWABLE SLENDERNESS RATIO FOR A COMPRESSION LOAD IS 200.000000

| Y-AXIS | * | Z-AXIS |
|---|----|---|
| KY, EFFECTIVE LENGTH FACTOR - Y . . . 1.0000000 | IN | * KZ, EFFECTIVE LENGTH FACTOR - Z . . . |
| 1.0000000 IN | | |
| LY, MEMBER LENGTH - Y 818.42847 | IN | * LZ, MEMBER LENGTH - Z |
| 818.42847 IN | | |
| RY, RADIUS OF GYRATION 8.3159533 | IN | * RZ, RADIUS OF GYRATION |
| 8.3159533 IN | | |
| SLENDERNESS RATIO, KY*LY/R 98.416672 | IN | * SLENDERNESS RATIO, KZ*LZ/RZ |
| 98.416672 IN | | |
| RATIO: SLENDERNESS/ALLOWABLE . . . 0.49208337 | | * RATIO: SLENDERNESS/ALLOWABLE . . . |
| 0.49208337 | | |

```

PARAMETER PHIC      VALUE = COMPUTE
D.2.2-3      0.36226E+03  0.00000E+00  0.000  INFO
Fxe        0.36226E+03  0.00000E+00  0.000  INFO
D.2.2-4a     0.36000E+02  0.00000E+00  0.000  INFO
Fxc        0.36000E+02  0.00000E+00  0.000  INFO
FYLDMOD    0.36000E+02  0.00000E+00  0.000  INFO
D.2.2-2c     0.11038E+01  0.00000E+00  0.000  INFO
LAMBDA Y    0.11038E+01  0.00000E+00  0.000  INFO
LAMBDA Z    0.11038E+01  0.00000E+00  0.000  INFO
D.2.2-2a     0.25036E+02  0.00000E+00  0.000  INFO
fc          0.70290E+01  0.00000E+00  0.000  INFO
Fcn        0.25036E+02  0.00000E+00  0.000  INFO
D.2.2-1      0.21280E+02  0.70290E+01  0.330  PASS
D.2.3-2b     0.45682E+02  0.00000E+00  0.000  INFO
fb          0.25974E+02  0.00000E+00  0.000  INFO
Fbn        0.45682E+02  0.00000E+00  0.000  INFO
D.2.3-1      0.43398E+02  0.25974E+02  0.599  PASS

```

```

*****
*   PURE BENDING CHECK   *
* UNITY CHECK IS: 0.5985 *
*****

```

THIS MEMBER IS EXPERIENCING A CONDITION OF PURE BENDING.

A CHECK ACCORDING TO API RP 2A LRFD FIRST EDITION HAS BEEN REQUESTED.

TRACE 3 UNITS ARE INCHES AND POUNDS.

THE FOLLOWING YIELD STRESS WAS USED IN THE COMPUTATION OF THESE ALLOWABLE STRESSES:

FYLD: 36000.0000

| | | |
|---|------------|-------|
| DIAMETER - D | 24.015753 | IN |
| WALL THICKNESS - T | 0.50000000 | IN |
| D/T | 48.031506 | |
| MOMENT - Y | 2288147.8 | IN-LB |
| MOMENT - Z | 5029458.0 | IN-LB |
| MOMENT RESULTANT | 5525492.5 | IN-LB |
| SECTION MODULUS | 212.73372 | IN**3 |
| PLASTIC MODULUS | 276.53699 | IN**3 |
| | | |
| BENDING STRESS DUE TO FACTORED LOADS. | 25973.750 | PSI |
| *** NOMINAL BENDING STRENGTH. | 45681.820 | PSI |
| BENDING RESISTANCE FACTOR | 0.95 | |
| *** FACTORED NOMINAL BENDING STRENGTH | 43397.729 | PSI |
| RATIO: BENDING STRESS/NOMINAL STRENGTH. | 0.59850478 | |

| | | |
|---------------------------------------|---------|----------------------------|
| PARAMETER CMC VALUE = | 1.00000 | |
| PARAMETER SDSWAYY VALUE = YES | | |
| PARAMETER CMY VALUE = | 0.85000 | |
| PARAMETER SDSWAYZ VALUE = YES | | |
| PARAMETER CMZ VALUE = | 0.85000 | MODIFIED FOR APILRFD1 CODE |
| PARAMETER CMY VALUE = | 0.85000 | MODIFIED FOR APILRFD1 CODE |
| PARAMETER CMZ VALUE = | 0.85000 | MODIFIED FOR APILRFD1 CODE |
| D.3.2-1 0.10000E+01 0.10367E+01 | 1.037 | FAIL |
| D.3.2-2 0.10000E+01 0.66290E+00 | 0.663 | PASS |
| D.3.2-3 0.30600E+02 0.70290E+01 | 0.230 | PASS |
| D.3.2-3 0.30600E+02 0.70290E+01 | 0.230 | PASS |

```

*****
*   COMPRESSION BENDING CHECK   *
*   USING EQ D.3.2-1   *
*   UNITY CHECK IS: 1.0367   *
*****

```

THIS MEMBER IS EXPERIENCING A CONDITION OF COMBINED BENDING AND COMPRESSION.

A CHECK ACCORDING TO API RP 2A LRFD FIRST EDITION HAS BEEN REQUESTED.

TRACE 3 UNITS ARE INCHES AND POUNDS.

THE FOLLOWING PARAMETERS WERE USED IN THE COMPUTATION OF THESE NOMINAL STRENGTHS:

FYLD: 36000.0000

DIAMETER - D 24.015753 IN

| | | |
|--|------------|------|
| WALL THICKNESS - T | 0.50000000 | IN |
| D/T | 48.031506 | |
| YIELD REDUCTION FACTOR USED | 1.0000000 | |
| YIELD REDUCTION FACTOR RF | 1.0345066 | (NA) |
| YIELD REDUCTION FACTOR RFXE | 10.062843 | (NA) |
| REDUCED YIELD STRESS | 36000.000 | PSI |
| *** NOMINAL BENDING STRENGTH | 45681.820 | PSI |
| BENDING RESISTANCE FACTOR. | 0.95 | |
| *** FACTORED NOMINAL BENDING STRENGTH. . | 43397.729 | PSI |

Y-AXIS

*

Z-AXIS

| ***** | | | |
|--|--|----------|--|
| * KY, EFFECTIVE LENGTH FACTOR 1.0000000 IN * KZ, EFFECTIVE LENGTH FACTOR | | | |
| 1.0000000 IN | | * | KY, EFFECTIVE LENGTH FACTOR 1.0000000 IN * KZ, EFFECTIVE LENGTH FACTOR |
| LY, MEMBER LENGTH - Y 818.42847 IN | | * | LY, MEMBER LENGTH - Z |
| 818.42847 IN | | * | LZ, MEMBER LENGTH - Z |
| RY, RADIUS OF GYRATION - Y 8.3159533 IN | | * | RZ, RADIUS OF GYRATION - Z |
| 8.3159533 IN | | * | RZ, RADIUS OF GYRATION - Z |
| SLENDERNESS RATIO, KY*LY/RY 98.416672 IN | | * | SLENDERNESS RATIO, KZ*LZ/RZ |
| 98.416672 IN | | * | SLENDERNESS RATIO, KZ*LZ/RZ |
| MAXIMUM SLENDERNESS RATIO 98.416672 | | | |
| COLUMN SLENDERNESS PARAMETER, LAMBDA. 1.1037506 | | | |
| *** NOMINAL AXIAL COMPRESSIVE STRENGTH 25035.611 | | PSI | |
| AXIAL COMPRESSION RESISTANCE FACTOR 0.85 | | | |
| FACTORED NOMINAL AXIAL COMPRESSIVE STRENGTH . . 21280.270 | | PSI | |
| EQUATION D.2.2-2A 25035.611 | | PSI | |
| EQUATION D.2.2-2B 29550.213 | | PSI (NA) | |

EQUATION D.3.2-1 COMPUTATION

| | | |
|--|------------|-------|
| AXIAL FORCE - FX | -259640.53 | LBS |
| AREA | 36.938427 | IN**2 |
| COMPRESSIVE STRESS | 7029.0088 | PSI |
| *** NOMINAL AXIAL STRENGTH | 25035.611 | PSI |
| AXIAL COMPRESSION RESISTANCE FACTOR. 0.85 | | |
| *** FACTORED NOMINAL AXIAL STRENGTH. | 21280.270 | PSI |
| COMPRESSIVE AXIAL STRESS/STRENGTH. | 0.33030638 | |

B E N D I N G M O M E N T C O N T R I B U T I O N

Y AXIS BENDING

*

Z AXIS BENDING

| ***** | | | |
|---|--|-------|---|
| * SLENDERNESS RATIO - Y 98.416672 * SLENDERNESS RATIO - Z | | | |
| SLENDERNESS RATIO - Y 98.416672 | | * | SLENDERNESS RATIO - Z |
| EULER BUCKLING STRESS FEPRIME - Y 29550.213 | | PSI | * EULER BUCKLING STRESS FEPRIME - Z . |
| 29550.213 PSI | | | |
| END MOMENT MY1 -1634603.2 | | IN-LB | * END MOMENT MZ1 - |
| 1172743.2 IN-LB | | | |
| END MOMENT MY2 2288147.8 | | IN-LB | * END MOMENT MZ2 - |
| 5029458.0 IN-LB | | | |
| END MOMENT RATIO MY1/MY2 0.71437836 | | | * END MOMENT RATIO MZ1/MZ2 |
| 0.23317488 | | | |
| (SIGN CONVENTION HONORED) | | | * (SIGN CONVENTION HONORED) |
| CMY, Y MOMENT INTERACTION COEFF 0.85000002 | | | * CMZ, Z MOMENT INTERACTION COEFF |
| 0.85000002 | | | |
| COMPRESSIVE STRESS 7029.0088 | | PSI | * COMPRESSIVE STRESS |
| 7029.0088 PSI | | | |
| COMPRESSIVE STRESS / | | | * COMPRESSIVE STRESS / |
| ADJUSTED EULER Y STRESS 0.27984306 | | IN-LB | ADJUSTED EULER Y STRESS |
| 0.27984306 IN-LB | | | |
| MOMENT - MY 2288147.8 | | IN-LB | * MOMENT - MZ |
| 5029458.0 IN-LB | | | |
| SECTION MODULUS 212.73372 | | IN**3 | * SECTION MODULUS |
| 212.73372 IN**3 | | | |
| APPLIED BENDING STRESS - Y, FBY 10755.924 | | PSI | * APPLIED BENDING STRESS - Z, FBZ |
| 23642.035 PSI | | | |
| ADJUSTED STRESS Y 12695.199 | | PSI | * ADJUSTED STRESS Z |
| 27904.656 PSI | | | |

| | | |
|---|------------|-----|
| TOTAL FACTORED ADJUSTED BENDING STRESS RESULTANT | 30656.775 | PSI |
| *** NOMINAL BENDING STRENGTH | 45681.820 | PSI |
| BENDING RESISTANCE FACTOR | 0.95 | |
| *** FACTORED NOMINAL BENDING STRENGTH | 43397.729 | PSI |
| RATIO: ADJUSTED BENDING STRESS/NOMINAL BENDING STRENGTH . . . | 0.70641428 | |

COMBINED UNITY CHECK - EQ D.3.2-1; AXIAL + BENDING: 1.0367206

EQUATION D.3.2-2 COMPUTATION

| | | |
|---|------------|-------|
| AXIAL FORCE - FX | -259640.53 | LBS |
| AREA | 36.938427 | IN**2 |
| COMPRESSIVE STRESS | 7029.0088 | PSI |
| *** NOMINAL AXIAL STRENGTH | 25035.611 | PSI |
| AXIAL COMPRESSION RESISTANCE FACTOR | 0.85 | |
| *** FACTORED NOMINAL AXIAL STRENGTH | 21280.270 | PSI |
| COMPRESSIVE AXIAL STRESS/STRENGTH | 0.33030638 | |

| | | |
|--|------------|-----|
| BENDING STRESS DUE TO FACTORED LOADS | 25973.750 | PSI |
| *** NOMINAL BENDING STRENGTH, FB | 45681.820 | PSI |
| BENDING RESISTANCE FACTOR | 0.95 | |
| *** FACTORED NOMINAL BENDING STRENGTH | 43397.729 | PSI |
| RATIO: STRESS RESULTANT/NOMINAL BENDING STRENGTH | 0.59850478 | |

COMBINED UNITY CHECK - EQ D.3.2-2; AXIAL + BENDING: 0.66289777

COMBINED UNITY CHECK - EQ D.3.2-3; AXIAL + BENDING: 0.22970617

*** EQUATION D.3.2-1 CONTROLS THE COMPRESSION BENDING UNITY CHECK VALUE OF: 1.0367206

| | | | | |
|---------|-------------|-------------|-------|------|
| D.2.4-2 | 0.13156E+01 | 0.00000E+00 | 0.000 | INFO |
| fv | 0.13156E+01 | 0.00000E+00 | 0.000 | INFO |
| D.2.4-4 | 0.85787E-01 | 0.00000E+00 | 0.000 | INFO |
| fvt | 0.85787E-01 | 0.00000E+00 | 0.000 | INFO |
| D.2.4-1 | 0.19745E+02 | 0.13156E+01 | 0.067 | PASS |
| Fvn | 0.20785E+02 | 0.00000E+00 | 0.000 | INFO |
| D.2.4-3 | 0.19745E+02 | 0.85787E-01 | 0.004 | PASS |
| Fvtn | 0.20785E+02 | 0.00000E+00 | 0.000 | INFO |

* SHEAR STRESS CHECK *
* UNITY CHECK IS: 0.0666 *

| | | |
|--|----------------|-------|
| SHEAR FORCE - FY | 20355.234 | LB |
| SHEAR FORCE - FZ | 13269.278 | LB |
| SHEAR FORCE RESULTANT | 24298.340 | LB |
| SHEAR AREA - AY | 18.469213 | IN**2 |
| SHEAR AREA - AZ | 18.469213 | IN**2 |
| SHEAR STRESS DUE TO NORMAL FORCE | 1315.6132 | PSI |
| TORSIONAL MOMENT - MX | 36499.527 | IN-LB |
| SECTION DIAMETER - D | 24.015753 | IN |
| TORSIONAL INERTIA - ITORS | 5108.9604 | IN**4 |
| TORSIONAL SHEAR STRESS | 85.786888 | PSI |
| TOTAL FACTORED SHEAR STRESS | 1315.6132 | PSI |
| MODIFIED YIELD STRESS | 36000.000 | PSI |
| *** NOMINAL SHEAR STRENGTH | 20784.609 | PSI |
| SHEAR RESISTANCE FACTOR | 0.95 | |
| *** FACTORED NOMINAL SHEAR STRENGTH | 19745.379 | PSI |
| RATIO: SHEAR STRESS/NOMINAL STRENGTH | 6.66289181E-02 | |

***** CRITICAL UNITY CHECK IS *****
***** 1.0367 (D.3.2-1) *****

* PROFILE HAS FAILED CODE CHECK *

THIS MEMBER IS EXPERIENCING A CONDITION OF COMBINED TENSION AND BENDING.
A CHECK ACCORDING TO API RP 2A LRFD FIRST EDITION HAS BEEN REQUESTED.

TRACE 3 UNITS ARE INCHES AND POUNDS.

THE FACTORED NOMINAL STRENGTH FOR TENSION AXIAL LOAD IS: 34200.000 PSI.
THE NOMINAL BENDING STRENGTH WITH A TENSION LOAD IS: 45681.820 PSI.
THE FOLLOWING PARAMETERS WERE USED IN THE COMPUTATION OF THESE NOMINAL STRENGTHS:

FYLD: 36000.0000 PF: 1.0000

| | | |
|--|------------|-------|
| DIAMETER - D | 24.015753 | IN |
| WALL THICKNESS - T | 0.50000000 | IN |
| D/T | 48.031506 | |
| AXIAL FORCE - FX | 259640.53 | LB |
| AREA | 36.938427 | IN**2 |
| FACTORED TENSILE STRESS. | 7029.0088 | PSI |
| *** NOMINAL STRENGTH (FYLD) | 36000.000 | PSI |
| TENSILE RESISTANCE FACTOR. | 0.95 | |
| *** FACTORED NOMINAL STRENGTH. | 34200.000 | PSI |
| RATIO: AXIAL STRESS / NOMINAL. | 0.20552658 | |
| MOMENT - Y | 655600.44 | IN-LB |
| MOMENT - Z | 730745.81 | IN-LB |
| MOMENT RESULTANT | 981733.88 | IN-LB |
| SECTION MODULUS | 212.73372 | IN**3 |
| PLASTIC MODULUS. | 276.53699 | IN**3 |
| APPLIED FACTORED BENDING STRESS. | 4614.8486 | PSI |
| *** NOMINAL BENDING STRENGTH | 45681.820 | PSI |
| BENDING RESISTANCE FACTOR. | 0.95 | |
| *** FACTORED NOMINAL BENDING STRENGTH. | 43397.729 | PSI |
| RATIO: BENDING STRESS / NOMINAL. | 0.10633848 | |
| *** TENSION BENDING UNITY CHECK | 0.15801105 | |
| D.2.4-2 0.41750E+00 0.00000E+00 0.000 INFO | | |
| fv 0.41750E+00 0.00000E+00 0.000 INFO | | |
| D.2.4-4 0.85787E-01 0.00000E+00 0.000 INFO | | |
| fvt 0.85787E-01 0.00000E+00 0.000 INFO | | |
| D.2.4-1 0.19745E+02 0.41750E+00 0.021 PASS | | |
| Fvn 0.20785E+02 0.00000E+00 0.000 INFO | | |
| D.2.4-3 0.19745E+02 0.85787E-01 0.004 PASS | | |
| Fvtn 0.20785E+02 0.00000E+00 0.000 INFO | | |

* SHEAR STRESS CHECK *
* UNITY CHECK IS: 0.0211 *

| | | |
|---|----------------|-------|
| SHEAR FORCE - FY | 7664.4556 | LB |
| SHEAR FORCE - FZ | 845.10413 | LB |
| SHEAR FORCE RESULTANT | 7710.9067 | LB |
| SHEAR AREA - AY | 18.469213 | IN**2 |
| SHEAR AREA - AZ | 18.469213 | IN**2 |
| SHEAR STRESS DUE TO NORMAL FORCE | 417.50055 | PSI |
| TORSIONAL MOMENT - MX | 36499.527 | IN-LB |
| SECTION DIAMETER - D | 24.015753 | IN |
| TORSIONAL INERTIA - ITORS | 5108.9604 | IN**4 |
| TORSIONAL SHEAR STRESS | 85.786888 | PSI |
| TOTAL FACTORED SHEAR STRESS. | 417.50055 | PSI |
| MODIFIED YIELD STRESS | 36000.000 | PSI |
| *** NOMINAL SHEAR STRENGTH | 20784.609 | PSI |
| SHEAR RESISTANCE FACTOR. | 0.95 | |
| *** FACTORED NOMINAL SHEAR STRENGTH. | 19745.379 | PSI |
| RATIO: SHEAR STRESS/NOMINAL STRENGTH. | 2.11442169E-02 | |

PARAMETER XBRACE VALUE = 1.00000 FOR JOINT = 2203
PARAMETER XBRTOL VALUE = 0.05000 FOR JOINT = 2203
PARAMETER XBRACE VALUE = 1.00000 FOR JOINT = 2202
PARAMETER XBRTOL VALUE = 0.05000 FOR JOINT = 2202

THE REV PARAMETER IS YES. THE PROFILE IS BEING CHECKED AGAIN WITH THE TENSION STRESS USED AS IF IT
WERE COMPRESSION.

PARAMETER SLND VALUE = 200.00000
D.3.2.3C 0.20000E+03 0.98417E+02 0.492 PASS

KL/r 0.20000E+03 0.98417E+02 0.492 INFO

* SLENDERNESS RATIO CHECK *
* UNITY CHECK IS: 0.4921 *

ALLOWABLE SLENDERNESS RATIO FOR A COMPRESSION LOAD IS 200.000000

| Y-AXIS | | * | Z-AXIS | |
|--|------------|-------|--|--|
| KY, EFFECTIVE LENGTH FACTOR - Y . . . | 1.000000 | IN | KZ, EFFECTIVE LENGTH FACTOR - Z . . . | |
| 1.000000 IN | | | LZ, MEMBER LENGTH - Z | |
| LY, MEMBER LENGTH - Y | 818.42847 | IN | | |
| 818.42847 IN | | | RZ, RADIUS OF GYRATION | |
| RY, RADIUS OF GYRATION | 8.3159533 | IN | | |
| 8.3159533 IN | | | SLENDERNESS RATIO, KZ*LZ/RZ | |
| SLENDERNESS RATIO, KY*LY/R | 98.416672 | IN | | |
| 98.416672 IN | | | RATIO: SLENDERNESS/ALLOWABLE | |
| RATIO: SLENDERNESS/ALLOWABLE | 0.49208337 | | * RATIO: SLENDERNESS/ALLOWABLE | |
| 0.49208337 | | | | |
| D.2.2-3 0.36226E+03 0.00000E+00 | | 0.000 | INFO | |
| Fxe 0.36226E+03 0.00000E+00 | | 0.000 | INFO | |
| D.2.2-4a 0.36000E+02 0.00000E+00 | | 0.000 | INFO | |
| Fxc 0.36000E+02 0.00000E+00 | | 0.000 | INFO | |
| FYLDMOD 0.36000E+02 0.00000E+00 | | 0.000 | INFO | |
| D.2.2-2c 0.11038E+01 0.00000E+00 | | 0.000 | INFO | |
| LAMBDA Y 0.11038E+01 0.00000E+00 | | 0.000 | INFO | |
| LAMBDA Z 0.11038E+01 0.00000E+00 | | 0.000 | INFO | |
| D.2.2-2a 0.25036E+02 0.00000E+00 | | 0.000 | INFO | |
| fc 0.70290E+01 0.00000E+00 | | 0.000 | INFO | |
| Fcn 0.25036E+02 0.00000E+00 | | 0.000 | INFO | |
| D.2.2-1 0.21280E+02 0.70290E+01 | | 0.330 | PASS | |
| D.2.3-2b 0.45682E+02 0.00000E+00 | | 0.000 | INFO | |
| fb 0.46148E+01 0.00000E+00 | | 0.000 | INFO | |
| Fbn 0.45682E+02 0.00000E+00 | | 0.000 | INFO | |
| D.2.3-1 0.43398E+02 0.46148E+01 | | 0.106 | PASS | |
| 0.43398E+02 | | | | |

* PURE BENDING CHECK *
* UNITY CHECK IS: 0.1063 *

THIS MEMBER IS EXPERIENCING A CONDITION OF PURE BENDING.

A CHECK ACCORDING TO API RP 2A LRFD FIRST EDITION HAS BEEN REQUESTED.

TRACE 3 UNITS ARE INCHES AND POUNDS.

THE FOLLOWING YIELD STRESS WAS USED IN THE COMPUTATION OF THESE ALLOWABLE STRESSES:

FYLD: 36000.0000

| | | |
|---|------------|-------|
| DIAMETER - D | 24.015753 | IN |
| WALL THICKNESS - T | 0.50000000 | IN |
| D/T | 48.031506 | |
| MOMENT - Y | 655600.44 | IN-LB |
| MOMENT - Z | 730745.81 | IN-LB |
| MOMENT RESULTANT | 981733.88 | IN-LB |
| SECTION MODULUS | 212.73372 | IN**3 |
| PLASTIC MODULUS | 276.53699 | IN**3 |
| BENDING STRESS DUE TO FACTORED LOADS. | 4614.8486 | PSI |
| *** NOMINAL BENDING STRENGTH. | 45681.820 | PSI |
| BENDING RESISTANCE FACTOR | 0.95 | |
| *** FACTORED NOMINAL BENDING STRENGTH | 43397.729 | PSI |
| RATIO: BENDING STRESS/NOMINAL STRENGTH. . . | 0.10633848 | |

| | | |
|---------------------------------|---------|----------------------------|
| PARAMETER CMY VALUE = | 0.85000 | |
| PARAMETER CMZ VALUE = | 0.85000 | |
| PARAMETER CMY VALUE = | 0.85000 | MODIFIED FOR APILRFD1 CODE |
| PARAMETER CMZ VALUE = | 0.85000 | MODIFIED FOR APILRFD1 CODE |
| D.3.2-1 0.10000E+01 0.45582E+00 | 0.456 | PASS |
| D.3.2-2 0.10000E+01 0.17073E+00 | 0.171 | PASS |
| D.3.2-3 0.30600E+02 0.70290E+01 | 0.230 | PASS |



D.3.2-3 0.30600E+02 0.70290E+01 0.230 PASS

* COMPRESSION BENDING CHECK *
* USING EQ D.3.2-1 *
* UNITY CHECK IS: 0.4558 *

THIS MEMBER IS EXPERIENCING A CONDITION OF COMBINED BENDING AND COMPRESSION.

A CHECK ACCORDING TO API RP 2A LRFD FIRST EDITION HAS BEEN REQUESTED.

TRACE 3 UNITS ARE INCHES AND POUNDS.

THE FOLLOWING PARAMETERS WERE USED IN THE COMPUTATION OF THESE NOMINAL STRENGTHS:

FYLD: 36000.0000

| | | |
|--|------------|------|
| DIAMETER - D | 24.015753 | IN |
| WALL THICKNESS - T | 0.50000000 | IN |
| D/T | 48.031506 | |
| YIELD REDUCTION FACTOR USED | 1.0000000 | |
| YIELD REDUCTION FACTOR RF | 1.0345066 | (NA) |
| YIELD REDUCTION FACTOR RF <small>X</small> E | 10.062843 | (NA) |
| REDUCED YIELD STRESS | 36000.000 | PSI |
| *** NOMINAL BENDING STRENGTH | 45681.820 | PSI |
| BENDING RESISTANCE FACTOR. | 0.95 | |
| *** FACTORED NOMINAL BENDING STRENGTH. | 43397.729 | PSI |

Y-AXIS * Z-AXIS

* KY, EFFECTIVE LENGTH FACTOR 1.0000000 IN * KZ, EFFECTIVE LENGTH FACTOR
1.0000000 IN * LZ, MEMBER LENGTH - Z
LY, MEMBER LENGTH - Y 818.42847 IN * RZ, RADIUS OF GYRATION - Z
818.42847 IN * SLENDERNESS RATIO, KY*LY/RY 98.416672 IN * SLENDERNESS RATIO, KZ*LZ/RZ
8.3159533 IN
SLENDERNESS RATIO, KY*LY/RY 98.416672 IN
98.416672 IN
MAXIMUM SLENDERNESS RATIO 98.416672
COLUMN SLENDERNESS PARAMETER, LAMBDA. 1.1037506
*** NOMINAL AXIAL COMPRESSIVE STRENGTH 25035.611 PSI
AXIAL COMPRESSION RESISTANCE FACTOR 0.85
FACTORED NOMINAL AXIAL COMPRESSIVE STRENGTH 21280.270 PSI
EQUATION D.2.2-2A 25035.611 PSI
EQUATION D.2.2-2B 29550.213 PSI (NA)

EQUATION D.3.2-1 COMPUTATION

| | | |
|--|------------|-------|
| AXIAL FORCE - FX | -259640.53 | LBS |
| AREA | 36.938427 | IN**2 |
| COMPRESSIVE STRESS | 7029.0088 | PSI |
| *** NOMINAL AXIAL STRENGTH | 25035.611 | PSI |
| AXIAL COMPRESSION RESISTANCE FACTOR. | 0.85 | |
| *** FACTORED NOMINAL AXIAL STRENGTH. | 21280.270 | PSI |
| COMPRESSIVE AXIAL STRESS/STRENGTH. | 0.33030638 | |

B E N D I N G M O M E N T C O N T R I B U T I O N

Y AXIS BENDING * Z AXIS BENDING

* SLENDERNESS RATIO - Y 98.416672 * SLENDERNESS RATIO - Z
98.416672 * EULER BUCKLING STRESS FEPXRIME - Y . . 29550.213 PSI * EULER BUCKLING STRESS FEPXRIME - Z .
29550.213 PSI

| | | | | | | |
|-------------------------------------|------------|-------|-------|-------------------------------------|-------------------------------------|---|
| END MOMENT MY1 | -1634603.2 | IN-LB | * | END MOMENT MZ1 | - | |
| 1172743.2 IN-LB | | | | | | |
| END MOMENT MY2 | 2288147.8 | IN-LB | * | END MOMENT MZ2 | - | |
| 5029458.0 IN-LB | | | | | | |
| END MOMENT RATIO MY1/MY2 | 0.71437836 | | * | END MOMENT RATIO MZ1/MZ2 | - | |
| 0.23317488 | | | | | | |
| (SIGN CONVENTION HONORED) | | | * | (SIGN CONVENTION HONORED) | | |
| CMY, Y MOMENT INTERACTION COEFF . . | 0.85000002 | | * | CMZ, Z MOMENT INTERACTION COEFF . . | | |
| 0.85000002 | | | | | | |
| COMPRESSIVE STRESS | 7029.0088 | PSI | * | COMPRESSIVE STRESS | - | |
| 7029.0088 PSI | | | | | | |
| COMPRESSIVE STRESS / | | | * | COMPRESSIVE STRESS / | | |
| ADJUSTED EULER Y STRESS . . | 0.27984306 | IN-LB | IN-LB | * | ADJUSTED EULER Y STRESS . . | |
| 0.27984306 IN-LB | | | | | | |
| MOMENT - MY | 655600.44 | IN-LB | IN-LB | * | MOMENT - MZ | - |
| 730745.81 IN-LB | | | | | | |
| SECTION MODULUS | 212.73372 | IN**3 | IN**3 | * | SECTION MODULUS | - |
| 212.73372 IN**3 | | | | | | |
| APPLIED BENDING STRESS - Y, FBY . . | 3081.7891 | PSI | PSI | * | APPLIED BENDING STRESS - Z, FBZ . . | - |
| 3435.0259 PSI | | | | | | |
| ADJUSTED STRESS Y | 3637.4307 | PSI | PSI | * | ADJUSTED STRESS Z | - |
| 4054.3555 PSI | | | | | | |

| | | |
|---|------------|-----|
| TOTAL FACTORED ADJUSTED BENDING STRESS RESULTANT. | 5446.8984 | PSI |
| *** NOMINAL BENDING STRENGTH. | 45681.820 | PSI |
| BENDING RESISTANCE FACTOR | 0.95 | |
| *** FACTORED NOMINAL BENDING STRENGTH | 43397.729 | PSI |
| RATIO: ADJUSTED BENDING STRESS/NOMINAL BENDING STRENGTH . . . | 0.12551114 | |

COMBINED UNITY CHECK - EQ D.3.2-1; AXIAL + BENDING: 0.45581752

EQUATION D.3.2-2 COMPUTATION

| | | |
|---|------------|-------|
| AXIAL FORCE - FX | -259640.53 | LBS |
| AREA | 36.938427 | IN**2 |
| COMPRESSIVE STRESS | 7029.0088 | PSI |
| *** NOMINAL AXIAL STRENGTH | 25035.611 | PSI |
| AXIAL COMPRESSION RESISTANCE FACTOR. 0.85 | | |
| *** FACTORED NOMINAL AXIAL STRENGTH. . . | 21280.270 | PSI |
| COMPRESSIVE AXIAL STRESS/STRENGTH. . . | 0.33030638 | |

| | | |
|---|------------|-----|
| BENDING STRESS DUE TO FACTORED LOADS. | 4614.8486 | PSI |
| *** NOMINAL BENDING STRENGTH, FB | 45681.820 | PSI |
| BENDING RESISTANCE FACTOR | 0.95 | |
| *** FACTORED NOMINAL BENDING STRENGTH | 43397.729 | PSI |
| RATIO: STRESS RESULTANT/NOMINAL BENDING STRENGTH. | 0.10633848 | |

COMBINED UNITY CHECK - EQ D.3.2-2; AXIAL + BENDING: 0.17073141

COMBINED UNITY CHECK - EQ D.3.2-3; AXIAL + BENDING: 0.22970617

*** EQUATION D.3.2-1 CONTROLS THE COMPRESSION BENDING UNITY CHECK VALUE OF: 0.45581752

| | | |
|--|--|--|
| D.2.4-2 0.41750E+00 0.00000E+00 0.000 INFO | | |
| fv 0.41750E+00 0.00000E+00 0.000 INFO | | |
| D.2.4-4 0.85787E-01 0.00000E+00 0.000 INFO | | |
| fvt 0.85787E-01 0.00000E+00 0.000 INFO | | |
| D.2.4-1 0.19745E+02 0.41750E+00 0.021 PASS | | |
| Fvn 0.20785E+02 0.00000E+00 0.000 INFO | | |
| D.2.4-3 0.19745E+02 0.85787E-01 0.004 PASS | | |
| Fvtn 0.20785E+02 0.00000E+00 0.000 INFO | | |

* SHEAR STRESS CHECK *
* UNITY CHECK IS: 0.0211 *

| | | |
|--|-----------|-------|
| SHEAR FORCE - FY | 7664.4556 | LB |
| SHEAR FORCE - FZ | 845.10413 | LB |
| SHEAR FORCE RESULTANT | 7710.9067 | LB |
| SHEAR AREA - AY | 18.469213 | IN**2 |
| SHEAR AREA - AZ | 18.469213 | IN**2 |
| SHEAR STRESS DUE TO NORMAL FORCE . . . | 417.50055 | PSI |
| TORSIONAL MOMENT - MX | 36499.527 | IN-LB |
| SECTION DIAMETER - D | 24.015753 | IN |
| TORSIONAL INERTIA - ITORS | 5108.9604 | IN**4 |
| TORSIONAL SHEAR STRESS | 85.786888 | PSI |

```

TOTAL FACTORED SHEAR STRESS. . . . . 417.50055 PSI
MODIFIED YIELD STRESS . . . . . 36000.000 PSI
*** NOMINAL SHEAR STRENGTH . . . . . 20784.609 PSI
SHEAR RESISTANCE FACTOR. . . . . 0.95
*** FACTORED NOMINAL SHEAR STRENGTH. . . . . 19745.379 PSI
RATIO: SHEAR STRESS/NOMINAL STRENGTH. . . 2.11442169E-02

*****
***** CRITICAL UNITY CHECK IS *****
***** 0.4921 (SLNDRNSS) *****
***** *****

*****
* PROFILE HAS PASSED CODE CHECK *
*****

PARAMETER XBRACE VALUE = 1.00000 FOR JOINT = 2203
PARAMETER XBRTOLE VALUE = 0.05000 FOR JOINT = 2203
PARAMETER KY VALUE = 1.00000
PARAMETER KZ VALUE = 1.00000
PARAMETER SLND VALUE = COMPUTE FOR LOADING = PAInc002
1*****OAPILRFD1 CODE CHECK TRACE
***** MEMBER - (-)144-3 TABLE - PRIS. PROFILE - PIPE LOADING - PAInc002
***** DISTANCE FROM START OF MEMBER TO SECTION = 818.43
***** FORCE VECTOR ( 2.596405E+05 5.781921E+03 1.149639E+04 3.649953E+04 1.634868E+06 1.172920E+06 )
***** AREA . . . . . 36.938427 IN**2
***** DIAMETER - D . . . . . 24.015753 IN
***** WALL THICKNESS - T . . . . . 0.50000000 IN
***** Y-AXIS * Z-AXIS
***** IY BENDING MOMENT OF INERTIA Y - AXIS . 2554.4819 IN**4 * IZ BENDING MOMENT OF INERTIA Z - AXIS
. 2554.4819 IN**4
***** SY SECTION MODULUS Y - AXIS . . . . . 212.73386 IN**3 * SZ SECTION MODULUS Z - AXIS . . .
. 212.73386 IN**3
***** ZY PLASTIC MODULUS Y - AXIS . . . . . 276.53699 IN**3 * ZZ PLASTIC MODULUS Z - AXIS . . .
. 276.53699 IN**3
***** RY RADIUS OF GYRATION Y - AXIS . . . . . 8.3159533 IN * RZ RADIUS OF GYRATION Z - AXIS . . .
. 8.3159533 IN
***** PARAMETER SLND VALUE = 300.00000
***** MEMBER (-)144-3 PROFILE PIPE TABLE PRISMATIC LOAD PAInc002
CODE APILRFD1 UNITS INCH KIP
DISTANCE FROM START OF MEMBER TO SECTION 818.42847
SECTION FORCES FX FY FZ MT MY MZ
0.25964E+03 -0.57819E+01 -0.11496E+02 -0.36500E+02 -0.16349E+04 -0.11729E+04
PROVISION LIMITING ACTUAL ACT./LIM.
D.3.2.3T 0.30000E+03 0.98417E+02 0.328 PASS
L/r 0.30000E+03 0.98417E+02 0.328 INFO
***** SLENDERNESS RATIO CHECK *
***** UNITY CHECK IS: 0.3281 *
***** ALLOWABLE SLENDERNESS RATIO FOR A TENSION LOAD IS 300.000000
***** Y-AXIS * Z-AXIS
***** KY, EFFECTIVE LENGTH FACTOR - Y . . 1.0000000 IN * KZ, EFFECTIVE LENGTH FACTOR - Z . .
1.0000000 IN

```

| | | | |
|--|------------|----|--|
| LY, MEMBER LENGTH - Y | 818.42847 | IN | * LZ, MEMBER LENGTH - Z |
| RY, RADIUS OF GYRATION | 8.3159533 | IN | * RZ, RADIUS OF GYRATION |
| 8.3159533 IN | | | |
| SLENDERNESS RATIO, KY*LY/R | 98.416672 | IN | * SLENDERNESS RATIO, KZ*LZ/RZ |
| 98.416672 IN | | | |
| RATIO: SLENDERNESS/ALLOWABLE | 0.32805556 | | * RATIO: SLENDERNESS/ALLOWABLE |
| 0.32805556 | | | |

| | | | | |
|----------|-------------|-------------|-------|------|
| D.2.1-1 | 0.34200E+02 | 0.70290E+01 | 0.206 | PASS |
| ft | 0.70290E+01 | 0.00000E+00 | 0.000 | INFO |
| D.2.3-2b | 0.45682E+02 | 0.00000E+00 | 0.000 | INFO |
| fb | 0.94583E+01 | 0.00000E+00 | 0.000 | INFO |
| Fbn | 0.45682E+02 | 0.00000E+00 | 0.000 | INFO |
| D.2.3-1 | 0.43398E+02 | 0.94583E+01 | 0.218 | PASS |
| D.3.1-1 | 0.10000E+01 | 0.26962E+00 | 0.270 | PASS |

* TENSION BENDING CHECK *
* UNITY CHECK IS: 0.2696 *

THIS MEMBER IS EXPERIENCING A CONDITION OF COMBINED TENSION AND BENDING.

A CHECK ACCORDING TO API RP 2A LRFD FIRST EDITION HAS BEEN REQUESTED.

TRACE 3 UNITS ARE INCHES AND POUNDS.

THE FACTORED NOMINAL STRENGTH FOR TENSION AXIAL LOAD IS: 34200.000 PSI.
 THE NOMINAL BENDING STRENGTH WITH A TENSION LOAD IS: 45681.820 PSI.
 THE FOLLOWING PARAMETERS WERE USED IN THE COMPUTATION OF THESE NOMINAL STRENGTHS:

FYLD: 36000.0000 PF: 1.0000

| | | |
|---|------------|-------|
| DIAMETER - D | 24.015753 | IN |
| WALL THICKNESS - T | 0.50000000 | IN |
| D/T | 48.031506 | |
| AXIAL FORCE - FX | 259640.53 | LB |
| AREA | 36.938427 | IN**2 |
| FACTORED TENSILE STRESS | 7029.0088 | PSI |
| *** NOMINAL STRENGTH (FYLD) | 36000.000 | PSI |
| TENSILE RESISTANCE FACTOR | 0.95 | |
| *** FACTORED NOMINAL STRENGTH | 34200.000 | PSI |
| RATIO: AXIAL STRESS / NOMINAL | 0.20552658 | |
| MOMENT - Y | 1634868.4 | IN-LB |
| MOMENT - Z | 1172920.2 | IN-LB |
| MOMENT RESULTANT | 2012097.5 | IN-LB |
| SECTION MODULUS | 212.73372 | IN**3 |
| PLASTIC MODULUS | 276.53699 | IN**3 |
| APPLIED FACTORED BENDING STRESS . . . | 9458.2910 | PSI |
| *** NOMINAL BENDING STRENGTH | 45681.820 | PSI |
| BENDING RESISTANCE FACTOR | 0.95 | |
| *** FACTORED NOMINAL BENDING STRENGTH . . | 43397.729 | PSI |
| RATIO: BENDING STRESS / NOMINAL | 0.21794437 | |

*** TENSION BENDING UNITY CHECK 0.26961693

| | | | | |
|---------|-------------|-------------|-------|------|
| D.2.4-2 | 0.69675E+00 | 0.00000E+00 | 0.000 | INFO |
| fv | 0.69675E+00 | 0.00000E+00 | 0.000 | INFO |
| D.2.4-4 | 0.85787E-01 | 0.00000E+00 | 0.000 | INFO |
| fvt | 0.85787E-01 | 0.00000E+00 | 0.000 | INFO |
| D.2.4-1 | 0.19745E+02 | 0.69675E+00 | 0.035 | PASS |
| Fvn | 0.20785E+02 | 0.00000E+00 | 0.000 | INFO |
| D.2.4-3 | 0.19745E+02 | 0.85787E-01 | 0.004 | PASS |
| Fvtn | 0.20785E+02 | 0.00000E+00 | 0.000 | INFO |

* SHEAR STRESS CHECK *
* UNITY CHECK IS: 0.0353 *

| | | |
|--|-----------|-------|
| SHEAR FORCE - FY | 5781.9214 | LB |
| SHEAR FORCE - FZ | 11496.394 | LB |
| SHEAR FORCE RESULTANT | 12868.477 | LB |
| SHEAR AREA - AY | 18.469213 | IN**2 |
| SHEAR AREA - AZ | 18.469213 | IN**2 |
| SHEAR STRESS DUE TO NORMAL FORCE | 696.75281 | PSI |

TORSIONAL MOMENT - MX 36499.527 IN-LB
 SECTION DIAMETER - D 24.015753 IN
 TORSIONAL INERTIA - ITORS 5108.9604 IN**4
 TORSIONAL SHEAR STRESS 85.786888 PSI
 TOTAL FACTORED SHEAR STRESS. 696.75281 PSI
 MODIFIED YIELD STRESS 36000.000 PSI
 *** NOMINAL SHEAR STRENGTH 20784.609 PSI
 SHEAR RESISTANCE FACTOR. 0.95
 *** FACTORED NOMINAL SHEAR STRENGTH. 19745.379 PSI
 RATIO: SHEAR STRESS/NOMINAL STRENGTH. 3.52868810E-02

PARAMETER XBRACE VALUE = 1.00000 FOR JOINT = 2203
 PARAMETER XBRTOl VALUE = 0.05000 FOR JOINT = 2203
 PARAMETER XBRACE VALUE = 1.00000 FOR JOINT = 2202
 PARAMETER XBRTOl VALUE = 0.05000 FOR JOINT = 2202

 THE REV PARAMETER IS YES. THE PROFILE IS BEING CHECKED AGAIN WITH THE TENSION STRESS USED AS IF IT WERE COMPRESSION.

PARAMETER SLND VALUE = 200.00000
 D.3.2.3C 0.20000E+03 0.98417E+02 0.492 PASS
 KL/r 0.20000E+03 0.98417E+02 0.492 INFO

 * SLENDERNESS RATIO CHECK *
 * UNITY CHECK IS: 0.4921 *

ALLOWABLE SLENDERNESS RATIO FOR A COMPRESSION LOAD IS 200.000000

| Y-AXIS | * | Z-AXIS |
|---|-------|--|
| KY, EFFECTIVE LENGTH FACTOR - Y . . . 1.0000000 | IN | * KZ, EFFECTIVE LENGTH FACTOR - Z . . . |
| 1.0000000 IN | | |
| LY, MEMBER LENGTH - Y 818.42847 | IN | * LZ, MEMBER LENGTH - Z |
| 818.42847 IN | | |
| RY, RADIUS OF GYRATION 8.3159533 | IN | * RZ, RADIUS OF GYRATION |
| 8.3159533 IN | | |
| SLENDERNESS RATIO, KY*LY/R 98.416672 | IN | * SLENDERNESS RATIO, KZ*LZ/RZ |
| 98.416672 IN | | |
| RATIO: SLENDERNESS/ALLOWABLE 0.49208337 | | * RATIO: SLENDERNESS/ALLOWABLE |
| 0.49208337 | | |
| D.2.2-3 0.36226E+03 0.00000E+00 | 0.000 | INFO |
| Fxe 0.36226E+03 0.00000E+00 | 0.000 | INFO |
| D.2.2-4a 0.36000E+02 0.00000E+00 | 0.000 | INFO |
| Fxc 0.36000E+02 0.00000E+00 | 0.000 | INFO |
| FYLDMOD 0.36000E+02 0.00000E+00 | 0.000 | INFO |
| D.2.2-2c 0.11038E+01 0.00000E+00 | 0.000 | INFO |
| LAMBDA Y 0.11038E+01 0.00000E+00 | 0.000 | INFO |
| LAMBDA Z 0.11038E+01 0.00000E+00 | 0.000 | INFO |
| D.2.2-2a 0.25036E+02 0.00000E+00 | 0.000 | INFO |
| fc 0.70290E+01 0.00000E+00 | 0.000 | INFO |
| Fcn 0.25036E+02 0.00000E+00 | 0.000 | INFO |
| D.2.2-1 0.21280E+02 0.70290E+01 | 0.330 | PASS |
| D.2.3-2b 0.45682E+02 0.00000E+00 | 0.000 | INFO |
| fb 0.94583E+01 0.00000E+00 | 0.000 | INFO |
| Fbn 0.45682E+02 0.00000E+00 | 0.000 | INFO |
| D.2.3-1 0.43398E+02 0.94583E+01 | 0.218 | PASS |

 * PURE BENDING CHECK *
 * UNITY CHECK IS: 0.2179 *

THIS MEMBER IS EXPERIENCING A CONDITION OF PURE BENDING.

A CHECK ACCORDING TO API RP 2A LRFD FIRST EDITION HAS BEEN REQUESTED.

TRACE 3 UNITS ARE INCHES AND POUNDS.

THE FOLLOWING YIELD STRESS WAS USED IN THE COMPUTATION OF THESE ALLOWABLE STRESSES:

FYLD: 36000.0000

| | | |
|--|------------|-------|
| DIAMETER - D | 24.015753 | IN |
| WALL THICKNESS - T | 0.50000000 | IN |
| D/T | 48.031506 | |
| MOMENT - Y | 1634868.4 | IN-LB |
| MOMENT - Z | 1172920.2 | IN-LB |
| MOMENT RESULTANT | 2012097.5 | IN-LB |
| SECTION MODULUS | 212.73372 | IN**3 |
| PLASTIC MODULUS | 276.53699 | IN**3 |
| BENDING STRESS DUE TO FACTORED LOADS | 9458.2910 | PSI |
| *** NOMINAL BENDING STRENGTH | 45681.820 | PSI |
| BENDING RESISTANCE FACTOR | 0.95 | |
| *** FACTORED NOMINAL BENDING STRENGTH | 43397.729 | PSI |
| RATIO: BENDING STRESS/NOMINAL STRENGTH | 0.21794437 | |

| | | | |
|---------------|-------------|-------------|----------------------------|
| PARAMETER CMY | VALUE = | 0.85000 | |
| PARAMETER CM2 | VALUE = | 0.85000 | |
| PARAMETER CMY | VALUE = | 0.85000 | MODIFIED FOR APILRFD1 CODE |
| PARAMETER CM2 | VALUE = | 0.85000 | MODIFIED FOR APILRFD1 CODE |
| D.3.2-1 | 0.10000E+01 | 0.58755E+00 | 0.588 PASS |
| D.3.2-2 | 0.10000E+01 | 0.28234E+00 | 0.282 PASS |
| D.3.2-3 | 0.30600E+02 | 0.70290E+01 | 0.230 PASS |
| D.3.2-3 | 0.30600E+02 | 0.70290E+01 | 0.230 PASS |

* COMPRESSION BENDING CHECK *
* USING EQ D.3.2-1 *
* UNITY CHECK IS: 0.5875 *

THIS MEMBER IS EXPERIENCING A CONDITION OF COMBINED BENDING AND COMPRESSION.

A CHECK ACCORDING TO API RP 2A LRFD FIRST EDITION HAS BEEN REQUESTED.

TRACE 3 UNITS ARE INCHES AND POUNDS.

THE FOLLOWING PARAMETERS WERE USED IN THE COMPUTATION OF THESE NOMINAL STRENGTHS:

FYLD: 36000.0000

| | | |
|---|------------|------|
| DIAMETER - D | 24.015753 | IN |
| WALL THICKNESS - T | 0.50000000 | IN |
| D/T | 48.031506 | |
| YIELD REDUCTION FACTOR USED | 1.0000000 | |
| YIELD REDUCTION FACTOR RF | 1.0345066 | (NA) |
| YIELD REDUCTION FACTOR RFXE | 10.062843 | (NA) |
| REDUCED YIELD STRESS | 36000.000 | PSI |
| *** NOMINAL BENDING STRENGTH | 45681.820 | PSI |
| BENDING RESISTANCE FACTOR | 0.95 | |
| *** FACTORED NOMINAL BENDING STRENGTH | 43397.729 | PSI |

Y-AXIS * Z-AXIS

* KY, EFFECTIVE LENGTH FACTOR 1.0000000 IN * KZ, EFFECTIVE LENGTH FACTOR
1.0000000 IN * LZ, MEMBER LENGTH - Z
LY, MEMBER LENGTH - Y 818.42847 IN * RZ, MEMBER LENGTH - Z
818.42847 IN * RY, RADIUS OF GYRATION - Y 8.3159533 IN * RZ, RADIUS OF GYRATION - Z
8.3159533 IN * SLENDERNESS RATIO, KY*LY/RY 98.416672 IN * SLENDERNESS RATIO, KZ*LZ/RZ
98.416672 IN

MAXIMUM SLENDERNESS RATIO 98.416672
COLUMN SLENDERNESS PARAMETER, LAMBDA. 1.1037506
*** NOMINAL AXIAL COMPRESSIVE STRENGTH 25035.611 PSI
AXIAL COMPRESSION RESISTANCE FACTOR 0.85
FACTORED NOMINAL AXIAL COMPRESSIVE STRENGTH 21280.270 PSI
EQUATION D.2.2-2A 25035.611 PSI
EQUATION D.2.2-2B 29550.213 PSI (NA)

EQUATION D.3.2-1 COMPUTATION

| | | |
|---|------------|-------|
| AXIAL FORCE - FX | -259640.53 | LBS |
| AREA | 36.938427 | IN**2 |
| COMPRESSIVE STRESS | 7029.0088 | PSI |
| *** NOMINAL AXIAL STRENGTH | 25035.611 | PSI |
| AXIAL COMPRESSION RESISTANCE FACTOR. | 0.85 | |
| *** FACTORED NOMINAL AXIAL STRENGTH . . . | 21280.270 | PSI |
| COMPRESSIVE AXIAL STRESS/STRENGTH. . . | 0.33030638 | |

BENDING MOMENT CONTRIBUTION

| Y AXIS BENDING | * | Z AXIS BENDING |
|----------------|---|----------------|
|----------------|---|----------------|

| | | | |
|---|------------|-------|---------------------------------------|
| SLENDERNESS RATIO - Y | 98.416672 | * | * SLENDERNESS RATIO - Z |
| EULER BUCKLING STRESS FEPRIME - Y . | 29550.213 | PSI | * EULER BUCKLING STRESS FEPRIME - Z . |
| 29550.213 PSI | | | |
| END MOMENT MY1 | -1634603.2 | IN-LB | * END MOMENT MZ1 |
| 1172743.2 IN-LB | | | |
| END MOMENT MY2 | 2288147.8 | IN-LB | * END MOMENT MZ2 |
| 5029458.0 IN-LB | | | |
| END MOMENT RATIO MY1/MY2 | 0.71437836 | | * END MOMENT RATIO MZ1/MZ2 |
| 0.23317488 | | | |
| (SIGN CONVENTION HONORED) | | | * (SIGN CONVENTION HONORED) |
| CMY, Y MOMENT INTERACTION COEFF . . | 0.85000002 | | * CMZ, Z MOMENT INTERACTION COEFF . . |
| 0.85000002 | | | |
| COMPRESSIVE STRESS | 7029.0088 | PSI | * COMPRESSIVE STRESS |
| 7029.0088 PSI | | | |
| COMPRESSIVE STRESS / | | | * COMPRESSIVE STRESS / |
| ADJUSTED EULER Y STRESS . . | 0.27984306 | IN-LB | ADJUSTED EULER Y STRESS . . |
| 0.27984306 IN-LB | | | |
| MOMENT - MY | 1634868.4 | IN-LB | * MOMENT - MZ |
| 1172920.2 IN-LB | | | |
| SECTION MODULUS | 212.73372 | IN**3 | * SECTION MODULUS |
| 212.73372 IN**3 | | | |
| APPLIED BENDING STRESS - Y, FBY . . | 7685.0459 | PSI | * APPLIED BENDING STRESS - Z, FBZ . . |
| 5513.5605 PSI | | | |
| ADJUSTED STRESS Y | 9070.6475 | PSI | * ADJUSTED STRESS Z |
| 6507.6465 PSI | | | |
| TOTAL FACTORED ADJUSTED BENDING STRESS RESULTANT. | 11163.606 | PSI | |
| *** NOMINAL BENDING STRENGTH. | 45681.820 | PSI | |
| BENDING RESISTANCE FACTOR | 0.95 | | |
| *** FACTORED NOMINAL BENDING STRENGTH | 43397.729 | PSI | |
| RATIO: ADJUSTED BENDING STRESS/NOMINAL BENDING STRENGTH . . . | 0.25723943 | | |

COMBINED UNITY CHECK - EQ D.3.2-1; AXIAL + BENDING: 0.58754581

EQUATION D.3.2-2 COMPUTATION

| | | |
|---|------------|-------|
| AXIAL FORCE - FX | -259640.53 | LBS |
| AREA | 36.938427 | IN**2 |
| COMPRESSIVE STRESS | 7029.0088 | PSI |
| *** NOMINAL AXIAL STRENGTH | 25035.611 | PSI |
| AXIAL COMPRESSION RESISTANCE FACTOR. | 0.85 | |
| *** FACTORED NOMINAL AXIAL STRENGTH . . . | 21280.270 | PSI |
| COMPRESSIVE AXIAL STRESS/STRENGTH. . . | 0.33030638 | |

| | | |
|---|------------|-----|
| BENDING STRESS DUE TO FACTORED LOADS. | 9458.2910 | PSI |
| *** NOMINAL BENDING STRENGTH, FB | 45681.820 | PSI |
| BENDING RESISTANCE FACTOR | 0.95 | |
| *** FACTORED NOMINAL BENDING STRENGTH | 43397.729 | PSI |
| RATIO: STRESS RESULTANT/NOMINAL BENDING STRENGTH. | 0.21794437 | |

COMBINED UNITY CHECK - EQ D.3.2-2; AXIAL + BENDING: 0.28233731

COMBINED UNITY CHECK - EQ D.3.2-3; AXIAL + BENDING: 0.22970617

*** EQUATION D.3.2-1 CONTROLS THE COMPRESSION BENDING UNITY CHECK VALUE OF: 0.58754581

| | | | | |
|---------|-------------|-------------|-------|------|
| D.2.4-2 | 0.69675E+00 | 0.00000E+00 | 0.000 | INFO |
| fv | 0.69675E+00 | 0.00000E+00 | 0.000 | INFO |

```

D.2.4-4      0.85787E-01      0.00000E+00      0.000      INFO
fvt         0.85787E-01      0.00000E+00      0.000      INFO
D.2.4-1      0.19745E+02      0.69675E+00      0.035      PASS
Fvn         0.20785E+02      0.00000E+00      0.000      INFO
D.2.4-3      0.19745E+02      0.85787E-01      0.004      PASS
Fvtn        0.20785E+02      0.00000E+00      0.000      INFO

*****
*          SHEAR STRESS CHECK      *
*          UNITY CHECK IS:    0.0353  *
*****


SHEAR FORCE - FY . . . . .      5781.9214      LB
SHEAR FORCE - FZ . . . . .      11496.394      LB
SHEAR FORCE RESULTANT . . . . . 12868.477      LB
SHEAR AREA - AY . . . . .      18.469213     IN**2
SHEAR AREA - AZ . . . . .      18.469213     IN**2
SHEAR STRESS DUE TO NORMAL FORCE . . . . . 696.75281      PSI

TORSIONAL MOMENT - MX . . . . . 36499.527      IN-LB
SECTION DIAMETER - D . . . . . 24.015753      IN
TORSIONAL INERTIA - ITORS . . . . . 5108.9604     IN**4
TORSIONAL SHEAR STRESS . . . . . 85.786888      PSI

TOTAL FACTORED SHEAR STRESS. . . . . 696.75281      PSI

MODIFIED YIELD STRESS . . . . . 36000.000      PSI
*** NOMINAL SHEAR STRENGTH . . . . . 20784.609      PSI
SHEAR RESISTANCE FACTOR. . . . . 0.95
*** FACTORED NOMINAL SHEAR STRENGTH. . . . . 19745.379      PSI
RATIO: SHEAR STRESS/NOMINAL STRENGTH. . . . . 3.52868810E-02

```

```
***** CRITICAL UNITY CHECK IS *****  
***** 0.5875 ( D.3.2-1 ) *****
```

* PROFILE HAS PASSED CODE CHECK *

** MEMBER (-)144-3 FAILED CODE CHECK **

***** INFO_STTECC -- The following members FAILED CODE CHECKS
(-)144-3

***** WARNING_STTECC -- Specified GROUP name FAILCK1 already exists.
A new GROUP name is created.

***** WARNING_STTECC -- Specified GROUP name FAILCK2 already exists.
A new GROUP name is created.

***** WARNING_STTECC -- Specified GROUP name FAILCK3 already exists.
A new GROUP name is created.

***** WARNING_STTECC -- Specified GROUP name FAILCK4 already exists.
A new GROUP name is created.

**** INFO_STTECC -- The above failed member names for the CODE CHECKS
are stored permanently in a group named FAILCKS

***** INFO_STTECC -- Also, the group name FAILCK has been updated to contain the FAILED CODE CHECKS member names for this CHECK command.



**LAMPIRAN
PERHITUNGAN KEANDALAN**

Member CSG-5 Pada Arah 0°

$$MK = \sigma_{\text{Ultimate}} - \sigma_{\text{Comb}}$$

$$MK = \sigma_{\text{Ultimate}} - (P/A + M/S)$$

Data Awal CSG-5

CoV

| | | | | | | |
|------------------------------|----------|---------|------|---------|-------|---------|
| $\sigma_{\text{Ultimate}} =$ | 80 | ksi | 0.15 | Tahanan | Tanda | Negatif |
| P = | 972.8448 | kips | 0.3 | Beban | | Positif |
| Area = | 45.71639 | in^2 | 0.3 | Beban | | |
| Momen = | 4672.153 | kips-in | 0.3 | Beban | | |
| Section = | 260.6279 | in^3 | 0.3 | Beban | | |

| | | |
|-----------|------------------------------|----|
| Mean | $\sigma_{\text{Ultimate}} =$ | 80 |
| P = | 972.84475 | |
| Area = | 45.716393 | |
| Momen = | 4672.1525 | |
| Section = | 260.62787 | |

| | | |
|-----------|------------------------------|----|
| Simpangan | $\sigma_{\text{Ultimate}} =$ | 12 |
| P = | 291.853425 | |
| Area = | 13.7149179 | |
| Momen = | 1401.64575 | |
| Section = | 78.188361 | |

$$Z1 = (\sigma_{\text{ult}} - \mu\sigma_y)/\sigma_{\text{ult}}$$

$$Z2 = (P - \mu P)/\sigma P$$

$$Z3 = (A - \mu A)/\sigma A$$

$$Z4 = (M - \mu M)/\sigma M$$

$$Z5 = (S - \mu S)/\sigma S$$

$$\text{Dimana : } \sigma_y = Z1 * \sigma_{\text{ult}} + \mu \sigma_{\text{ult}}$$

$$P = Z2 * \sigma P + \mu P$$

$$A = Z3 * \sigma A + \mu A$$

$$M = Z4 * \sigma M + \mu M$$

$$S = Z5 * \sigma S + \mu S$$

$$MK = \sigma_{\text{Ultimate}} - (P/A + M/S)$$

$$(Z1 * \sigma_{\text{ult}} + \mu \sigma_{\text{ult}}) - \left(\frac{Z2 * \sigma P + \mu P}{Z3 * \sigma A + \mu A} + \frac{Z4 * \sigma M + \mu M}{Z5 * \sigma S + \mu S} \right) = 0$$

$$\beta = - \text{Konstanta} / ((Z1 * Z3 * Z5 * \sigma_{\text{ult}} * \sigma A * \sigma S + Z1 * Z3 * \sigma_{\text{ult}} * \sigma A * \mu S + Z1 * Z5 * \sigma_{\text{ult}} * \sigma S * \mu A + Z1 * \sigma_{\text{ult}} * \mu A * \mu S + Z3 * Z5 * \mu \sigma_{\text{ult}} * \sigma A * \sigma S + Z3 * \mu \sigma_{\text{ult}} * \sigma A * \mu S + Z5 * \mu \sigma_{\text{ult}} * \mu A * \sigma S + \mu \sigma) - (Z2 * Z5 * \sigma P * \sigma S + Z2 * \sigma P * \mu S + Z5 * \mu P * \sigma S + Z4 * Z3 * \sigma M * \sigma A + Z4 * \sigma M * \mu A + Z3 * \sigma A * \mu M))$$

| | | | | | | | | | | |
|-------------------|----------|---|----------|-----------------|----------|-----------------|----------|---------------------|-------------|---------------------|
| $\alpha_1 = -1/K$ | 142979.6 | + | 42893.88 | $\beta * Z_3 +$ | 42893.88 | $\beta * Z_5 +$ | 12868.16 | $\beta * Z_3 * Z_5$ | | |
| $\alpha_2 = 1/K$ | -76065.1 | + | -22819.5 | $\beta * Z_5 +$ | | | | | | |
| $\alpha_3 = -1/K$ | 221881 | + | 42893.88 | $\beta * Z_1 +$ | -19223.5 | $\beta * Z_4 +$ | 85787.76 | $\beta * Z_5 +$ | 12868.16342 | $\beta * Z_1 * Z_5$ |
| $\alpha_4 = 1/K$ | -64078.2 | + | -19223.5 | $\beta * Z_3 +$ | | | | | | |
| $\alpha_5 = -1/K$ | 209894.1 | + | 42893.88 | $\beta * Z_1 +$ | -22819.5 | $\beta * Z_2 +$ | 85787.76 | $\beta * Z_3 +$ | 12868.16342 | $\beta * Z_1 * Z_3$ |

| | Start | 1 | 2 | 3 | 4 | 5 | 6 | 7 | 8 | 9 |
|----------|-------------|-------------|----------|----------|----------|----------|----------|-------------|--------------|----------|
| Beta | 3 | -8.53927462 | 2.026797 | 1.862317 | 2.208629 | 2.0852 | 2.209477 | 2.156848 | 2.24177171 | 2.231287 |
| a1 | -0.44721 | -0.57613517 | -0.41128 | -0.31774 | -0.31752 | -0.26614 | -0.27306 | -0.24828 | -0.251815644 | -0.23606 |
| a2 | 0.447214 | -0.23123879 | -0.14788 | -0.33771 | -0.29357 | -0.34696 | -0.32774 | -0.3504 | -0.34037989 | -0.34932 |
| a3 | 0.447214 | -0.53304474 | -0.62175 | -0.62994 | -0.68566 | -0.74124 | -0.78569 | -0.82816 | -0.850584396 | -0.87079 |
| a4 | 0.447214 | -0.19479834 | -0.12353 | -0.28911 | -0.23171 | -0.24779 | -0.20518 | -0.19219 | -0.165755438 | -0.15314 |
| a5 | 0.447214 | -0.54084545 | -0.63808 | -0.55188 | -0.53775 | -0.44492 | -0.39826 | -0.30461 | -0.264124463 | -0.20129 |
| | | | | | | | | | | |
| K1= | 70647962421 | 2.55E+11 | 1.92E+09 | 3.24E+09 | 1.41E+09 | 2.09E+09 | 1.57E+09 | 2041433538 | 1.79E+09 | |
| K2= | 11380785276 | 3.29E+10 | 2.17E+09 | 2.77E+09 | 2.4E+09 | 3.01E+09 | 3.13E+09 | 3729903683 | 3.91E+09 | |
| K3= | 60475320566 | 5.82E+11 | 7.54E+09 | 1.51E+10 | 1.09E+10 | 1.73E+10 | 1.75E+10 | 23291885800 | 2.43E+10 | |
| K4= | 8076466117 | 2.3E+10 | 1.59E+09 | 1.72E+09 | 1.22E+09 | 1.18E+09 | 9.43E+08 | 884515403.1 | 7.52E+08 | |
| K5= | 62258294117 | 6.13E+11 | 5.79E+09 | 9.29E+09 | 3.94E+09 | 4.45E+09 | 2.37E+09 | 2245882772 | 1.3E+09 | |
| Ktot= | 461344.5876 | 1227022 | 137848.9 | 179214.6 | 141116.6 | 167492 | 159776 | 179425.8097 | 179070.5 | |
| | | | | | | | | | | |
| 10 | 11 | 12 | 13 | 14 | 15 | 16 | 17 | 18 | 19 | 20 |
| 2.29663 | 2.295776 | 2.343311 | 2.341237 | 2.375608 | 2.370856 | 2.396295 | 2.38956 | 2.409041 | 2.401225 | 2.416693 |
| -0.23684 | -0.22559 | -0.22604 | -0.21801 | -0.21896 | -0.21313 | -0.21453 | -0.21015 | -0.2118 | -0.20837 | -0.21012 |
| -0.34331 | -0.34754 | -0.34352 | -0.34604 | -0.34313 | -0.34497 | -0.34274 | -0.34425 | -0.34247 | -0.34378 | -0.3423 |
| -0.87991 | -0.88933 | -0.89332 | -0.89822 | -0.90005 | -0.90284 | -0.90365 | -0.90536 | -0.90566 | -0.90678 | -0.90682 |
| -0.13941 | -0.13159 | -0.12427 | -0.11954 | -0.11545 | -0.11257 | -0.11024 | -0.10848 | -0.10715 | -0.10606 | -0.1053 |
| -0.1799 | -0.14182 | -0.13205 | -0.10792 | -0.10441 | -0.08824 | -0.08814 | -0.07671 | -0.07845 | -0.06995 | -0.07261 |
| | | | | | | | | | | |
| 2.06E+09 | 1.87E+09 | 2.04E+09 | 1.89E+09 | 2.01E+09 | 1.89E+09 | 1.99E+09 | 1.89E+09 | 1.98E+09 | 1.89E+09 | 1.97E+09 |
| 4.33E+09 | 4.44E+09 | 4.71E+09 | 4.76E+09 | 4.94E+09 | 4.96E+09 | 5.08E+09 | 5.08E+09 | 5.17E+09 | 5.15E+09 | 5.22E+09 |
| 2.85E+10 | 2.91E+10 | 3.19E+10 | 3.21E+10 | 3.4E+10 | 3.4E+10 | 3.53E+10 | 3.51E+10 | 3.61E+10 | 3.58E+10 | 3.66E+10 |
| 7.14E+08 | 6.37E+08 | 6.17E+08 | 5.68E+08 | 5.59E+08 | 5.28E+08 | 5.26E+08 | 5.04E+08 | 5.06E+08 | 4.9E+08 | 4.94E+08 |
| 1.19E+09 | 7.39E+08 | 6.96E+08 | 4.63E+08 | 4.58E+08 | 3.24E+08 | 3.36E+08 | 2.52E+08 | 2.71E+08 | 2.13E+08 | 2.35E+08 |
| 191713 | 191739.5 | 199802.3 | 199408.9 | 204878.4 | 204093.2 | 208005.3 | 206959.4 | 209895.4 | 208716.1 | 211018.7 |

| 21 | 22 | 23 | 24 | 25 | 26 | 27 | 28 | 29 | 30 | 31 |
|----------|----------|----------|----------|----------|----------|----------|----------|----------|----------|----------|
| 2.408486 | 2.421181 | 2.413033 | 2.423742 | 2.415917 | 2.425143 | 2.417783 | 2.425857 | 2.419024 | 2.426167 | 2.419877 |
| -0.20733 | -0.20907 | -0.20674 | -0.20841 | -0.20641 | -0.20799 | -0.20625 | -0.20771 | -0.20617 | -0.20752 | -0.20615 |
| -0.34348 | -0.34221 | -0.34327 | -0.34218 | -0.34314 | -0.34217 | -0.34304 | -0.34218 | -0.34297 | -0.34219 | -0.34291 |
| -0.9076 | -0.9075 | -0.90807 | -0.9079 | -0.90835 | -0.90815 | -0.90851 | -0.9083 | -0.9086 | -0.90839 | -0.90865 |
| -0.10462 | -0.1042 | -0.10377 | -0.10354 | -0.10326 | -0.10314 | -0.10295 | -0.10291 | -0.10277 | -0.10276 | -0.10266 |
| -0.066 | -0.06906 | -0.0637 | -0.06687 | -0.06239 | -0.0655 | -0.06167 | -0.06462 | -0.06129 | -0.06405 | -0.06111 |
| | | | | | | | | | | |
| 1.89E+09 | 1.96E+09 | 1.89E+09 | 1.95E+09 | 1.9E+09 | 1.95E+09 | 1.9E+09 | 1.95E+09 | 1.9E+09 | 1.94E+09 | 1.9E+09 |
| 5.19E+09 | 5.25E+09 | 5.22E+09 | 5.26E+09 | 5.24E+09 | 5.27E+09 | 5.25E+09 | 5.28E+09 | 5.25E+09 | 5.28E+09 | 5.26E+09 |
| 3.63E+10 | 3.69E+10 | 3.65E+10 | 3.71E+10 | 3.67E+10 | 3.72E+10 | 3.68E+10 | 3.72E+10 | 3.69E+10 | 3.72E+10 | 3.69E+10 |
| 4.82E+08 | 4.87E+08 | 4.77E+08 | 4.82E+08 | 4.74E+08 | 4.79E+08 | 4.73E+08 | 4.78E+08 | 4.72E+08 | 4.76E+08 | 4.71E+08 |
| 1.92E+08 | 2.14E+08 | 1.8E+08 | 2.01E+08 | 1.73E+08 | 1.93E+08 | 1.7E+08 | 1.88E+08 | 1.68E+08 | 1.85E+08 | 1.67E+08 |
| 209798.6 | 211674 | 210472.3 | 212046.8 | 210898 | 212250.6 | 211172.8 | 212354.3 | 211355.3 | 212399.4 | 211480.8 |

| | |
|-------------|-------------|
| PoF = | 0.007681082 |
| Keandalan = | 0.992318918 |



LEMBAR ASISTENSI, REVISI DAN SK TUGAS AKHIR



LEMBAR ASISTENSI TUGAS AKHIR

Nama : Arief Santoso Wijaya
NRP : 4301 100 006
Judul Tugas Akhir : Analisa Kekuatan Ultimate Struktur Jacket
Dengan Pendekatan LRFD Dan Berbasis Keandalan
Dosen Pembimbing : Dr. Ir. Eko Budi Djatmiko, M.Sc

| No. | Tanggal | Penjelasan Pembimbing | Tanda Tangan |
|-----|----------|--|--------------|
| 1 | 30/10/05 | Pelajaran metodologi & proses penyelesaian | |
| 2 | 5/11/05 | Rumus model beban & analisis tahan | |
| 3 | 15/12/05 | - Tulis bab 2 awal - Cetak hasil awal | |
| 4 | 6/1/06 | Modeling beban push over LRFD & WSD | |
| 5 | 25/1/06 | bantuan bahan bacaan LRFD & WSD | |
| 6 | 7/2/06 | sumur pemodelan beban dalam | |
| 7 | 16/2/06 | Skripsi besar kebutuhan ulangan | |
| 8 | 3/3/06 | Cari referensi ulang | |
| 9 | 20/3/06 | Rumus anggusta & teknis publikasi | |
| 10 | 25/4/06 | Skripsi pertama disimpulkan | |
| 11 | 28/4/06 | perbaikan akhir | |
| 12 | 7/7/06 | Da. PS | |



LEMBAR ASISTENSI TUGAS AKHIR

Nama : Arief Santoso Wijaya
NRP : 4301 100 006
Judul Tugas Akhir : Analisa Kekuatan Ultimate Struktur Jacket
Dengan Pendekatan LRFD Dan Berbasis Keandalan
Dosen Pembimbing : Ir. Murdjito M.Sc.Eng

| No. | Tanggal | Penjelasan Pembimbing | Tanda Tangan |
|-----|----------|-------------------------------|--------------|
| 1 | 15/09/05 | Pembahasan Proposal | Arik |
| 2 | 5/10/05 | Pengumpulan dan validasi data | Arik |
| 3 | 10/10/05 | Pembahasan geometris | Arik |
| 4 | 15/11/05 | Pembahasan model geometris | Arik |
| 5 | 11/12/05 | Pembahasan | Arik |
| 6 | 5/14/06 | check hasil | Arik |
| 7 | 11/14/06 | Pembahasan model | Arik |
| 8 | 26/14/06 | Analisa push-over | Arik |
| 9 | 3/16/06 | Draft Report | Arik |
| 10 | 5/16/06 | Pembahasan Draft Report | Arik |
| 11 | 27/16/06 | Lembaran | Arik |
| | | | |



FORM-11/TA

LEMBAR PERBAIKAN, TUGAS TAMBAHAN ATAU SARAN UJIAN AKHIR TA (P3)

| No | Tugas dari Tim Pengudi |
|----|---|
| ① | Statement perhitungan & latihlah perbandingan dengan WSD. ← AFOSM. |
| ② | Mencoba urutan keruangan strukturnya → antisipasi + penjelasan. |
| ③ | jelaskan kondisi instabilitas → apakah sama dengan kondisi ter collapse ? |
| ④ | Agar flans dimanfaatkan perhitungan structural Redundancy! |
| ⑤ | |

WSD \rightarrow Total SF } Deterministic
LRFD \rightarrow Partial SF } Ketua Tim Pengudi
Surabaya,

→ Blm dpt secara resmi mengindikasikan
peluang kegagalan



DEPARTEMEN PENDIDIKAN NASIONAL
INSTITUT TEKNOLOGI SEPULUH NOPEMBER SURABAYA
FAKULTAS TEKNOLOGI KELAUTAN
JURUSAN TEKNIK KELAUTAN

Kampus ITS, Sukolilo Surabaya 60111 Telp./Fax. 031 - 5928105, 5994251 - 5 Pes. 1104 - 1105

SK. TUGAS AKHIR (LL 1327)

NO. : 175/ KO3.4.4/PP/2005

| | | |
|-------------------|---|--|
| Mata Kulia | : | Tugas Akhir |
| Kode Mata Kuliah | : | LL 1327 |
| Nama | : | Arief Santoso W. |
| Nomor Pokok | : | 4301100006 |
| Tanggal diberikan | : | 12 September 2005 |
| Tanggal Selesai | : | 12 September 2006 |
| Dosen Pembimbing | : | Dr. Ir. Eko Budi D, MSc Ir. Murdjito, MSc.Eng.. |

THEMA / URAIAN / DATA-DATA YANG DIBERIKAN / JUDUL TUGAS AKHIR :

Analisa Ultimate Strength Struktur Jacket dengan pendekatan LRFD dan berbasis keandalan

DIBUAT RANGKAP 4 (EMPAT) :

1. Mahasiswa Ybs..
2. Dekan FTK-ITS
3. Dosen Pembimbing
4. Arsip Jurusan

